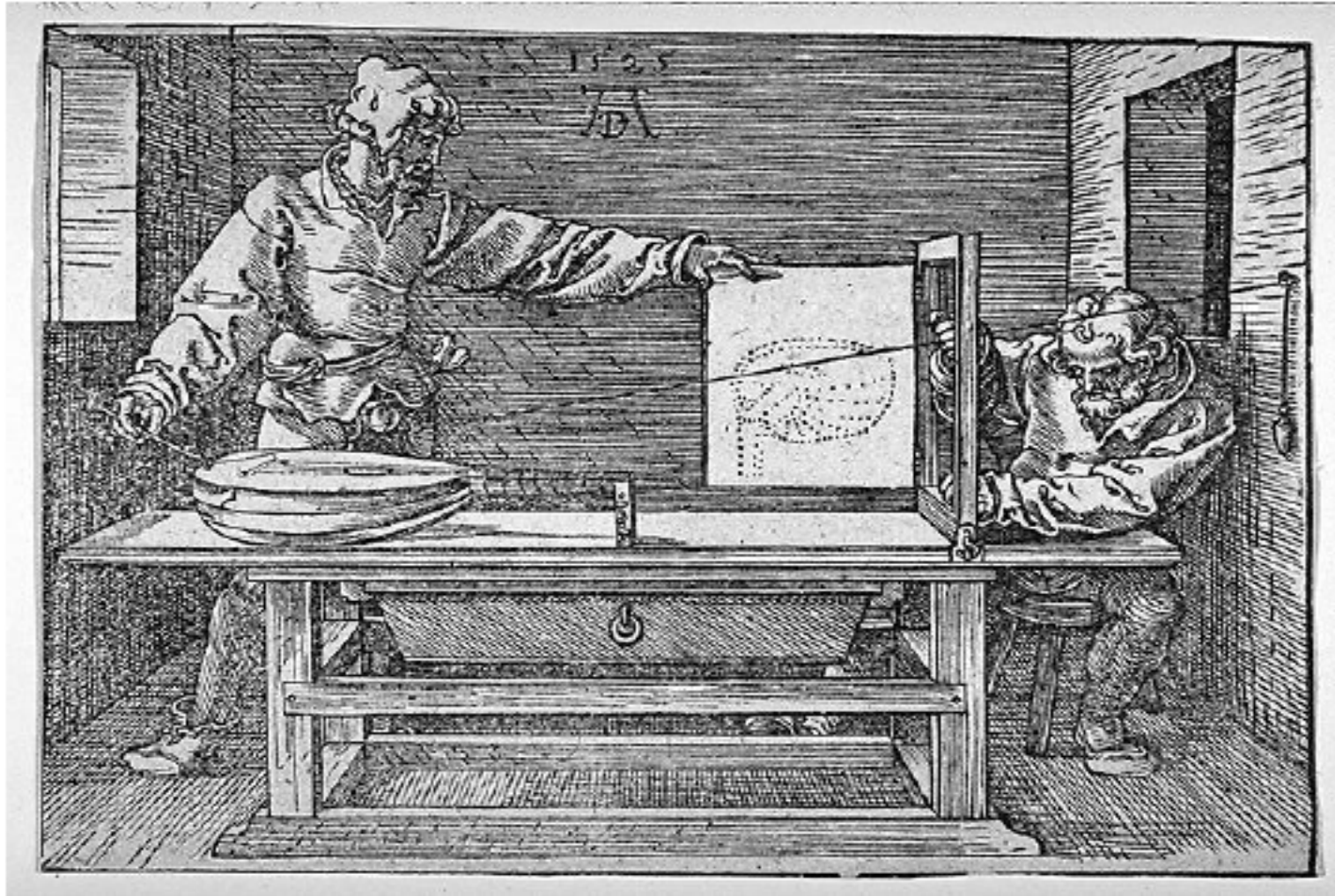
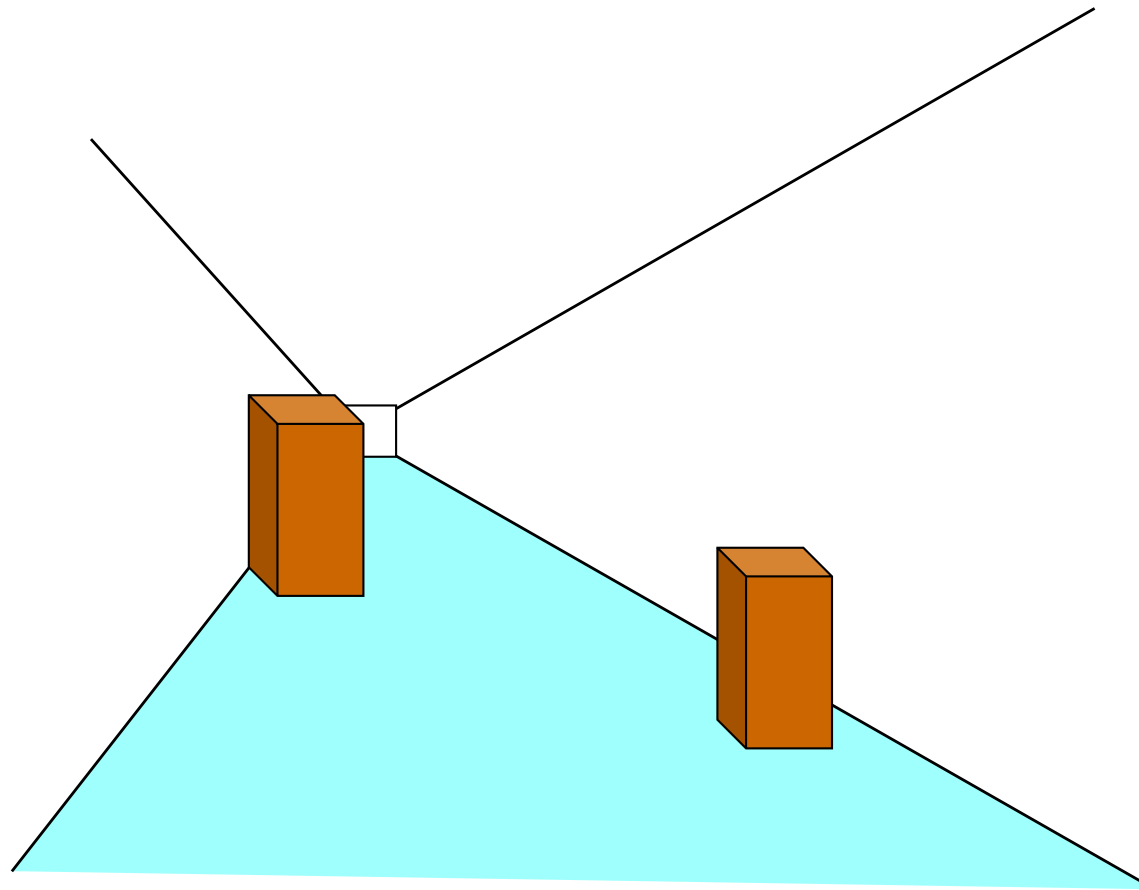


# Algoritmo de Rastreamento de Raios

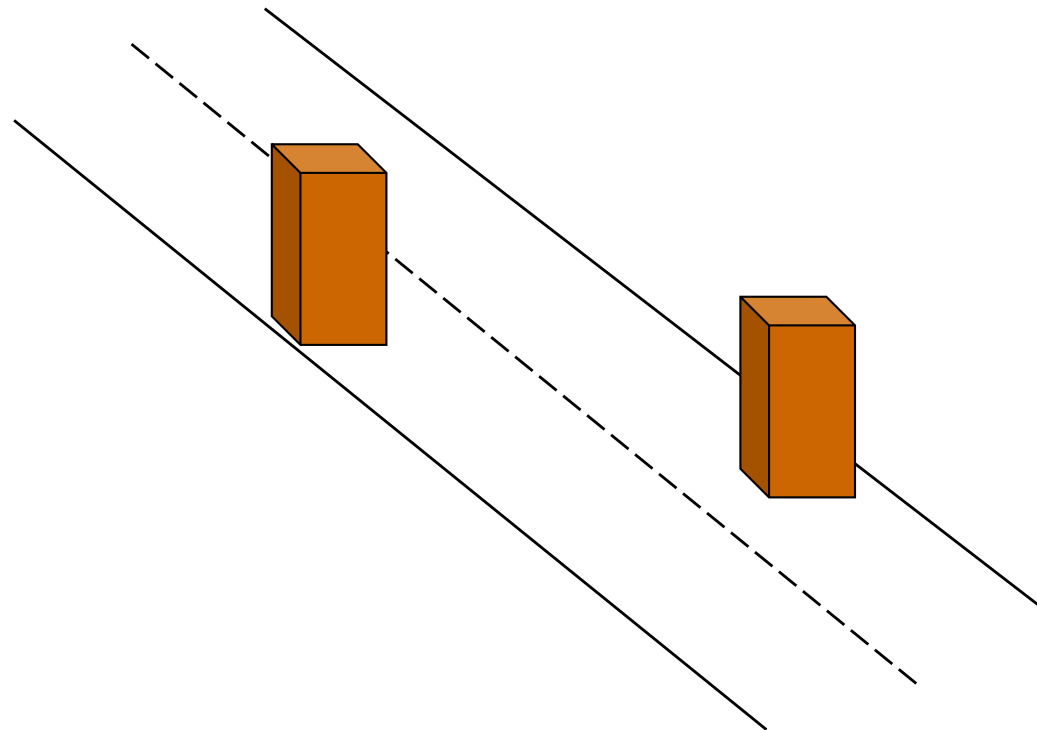


*Man Drawing a Lute (The Draughtsman of the Lute), woodcut 1525, Albrecht Dürer.*

# Perspectiva e tamanhos relativos

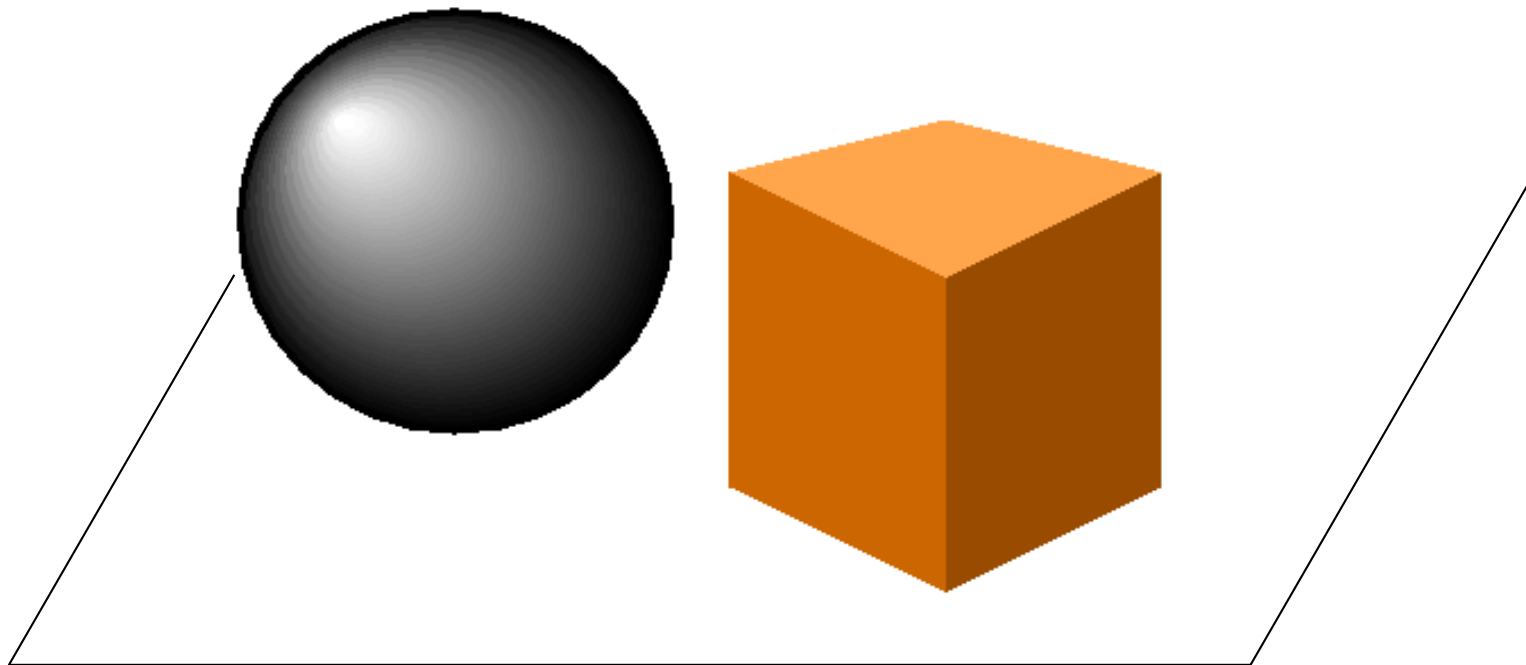


# Perspectiva e tamanhos relativos

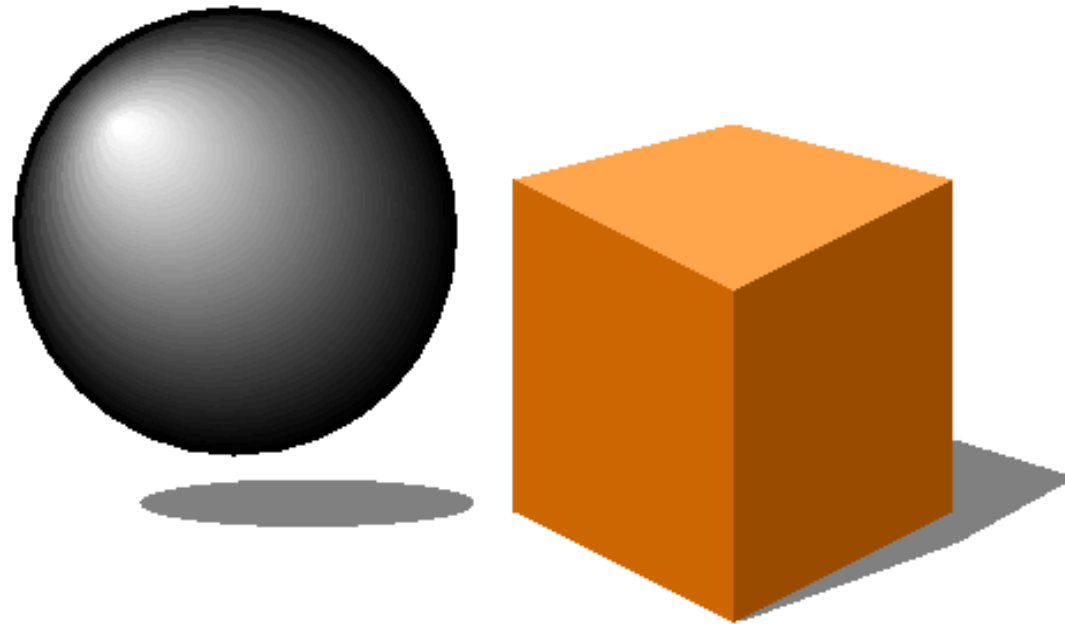


# Iluminação e posição

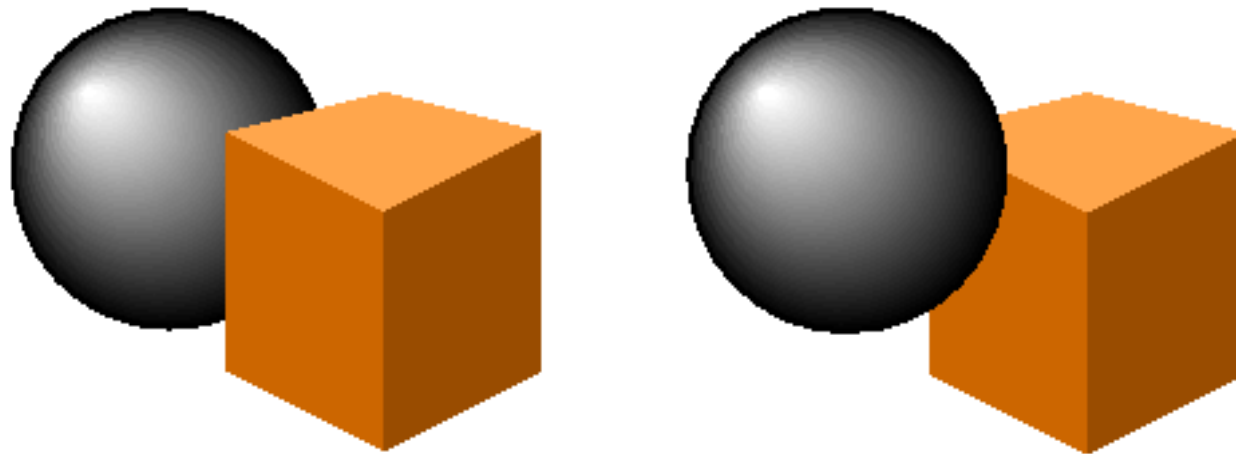
O que está na frente?  
A que distância do apoio?



# Sombra



# Oclusão



# Efeitos Passivos

- Inerentes a aparência do mundo externo
- Independem dos nossos olhos
- Fotografias parecem 3D



# Camera obscura



## ***Camera Obscura - San Francisco***

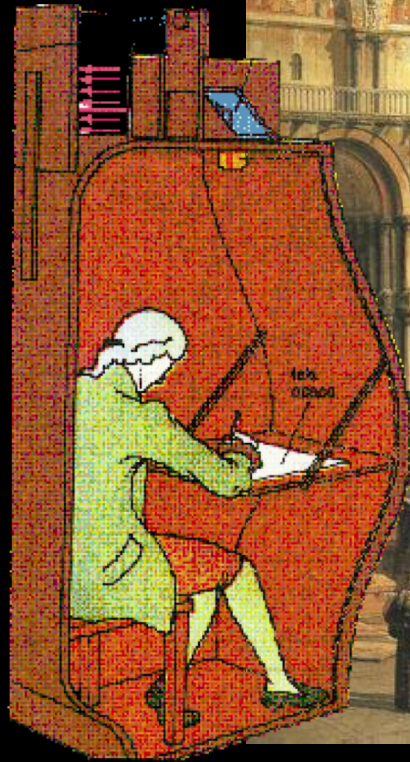
*The Camera Obscura at the Cliff House is one of several remaining camera obscuras in the world. The device is an ancient precursor to modern photography, and well worth a visit, especially if you haven't previously visited a camera obscura.*



Plymouth, UK



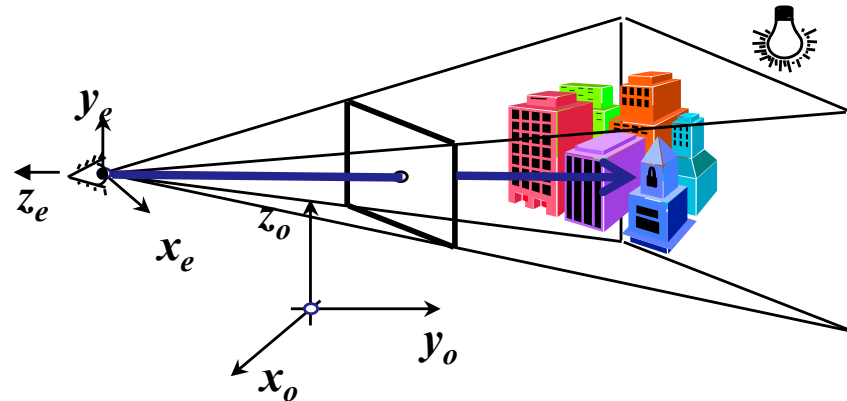
# Pintores



Canaletto (Giovanni Antonio Canal) (1697-1768).

# Dois enfoques: Raios

## *Traçado de Raios*



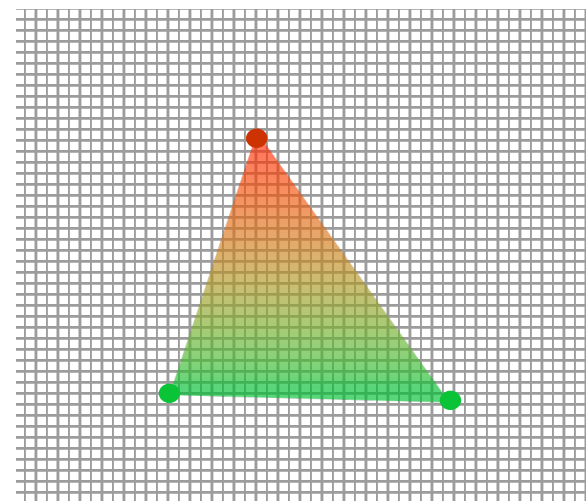
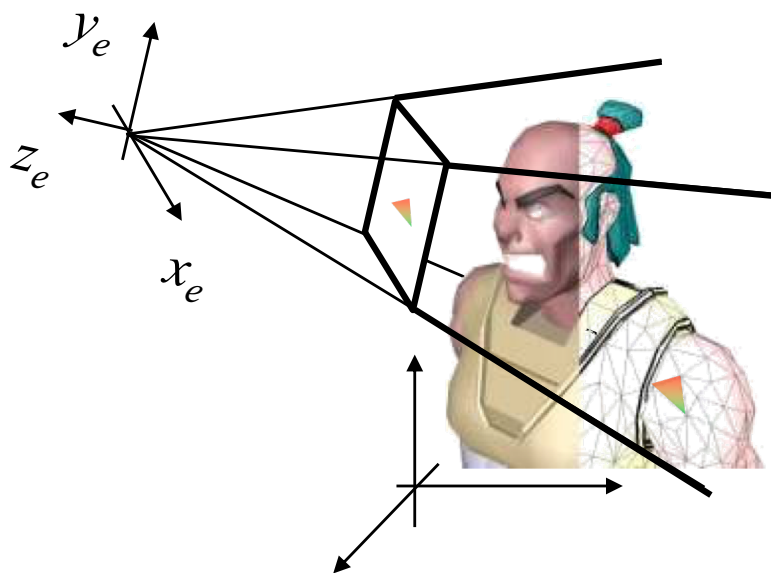
*Para cada pixel da tela*  
*Defina um raio*

*Para cada objeto da cena*  
*Calcule o objeto visível*

*Para cada luz da cena*  
*Lance um raio*  
*Para cada objeto da cena*  
*Teste se o objeto faz sombra*  
*Calcule sua iluminação*

*Complexidade maior que  $O(\text{num. de pixels} \times \text{num. de objetos}^2)$*

# Dois enfoques: ZBuffer



*Calcule a cor de cada vertice*

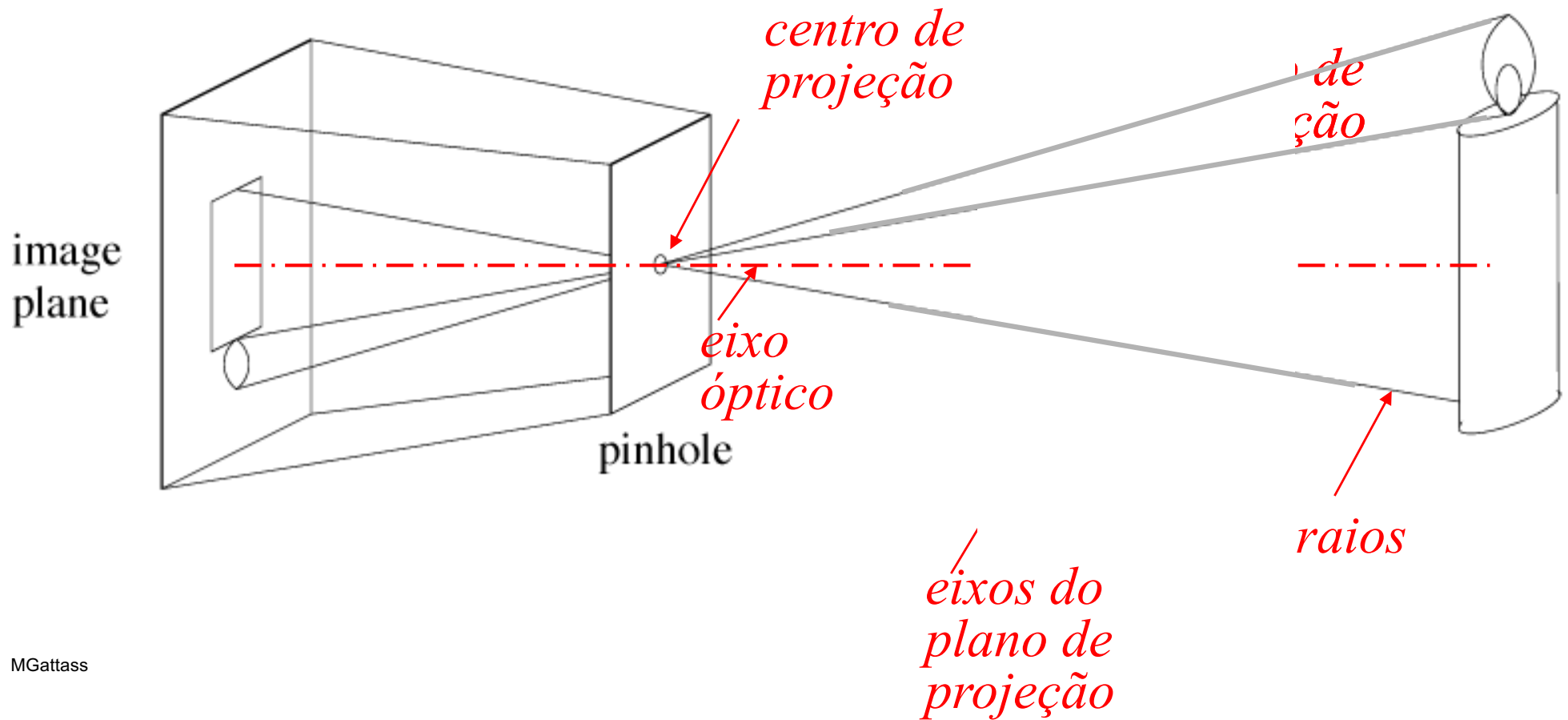
*Projete cada triângulo*

*Projete os vértices no plano de projeção*

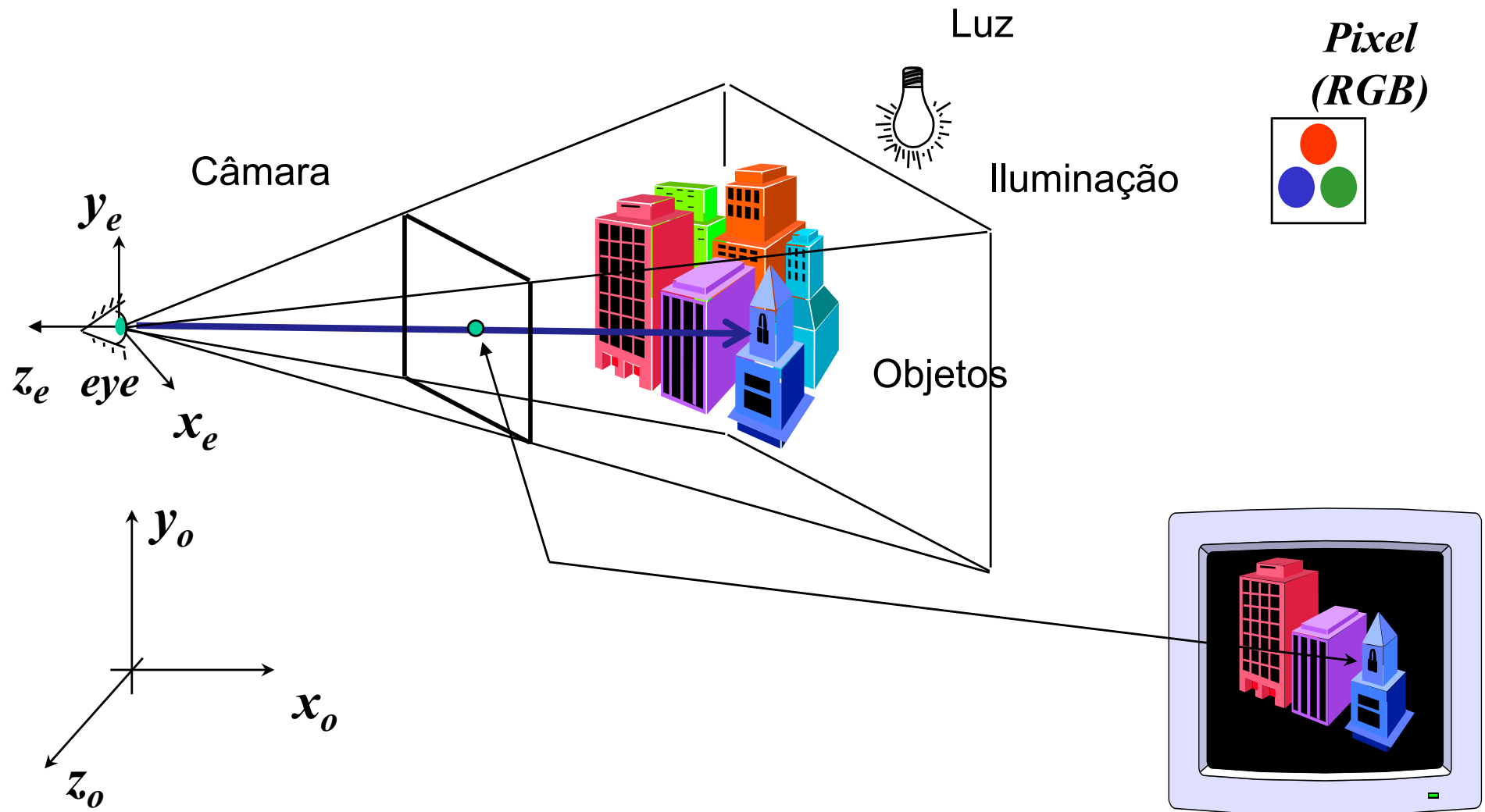
*Rasterize o triângulo gerando os fragmentos que vão para cada pixel*

*Aqueles fragmentos que estiverem a frente dos fragmentos já depositados recebem nova cor e a profundidade do pixel é atualizada.*

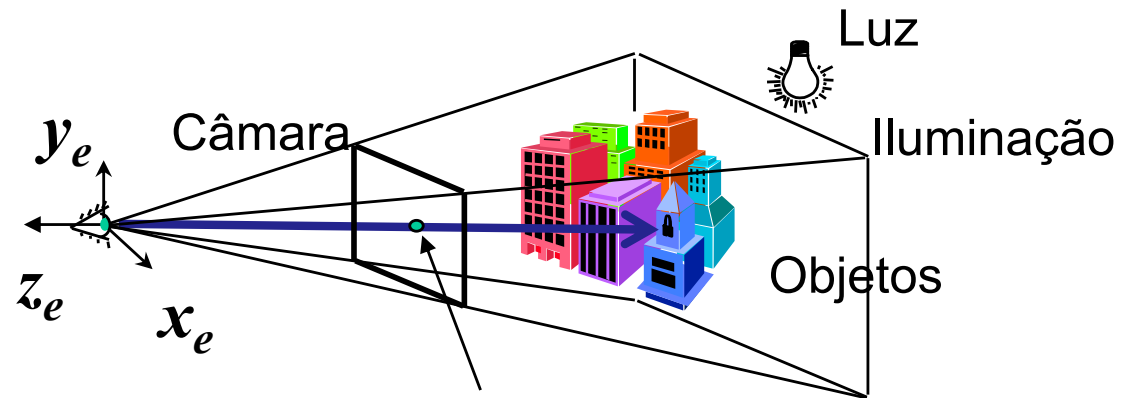
# A Câmara “Pinhole” e seu modelo



# Traçado de Raios



# Algoritmo básico



Para cada *pixel* da tela;

Lance uma raio;

Para cada objeto da cena

    Calcule a interseção do raio com este o objeto;

    Armazene a interseção mais próxima;

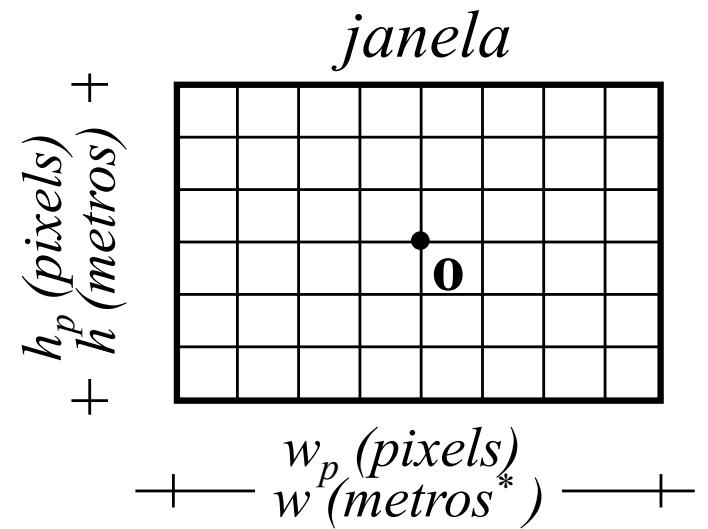
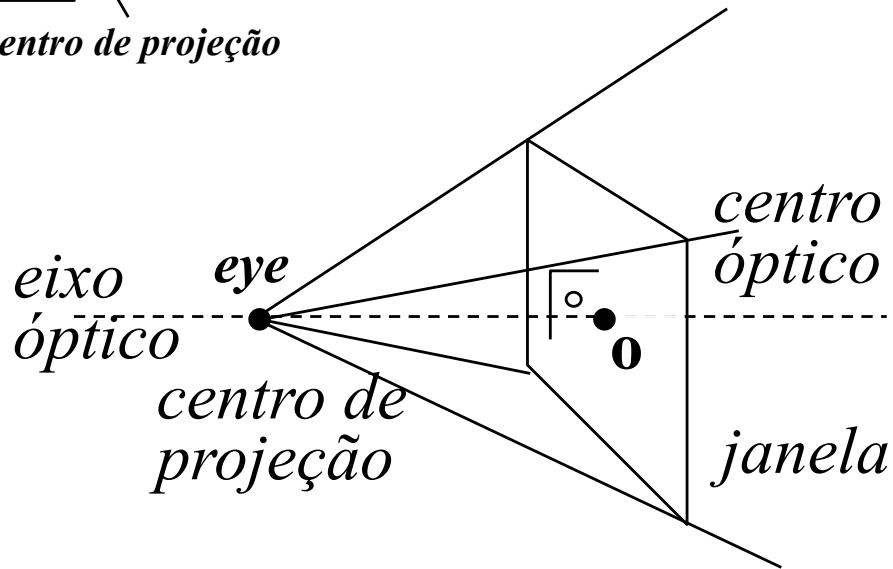
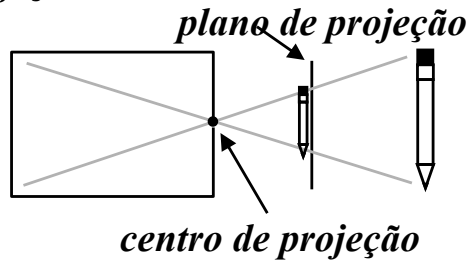
Se o raio interceptou algum objeto

    Calcule a contribuição das luzes neste ponto;

    Pinte o *pixel* com esta cor;

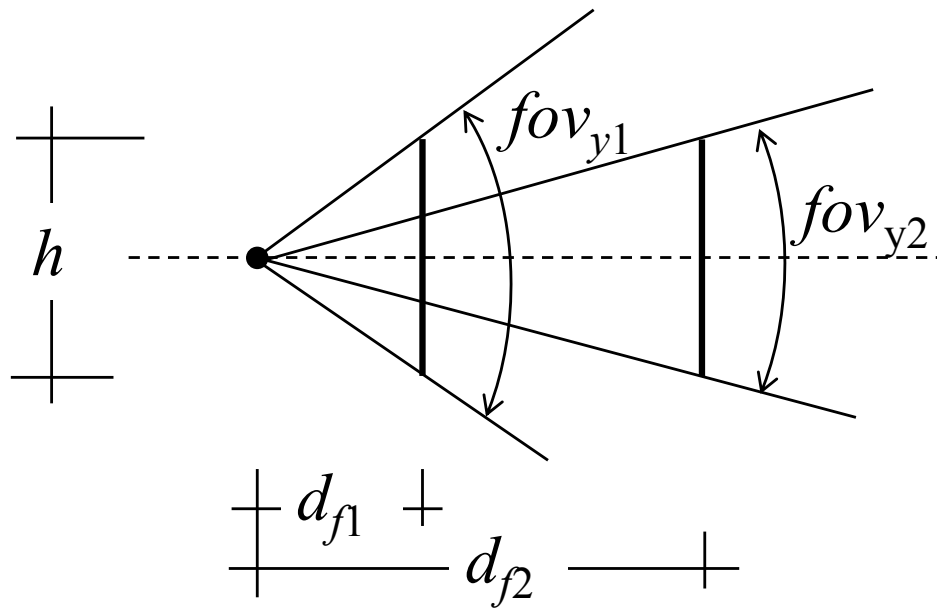
# Definição de uma câmera

*Projeção cônica*



$$w = \frac{w_p}{h_p} h$$

# Abertura de uma câmera

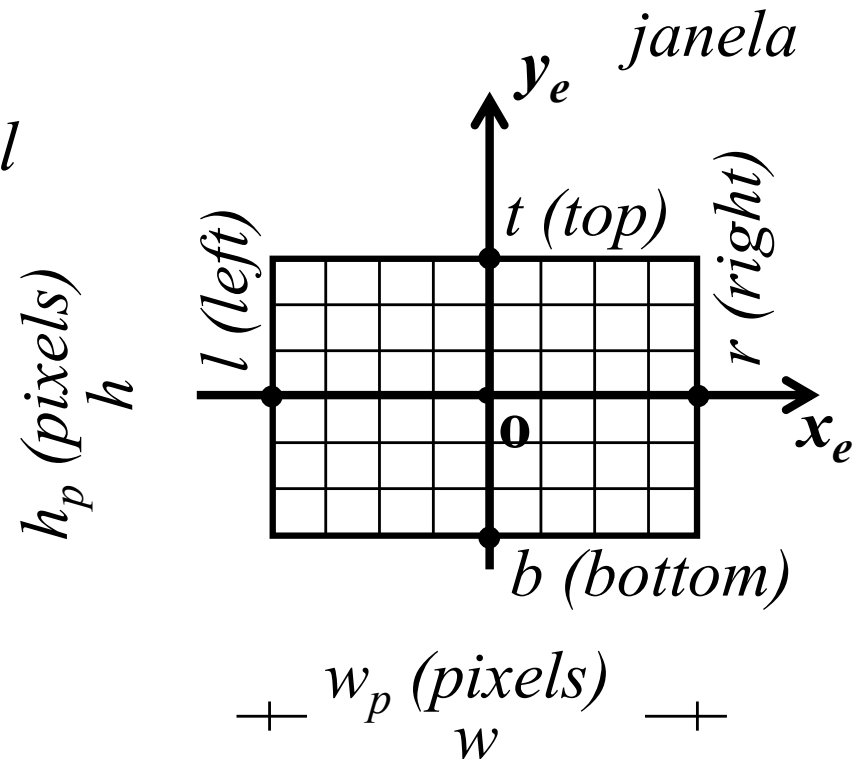
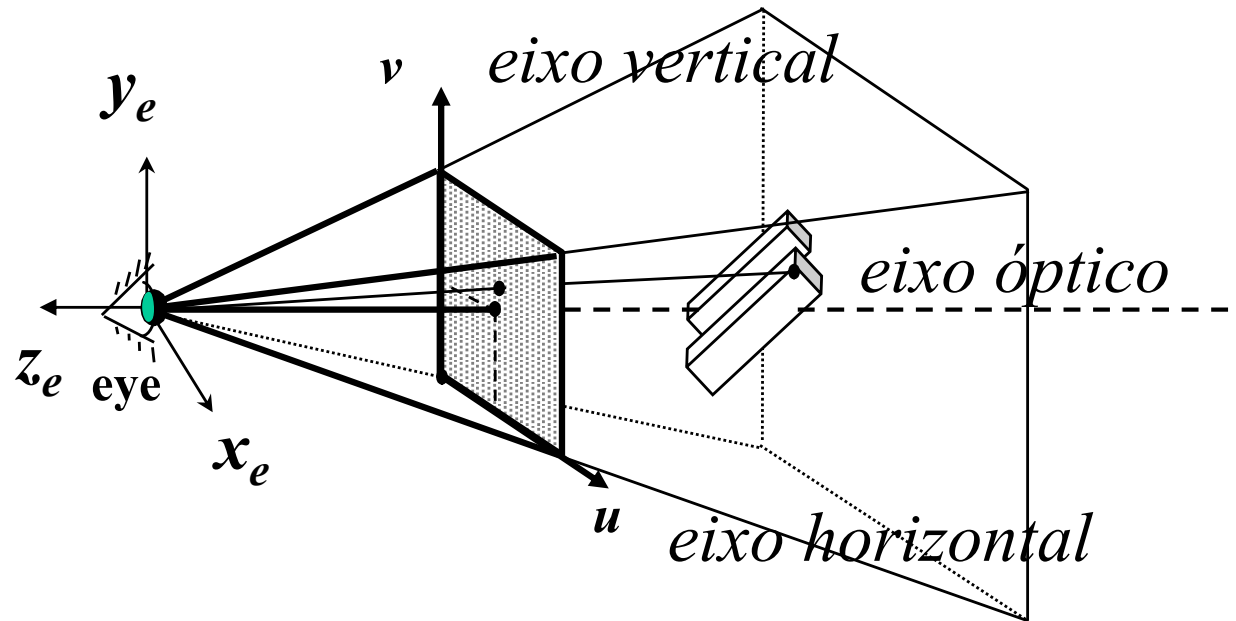


$$\frac{h}{2d_f} = \tan\left(\frac{fov_y}{2}\right)$$

$$h = 2d_f \tan\left(\frac{fov_y}{2}\right)$$

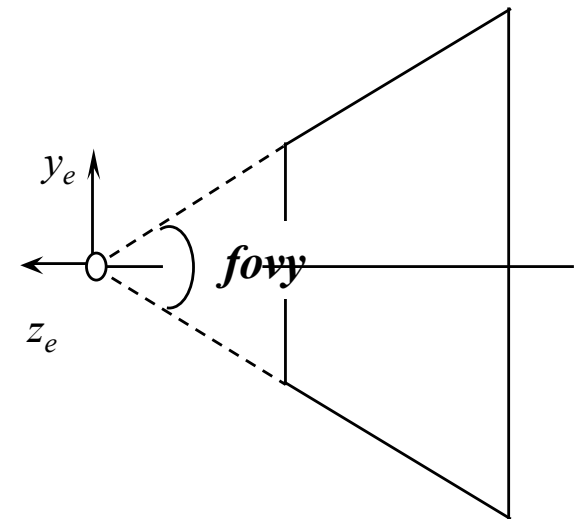
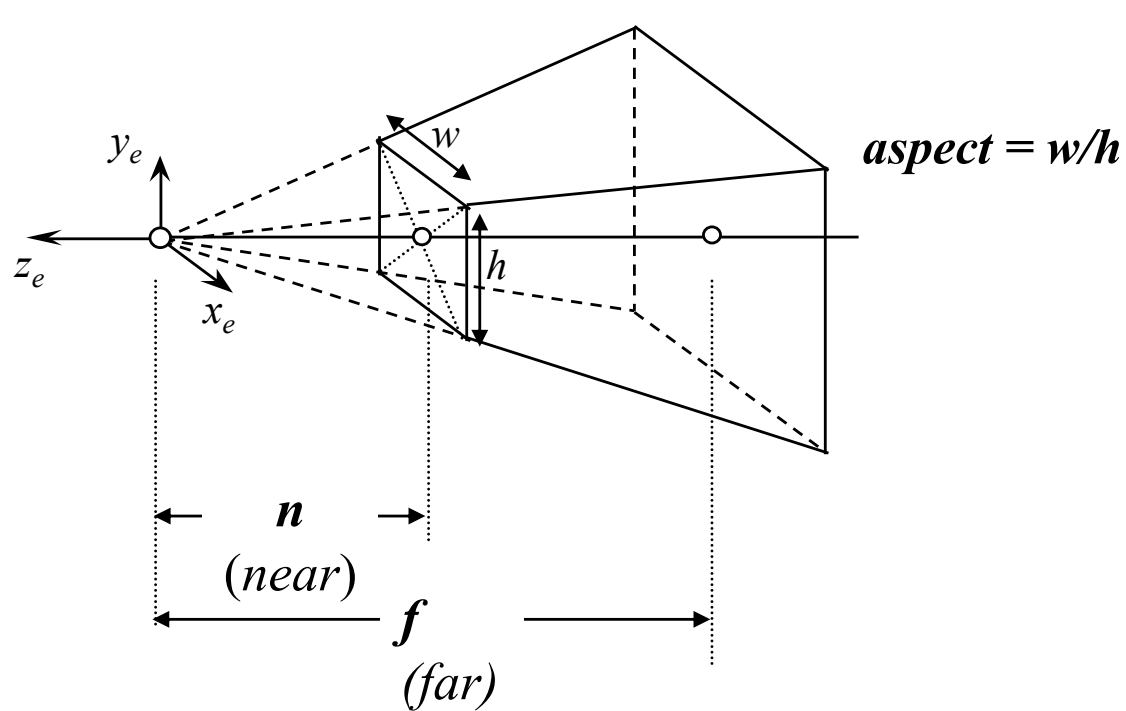


# Eixos de uma câmera

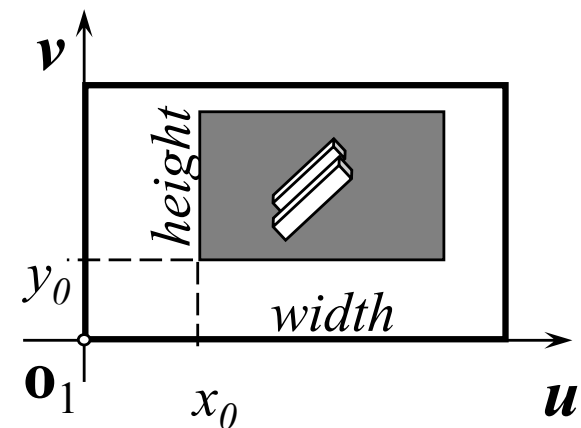


# Parâmetros de funções do OpenGL

```
void glPerspective(GLdouble fovy, GLdouble aspect, GLdouble near_, GLdouble far_);
```

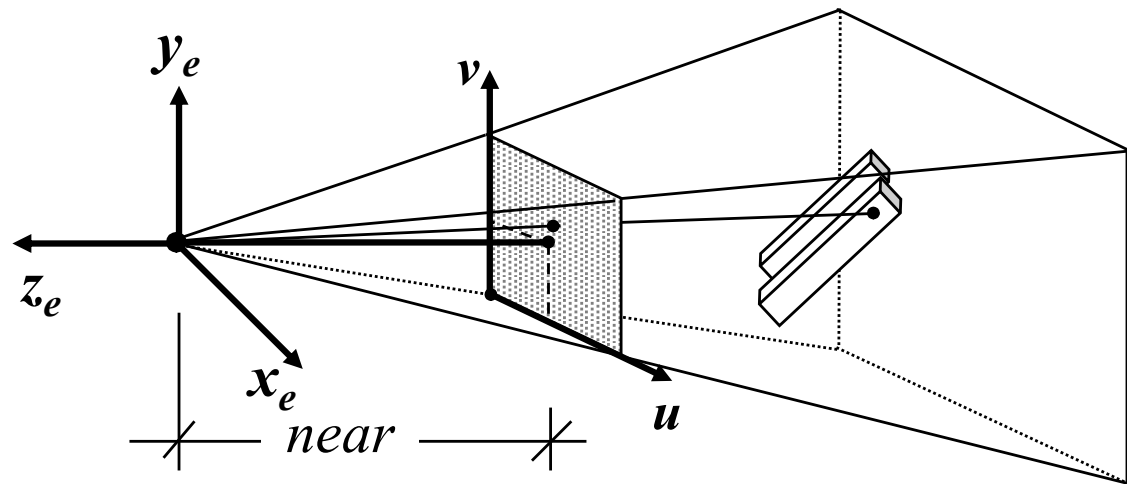
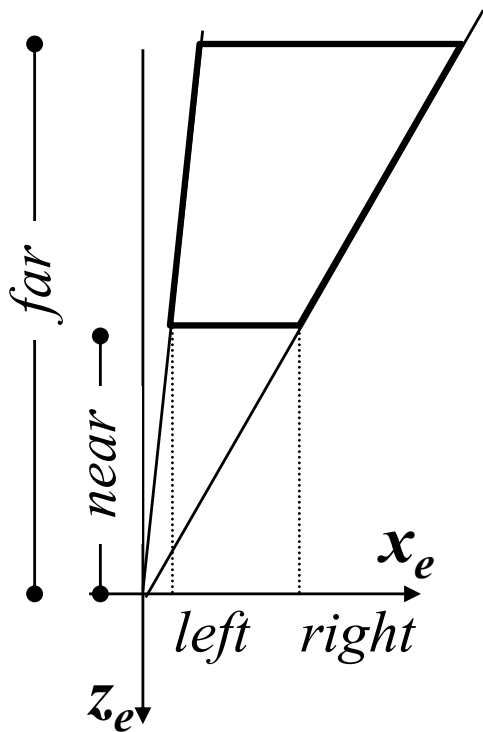


```
void glViewport(GLint x0, GLint y0,  
                 GLsizei width, GLsizei height );
```



# Parâmetros intrínsecos (do OpenGL) parte 2 – Câmera mais geral

```
void glFrustum( GLdouble left, GLdouble right, GLdouble bottom, GLdouble top,  
                GLdouble near_, GLdouble far_ );
```



# Parâmetros internos ou intrínsecos

## Primários:

$n = \text{plano próximo}$

$f = \text{plano distante}$

$w_p \times h_p \text{ pixels}$

$fov_y = \text{campo de visão}$

## Derivados:

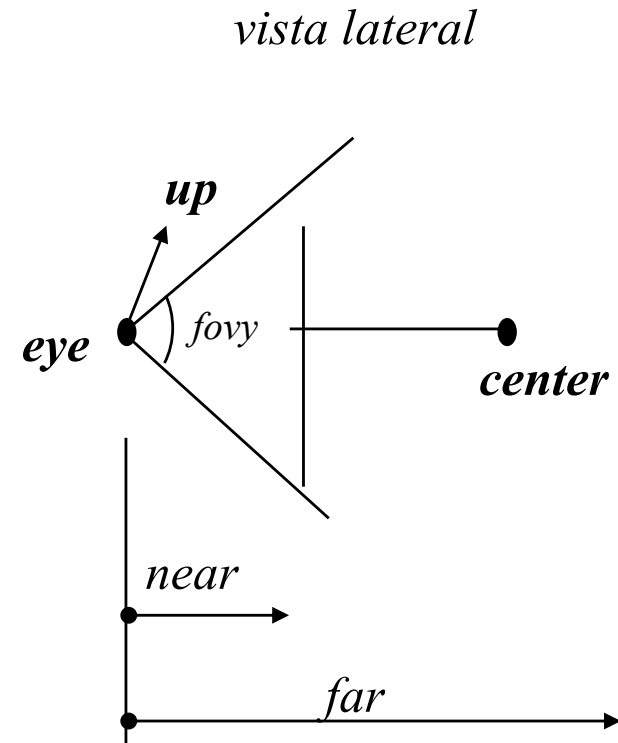
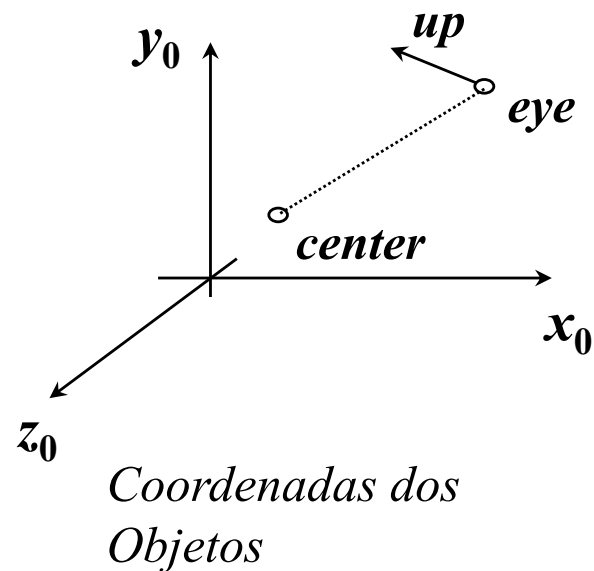
$$d_f = n$$

$$h = 2d_f \tan\left(\frac{fov_y}{2}\right)$$

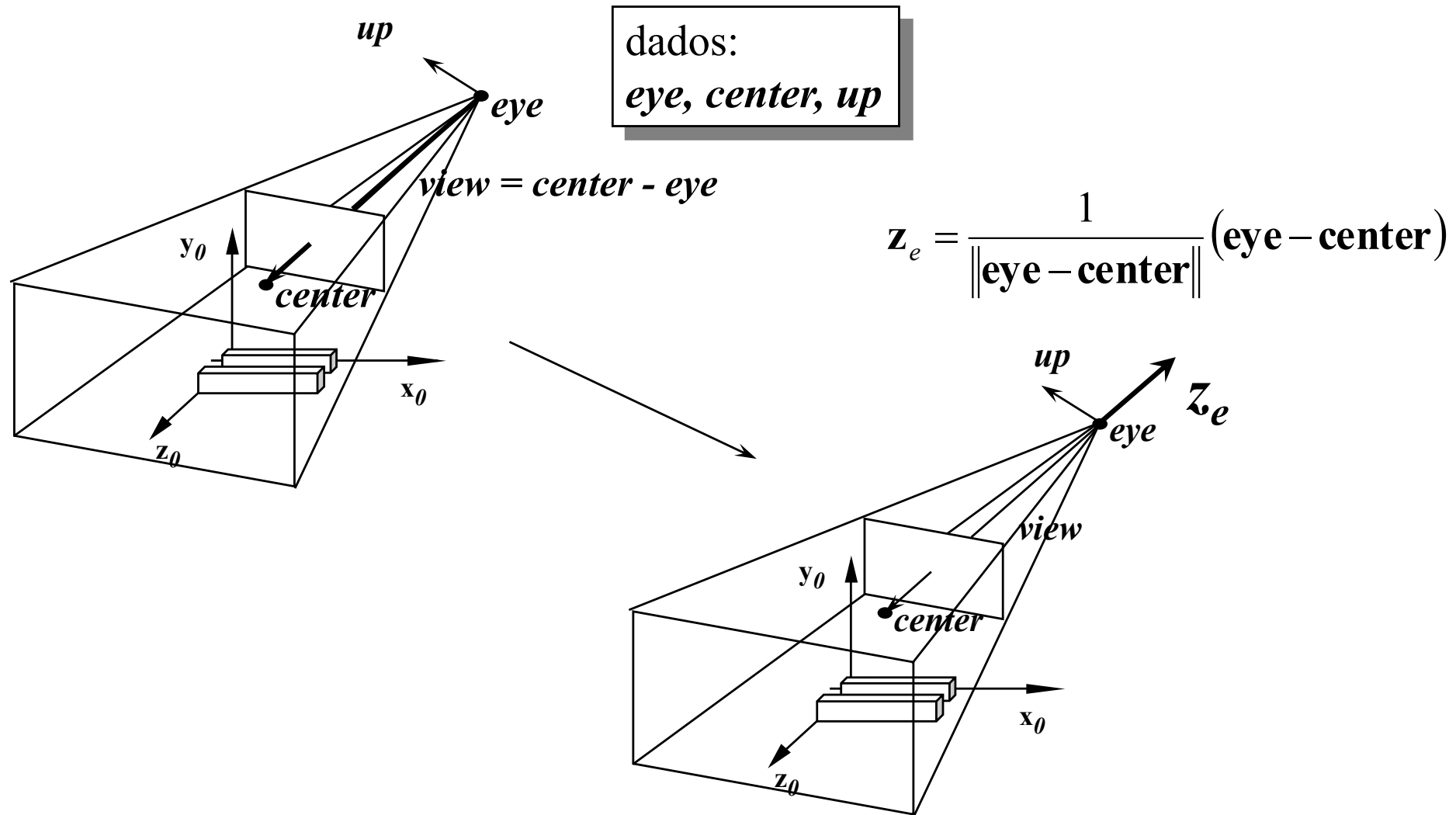
$$w = \frac{w_p}{h_p} h$$

# Posicionamento da câmera (parâmetros externos ou extrínsecos)

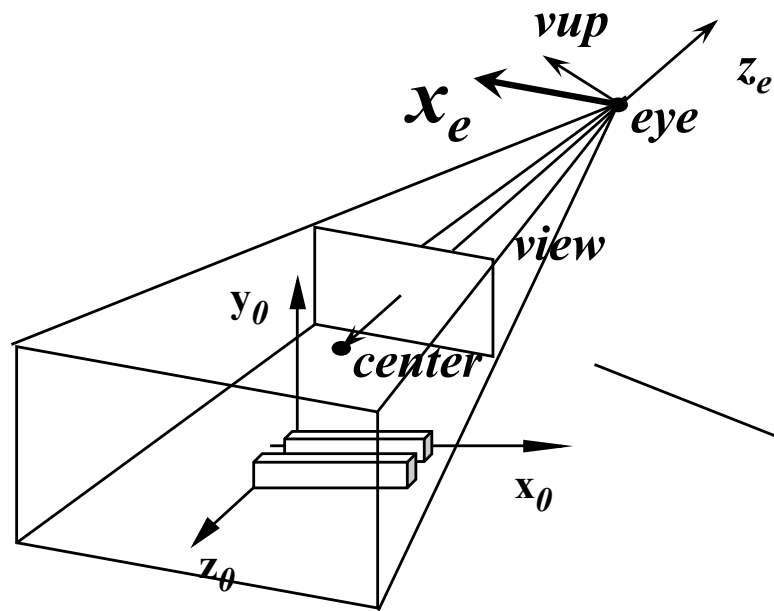
*eye* = centro óptico  
*center* = ponto de visada,  
*up* = direção para cima



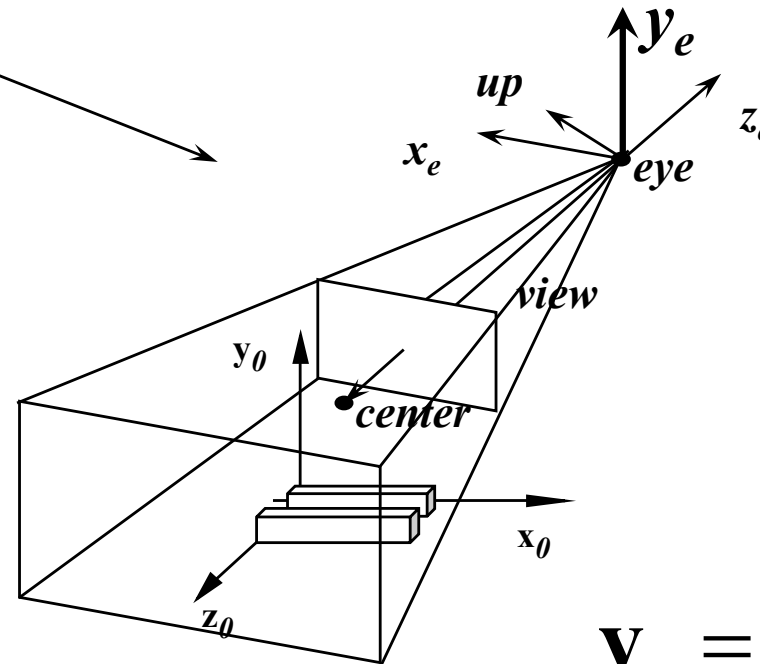
# Calculo do sistema do olho - $x_e y_e z_e$



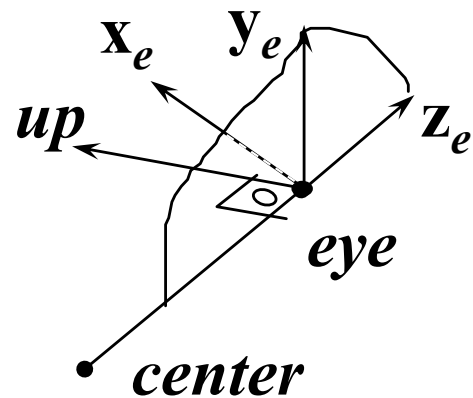
# Calculo do sistema do olho - $x_e y_e z_e$



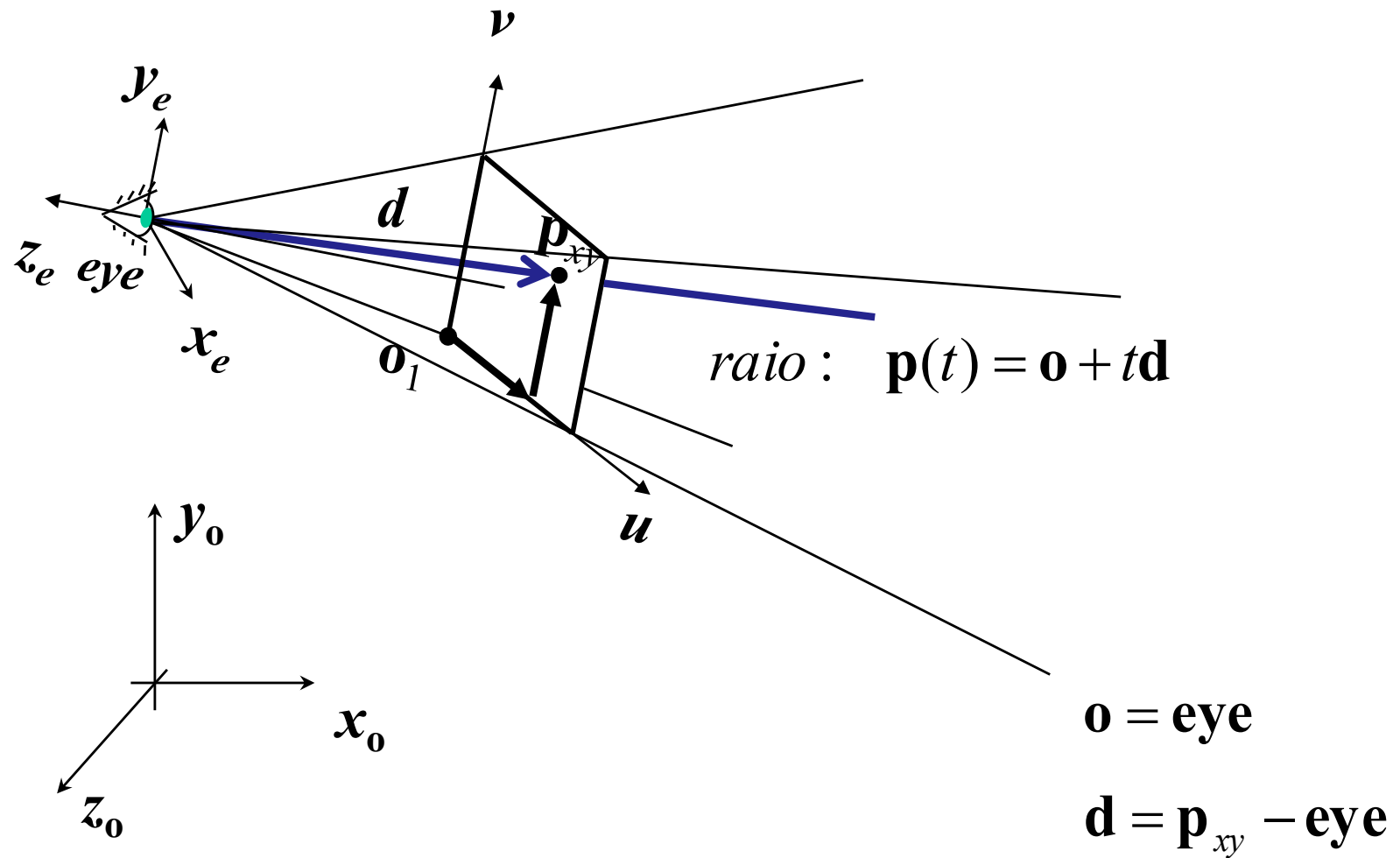
$$\mathbf{x}_e = \frac{1}{\|\mathbf{up} \times \mathbf{z}_e\|} (\mathbf{up} \times \mathbf{z}_e)$$



$$\mathbf{y}_e = \mathbf{z}_e \times \mathbf{x}_e$$

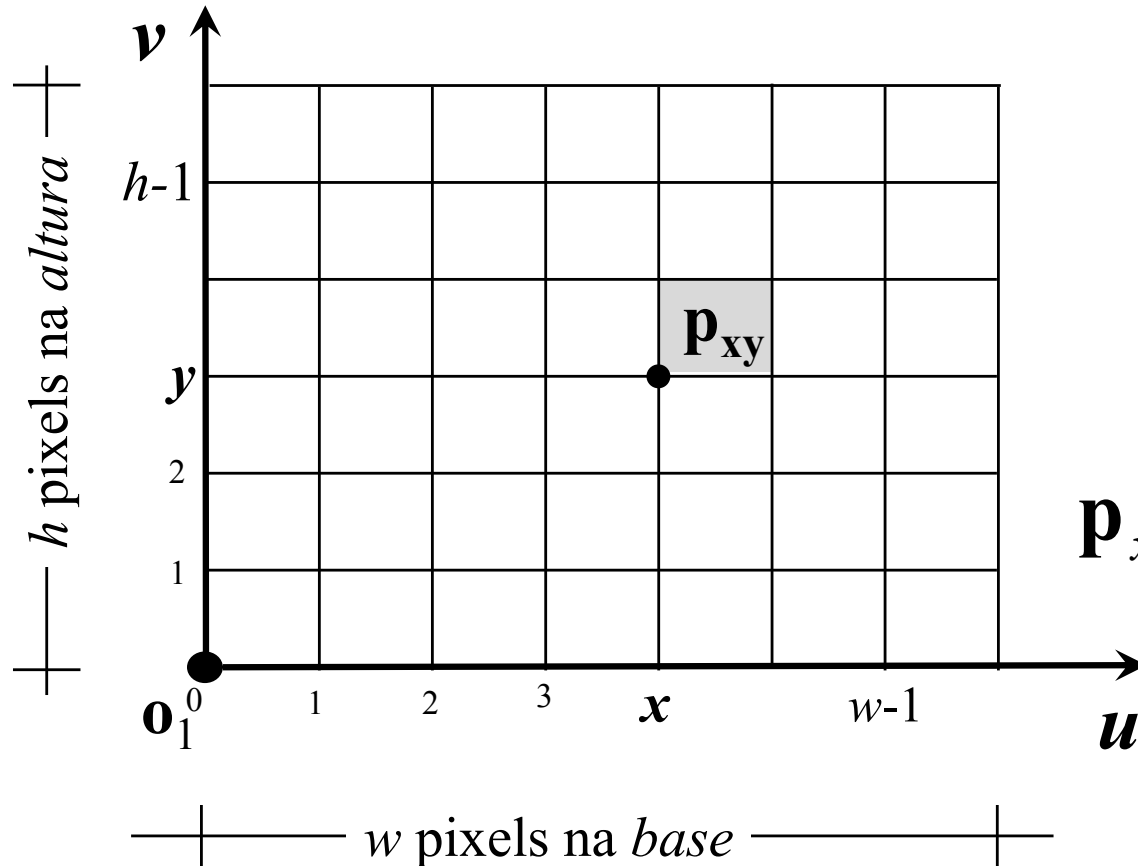


# Um modelo de câmera





# Lançamento de Raios



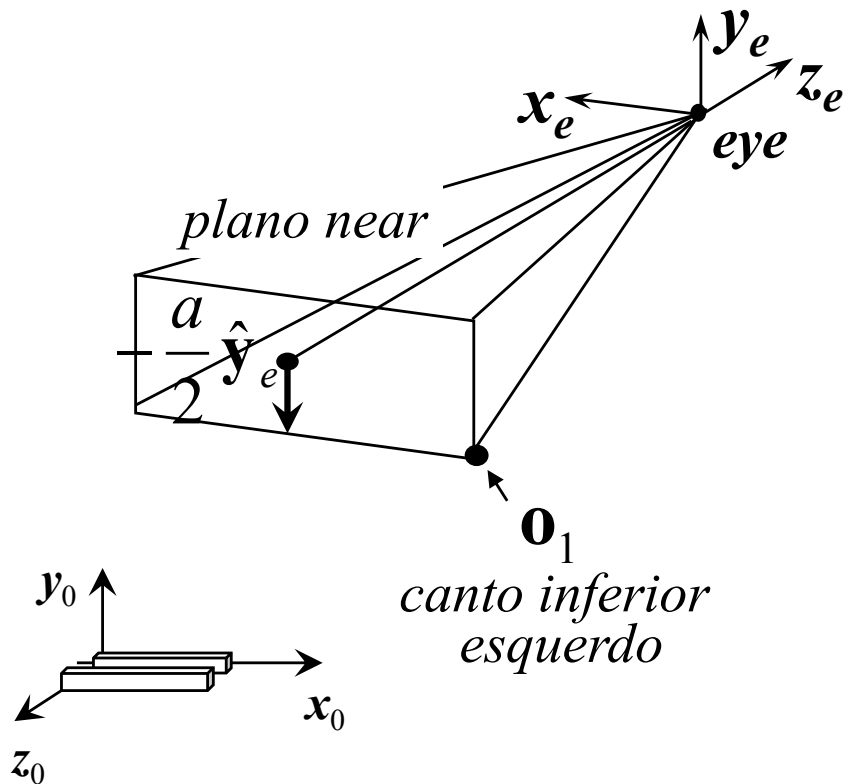
$$u(x) = \frac{x}{w_p} w$$

$$v(y) = \frac{y}{h_p} h$$

$$\mathbf{p}_{xy} = \mathbf{o}_1 + u(x)\hat{\mathbf{u}} + v(y)\hat{\mathbf{v}}$$

$$\mathbf{p}_{xy} = \mathbf{o}_1 + w \frac{x}{w_p} \hat{\mathbf{x}}_e + h \frac{y}{h_p} \hat{\mathbf{y}}_e$$

# Canto inferior esquerdo da janela no plano *near* (ou *far*)

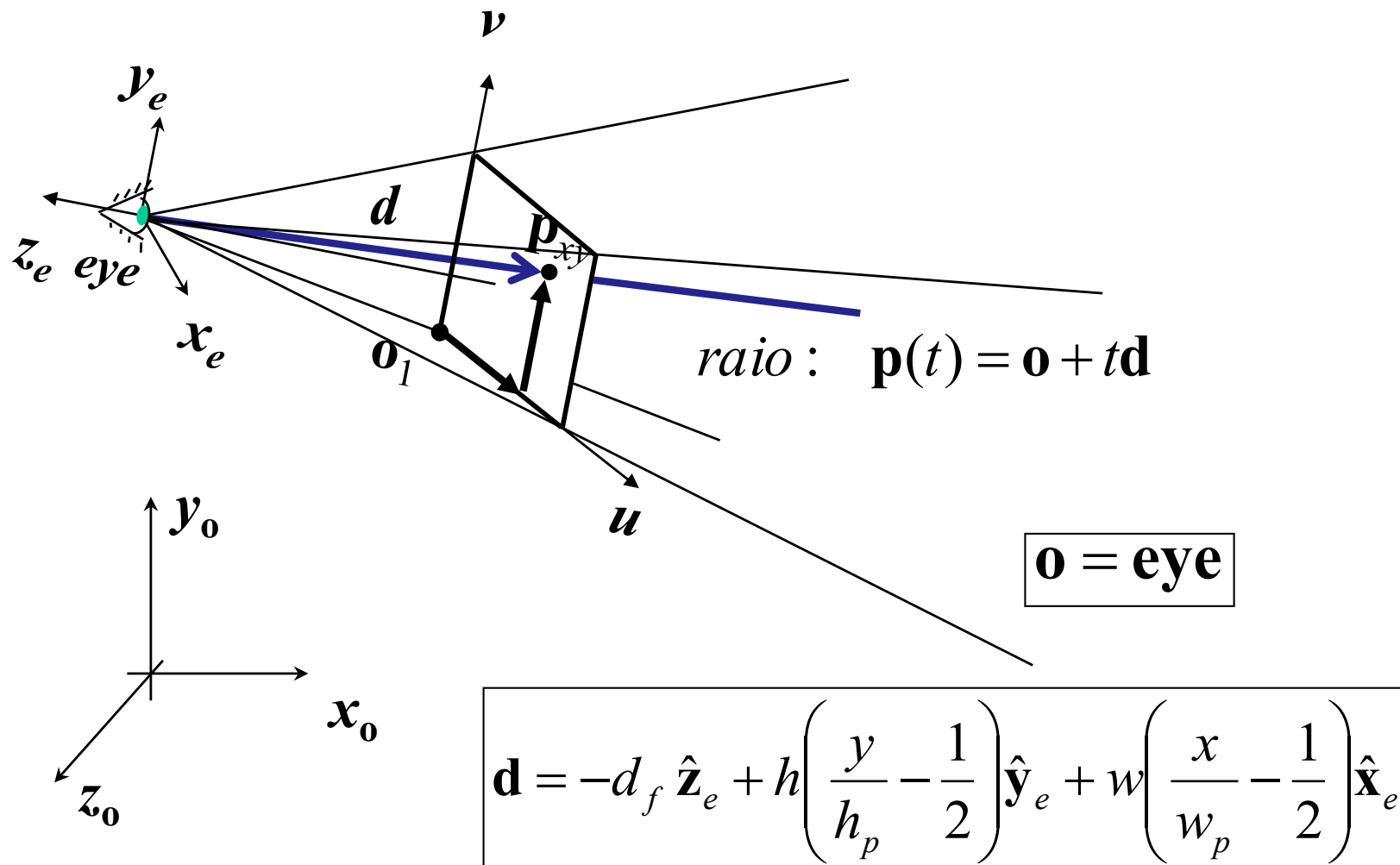


$$\mathbf{o}_1 = \mathbf{eye} - d_f \hat{\mathbf{z}}_e - \frac{h}{2} \hat{\mathbf{y}}_e - \frac{w}{2} \hat{\mathbf{x}}_e$$

$$\mathbf{p}_{xy} = \mathbf{o}_1 + w \frac{x}{w_p} \hat{\mathbf{x}}_e + h \frac{y}{h_p} \hat{\mathbf{y}}_e$$

$$\mathbf{d} = -d_f \hat{\mathbf{z}}_e + h \left( \frac{y}{h_p} - \frac{1}{2} \right) \hat{\mathbf{y}}_e + w \left( \frac{x}{w_p} - \frac{1}{2} \right) \hat{\mathbf{x}}_e$$

# Resultando



# Tipo Abstrato de Dados: Camera em C

```
struct _Camera {
    /* Definição da câmera */
    Vector eye, center, up;
    float  fovy;
    float  n,f;
    int    wp,hp;

    /* Parametros derivados */
    float  df;
    float  w,h;
    Vector xe,ye,ze;
};

typedef struct _Camera  Camera;
```

```
Camera* camCreate( Vector eye, Vector at, Vector up,
                  double fovy, double _near, double _far, int wp, int hp
);
```

```
Ray camGetRay( Camera camera, double x, double y );
```

# Objeto câmera

Inicialização (pré-processamento):

Dados:  $fov_y$ ,  $w_p$ ,  $h_p$ ,  $n$ ,  $f$ ,  $eye$ ,  $center$ ,  $up$

$$d_f = n \quad h = 2d_f \tan\left(\frac{fov_y}{2}\right) \quad w = \frac{w_p}{h_p} h$$
$$\mathbf{z}_e = \frac{1}{\|\mathbf{eye} - \mathbf{center}\|} (\mathbf{eye} - \mathbf{center}) \quad \mathbf{x}_e = \frac{1}{\|\mathbf{up} \times \mathbf{z}_e\|} (\mathbf{up} \times \mathbf{z}_e) \quad \mathbf{y}_e = (\mathbf{z}_e \times \mathbf{x}_e)$$

Lançamento de raios:  $\mathbf{o} + t\mathbf{d}$

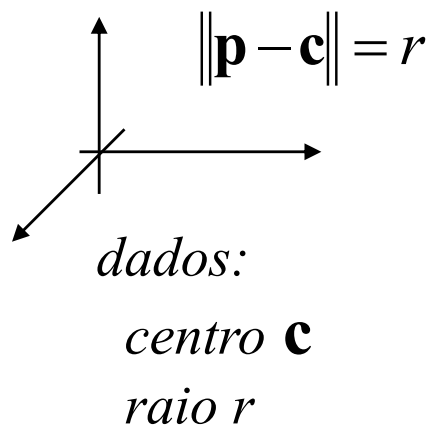
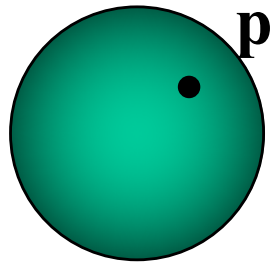
Dados:  $x$ ,  $y$

$$\mathbf{o} = \mathbf{eye}$$

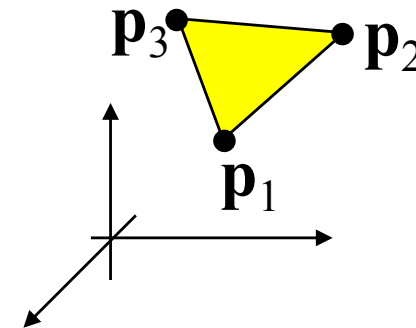
$$\mathbf{d} = -d_f \hat{\mathbf{z}}_e + h \left( \frac{y}{h_p} - \frac{1}{2} \right) \hat{\mathbf{y}}_e + w \left( \frac{x}{w_p} - \frac{1}{2} \right) \hat{\mathbf{x}}_e$$

# Modelagem dos Objetos

*Implícita:*

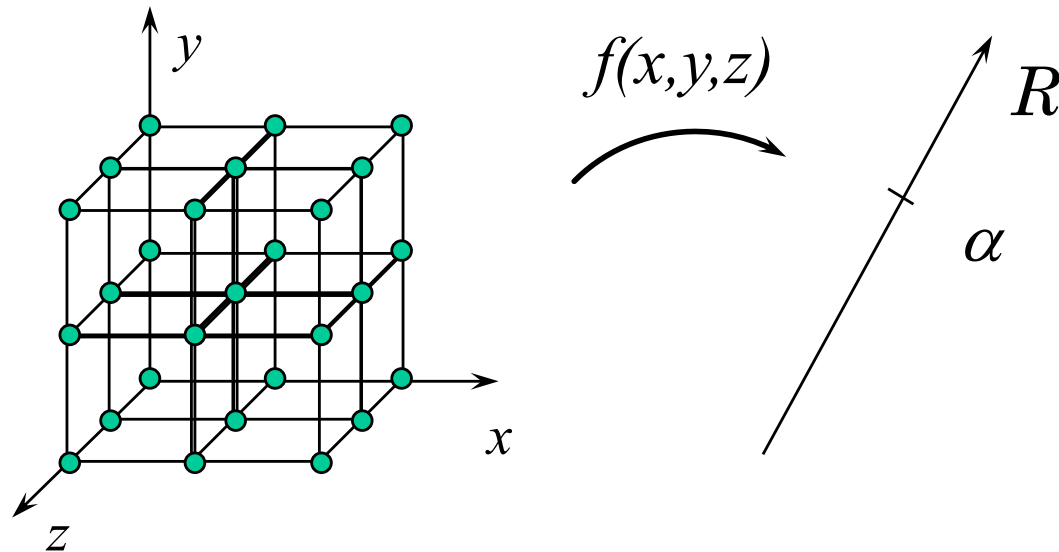


*Por fronteira:*



# Superfícies implícitas em grades Cartesianas

- Seja  $f(x,y,z)$ , uma função amostrada em  $\mathbb{R}^3$



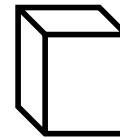
Objetivo:

- Visualizar uma **isosuperfície**  $S$  definida por  $f(x,y,z) = \alpha$ .

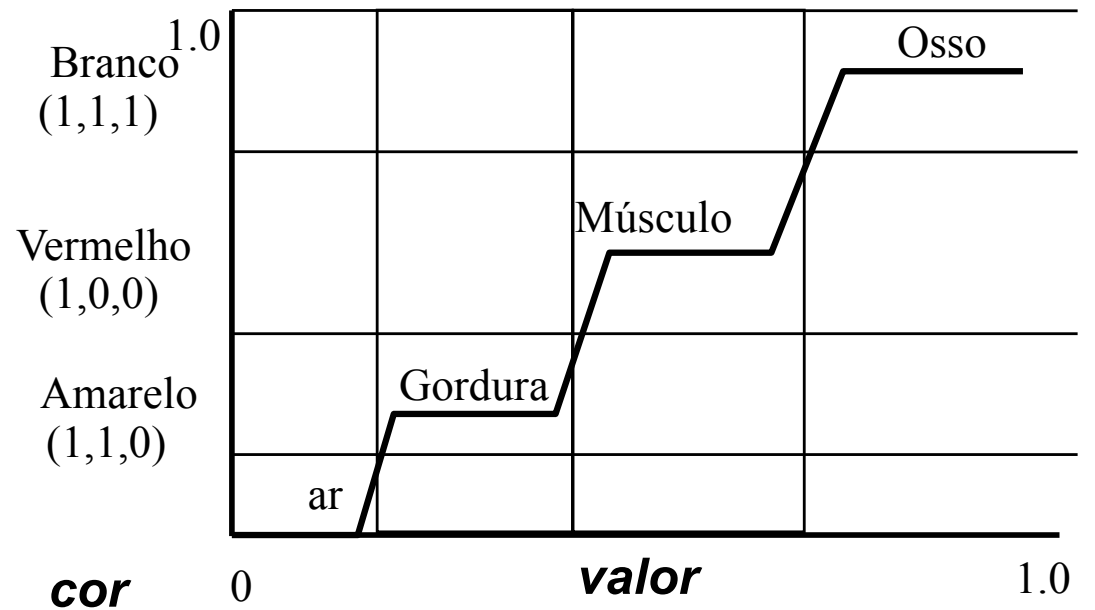
# Classificação do Voxel



**Voxel**



**opacidade**





# Interseção de um raio com uma esfera

Raio:  $\mathbf{p}(t) = \mathbf{o} + t\mathbf{d}$

Esfera:  $\|\mathbf{p}(t_i) - \mathbf{c}\|^2 = r^2$

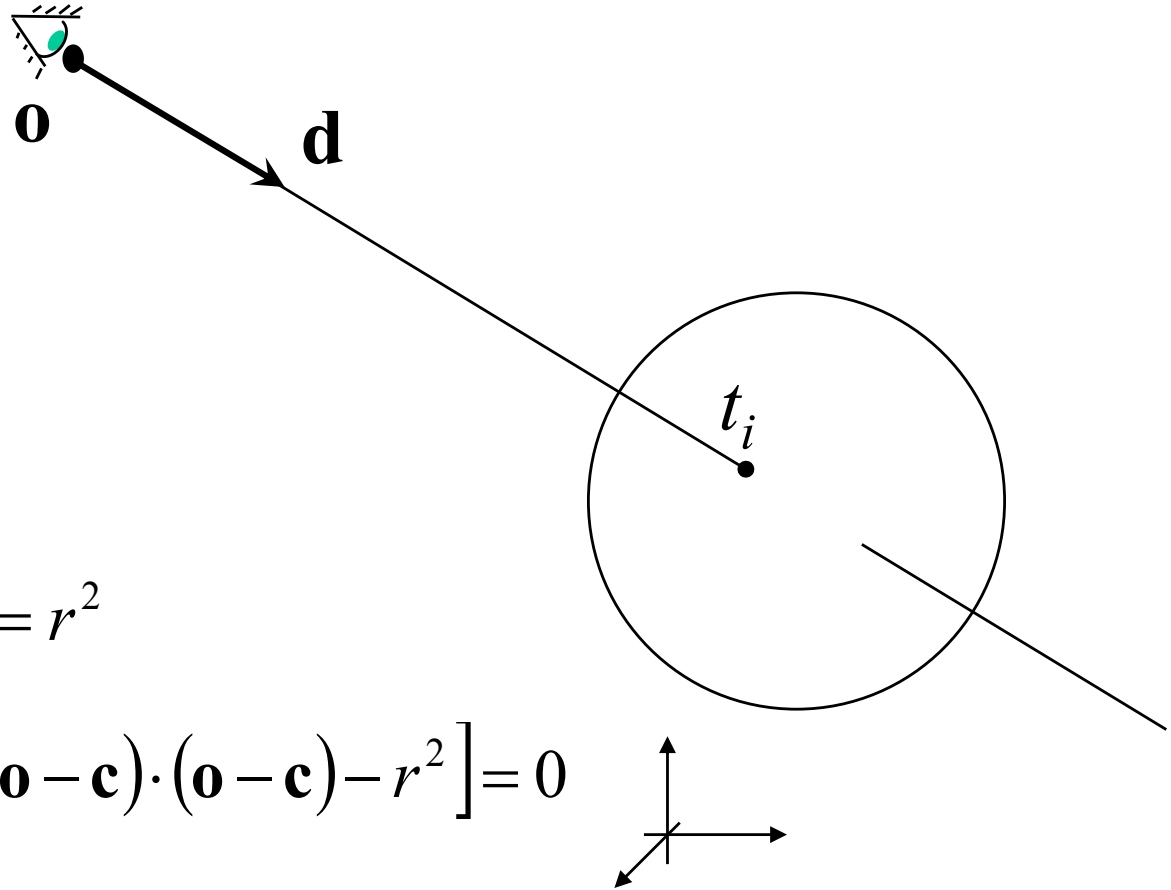
$$\|\mathbf{o} + t_i\mathbf{d} - \mathbf{c}\|^2 = r^2$$

$$((\mathbf{o} - \mathbf{c}) + t_i\mathbf{d}) \cdot ((\mathbf{o} - \mathbf{c}) + t_i\mathbf{d}) = r^2$$

$$[\mathbf{d} \cdot \mathbf{d}]t_i^2 + [2\mathbf{d} \cdot (\mathbf{o} - \mathbf{c})]t_i + [(\mathbf{o} - \mathbf{c}) \cdot (\mathbf{o} - \mathbf{c}) - r^2] = 0$$

$$a t_i^2 + b t_i + c = 0$$

$$t = \frac{-b \pm \sqrt{b^2 - 4ac}}{2a}$$



# Objeto esfera: métodos (dados $\mathbf{o}$ , $\mathbf{d}$ , $\mathbf{c}$ , $r$ )

Interseção:

$$a = \mathbf{d} \cdot \mathbf{d}$$

$$b = 2\mathbf{d} \cdot (\mathbf{o} - \mathbf{c})$$

$$c = (\mathbf{o} - \mathbf{c}) \cdot (\mathbf{o} - \mathbf{c}) - r^2$$

$$\text{se } \Delta = b^2 - 4ac > 0$$

$$t_1 = \frac{-b - \sqrt{\Delta}}{2a}$$

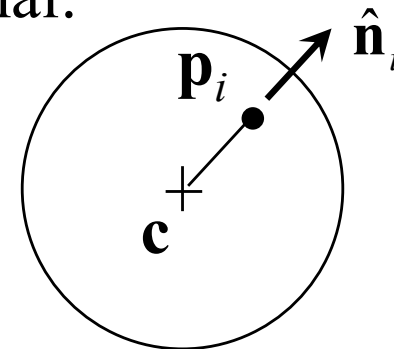
$$t_2 = \frac{-b + \sqrt{\Delta}}{2a}$$

$$t_i = \min(t_1, t_2)$$

se  $t_i > 0$ :

$$\mathbf{p}_i = \mathbf{p}(t_i) = \mathbf{o} + t_i \mathbf{d}$$

Normal:



$$\hat{\mathbf{n}}_i = \frac{1}{\|\mathbf{p}_i - \mathbf{c}\|} (\mathbf{p}_i - \mathbf{c})$$

# Interseção com o plano do triângulo

*Raio* :  $\mathbf{p}(t) = \mathbf{o} + t\mathbf{d}$

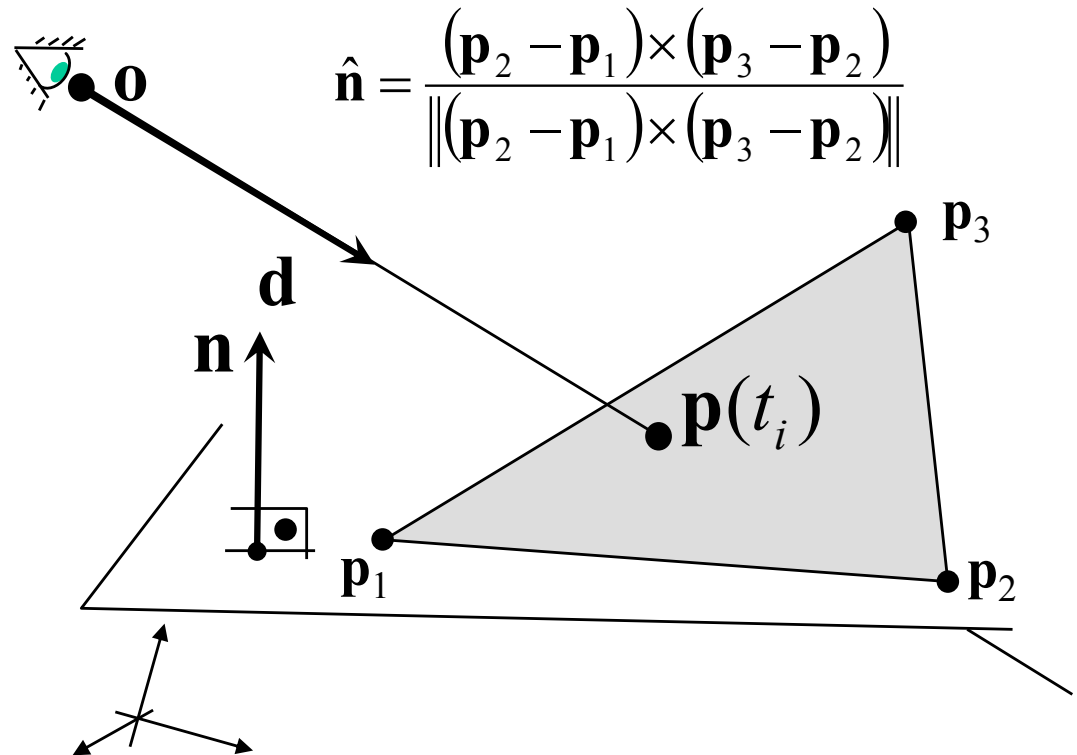
*Plano* :  $(\mathbf{p}(t_i) - \mathbf{p}_1) \cdot \mathbf{n} = 0$

$$(\mathbf{o} + t_i \mathbf{d} - \mathbf{p}_1) \cdot \mathbf{n} = 0$$

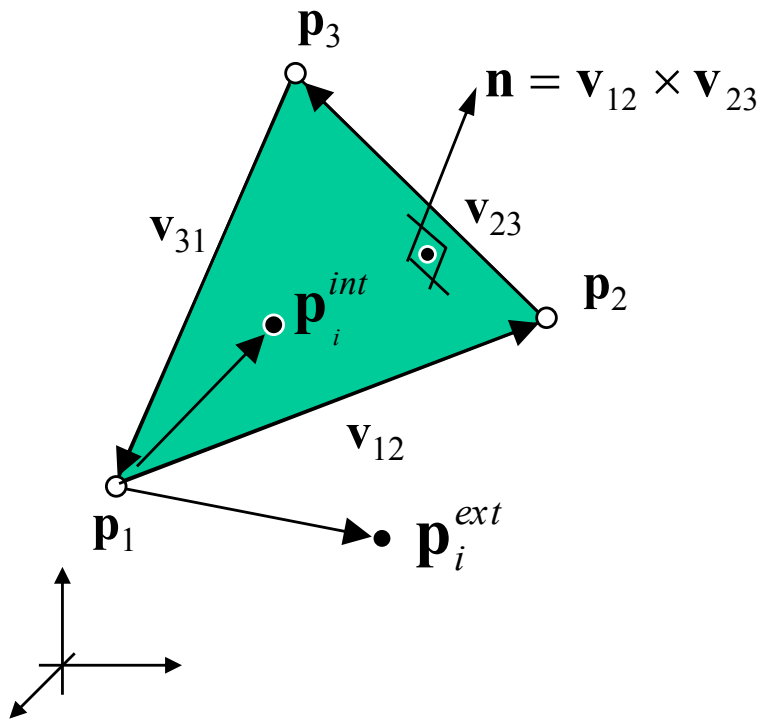
$$t_i \mathbf{d} \cdot \mathbf{n} + (\mathbf{o} - \mathbf{p}_1) \cdot \mathbf{n} = 0$$

$$t_i = \frac{(\mathbf{p}_1 - \mathbf{o}) \cdot \mathbf{n}}{\mathbf{d} \cdot \mathbf{n}}$$

$$\mathbf{p}_i = \mathbf{p}(t_i) = \mathbf{o} + t_i \mathbf{d}$$



# Ponto interno a triângulo



$$\mathbf{n} \cdot (\mathbf{v}_{12} \times (\mathbf{p}_i^{int} - \mathbf{p}_1)) > 0$$

$$\mathbf{n} \cdot (\mathbf{v}_{12} \times (\mathbf{p}_i^{ext} - \mathbf{p}_1)) < 0$$

# Coordenadas baricêntricas

$$\hat{\mathbf{n}} = \text{unit}(\mathbf{v}_{12} \times \mathbf{v}_{31})$$

$$A_1 = \hat{\mathbf{n}} \cdot (\mathbf{v}_{23} \times (\mathbf{p}_i - \mathbf{p}_2)) / 2$$

$$A_2 = \hat{\mathbf{n}} \cdot (\mathbf{v}_{31} \times (\mathbf{p}_i - \mathbf{p}_3)) / 2$$

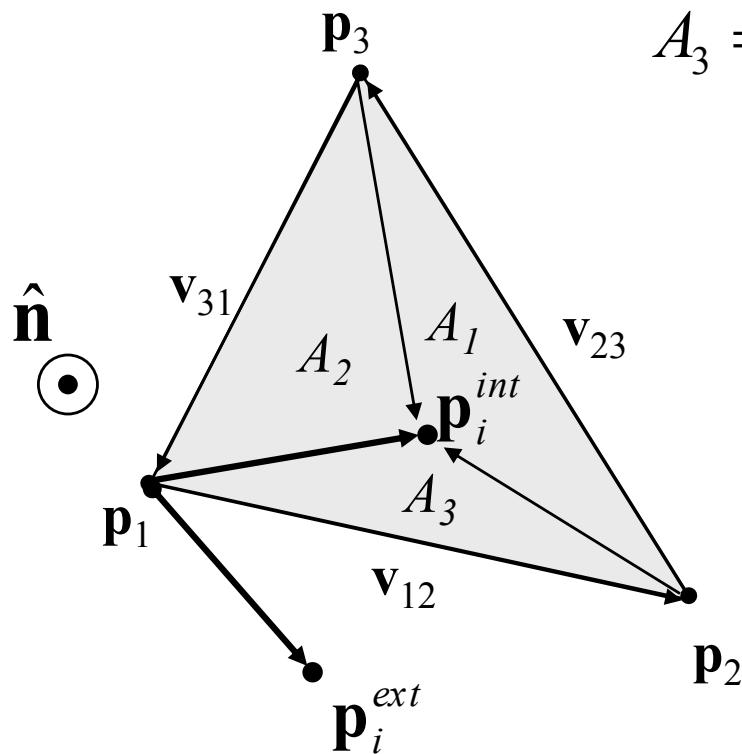
$$A_3 = \hat{\mathbf{n}} \cdot (\mathbf{v}_{12} \times (\mathbf{p}_i - \mathbf{p}_1)) / 2$$

$$A_T = A_1 + A_2 + A_3$$

$$L_1 = A_1 / A_T$$

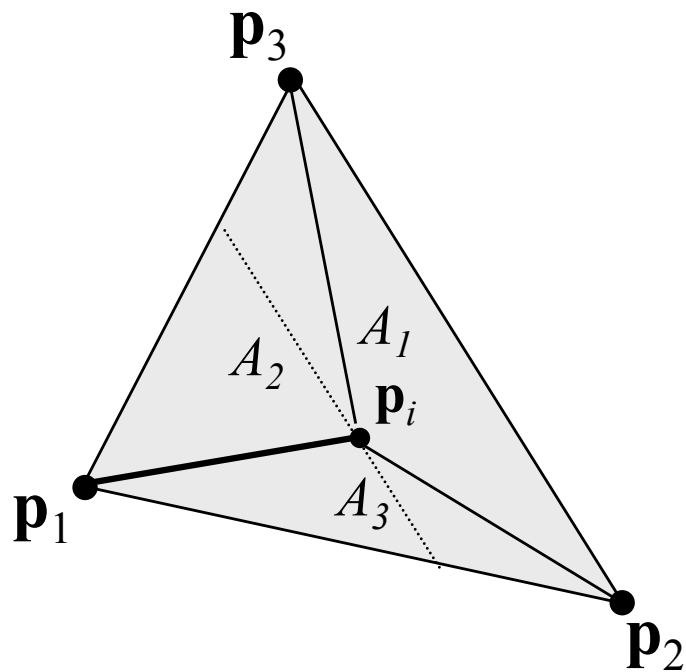
$$L_2 = A_2 / A_T$$

$$L_3 = A_3 / A_T$$

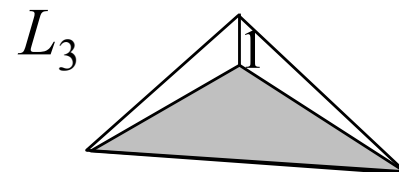
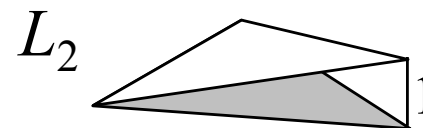
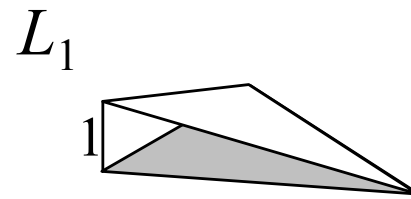


$\mathbf{p}_i$  é interior se  $L_1, L_2$  e  $L_3 \in [0..1]$

# Coordenadas baricêntricas como funções interpolantes

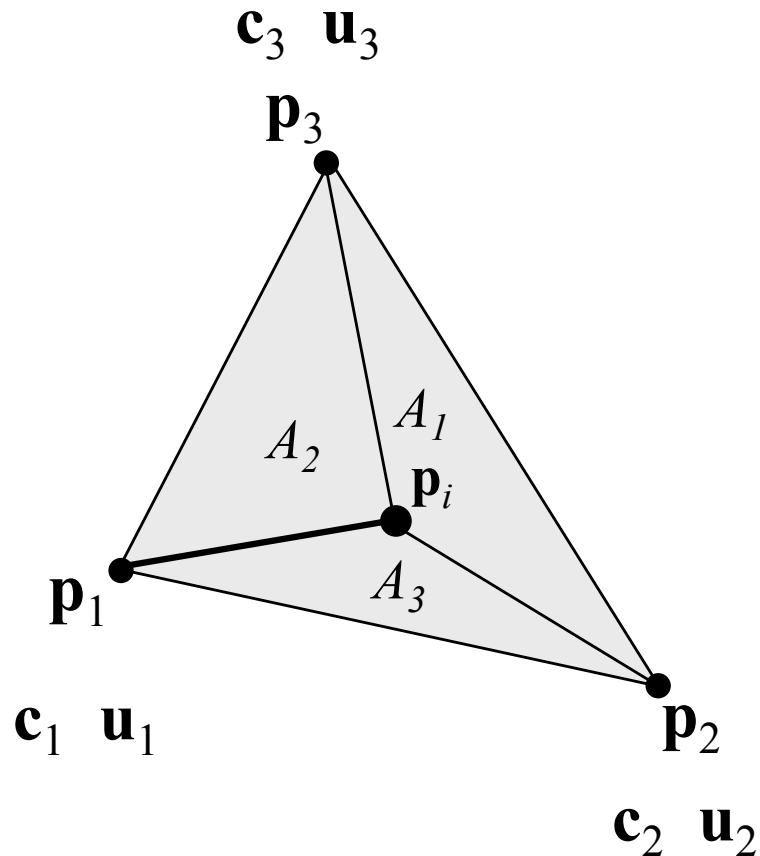


$$\begin{pmatrix} x_i \\ y_i \\ z_i \end{pmatrix} = L_1 \begin{pmatrix} x_1 \\ y_1 \\ z_1 \end{pmatrix} + L_2 \begin{pmatrix} x_2 \\ y_2 \\ z_2 \end{pmatrix} + L_3 \begin{pmatrix} x_3 \\ y_3 \\ z_3 \end{pmatrix}$$



$$L_1 + L_2 + L_3 = 1$$

# Interpolação de cor e coordenada de textura através das coordenadas baricêntricas



$$\begin{Bmatrix} r_i \\ g_i \\ b_i \end{Bmatrix} = L_1 \begin{Bmatrix} r_1 \\ g_1 \\ b_1 \end{Bmatrix} + L_2 \begin{Bmatrix} r_2 \\ g_2 \\ b_2 \end{Bmatrix} + L_3 \begin{Bmatrix} r_3 \\ g_3 \\ b_3 \end{Bmatrix}$$

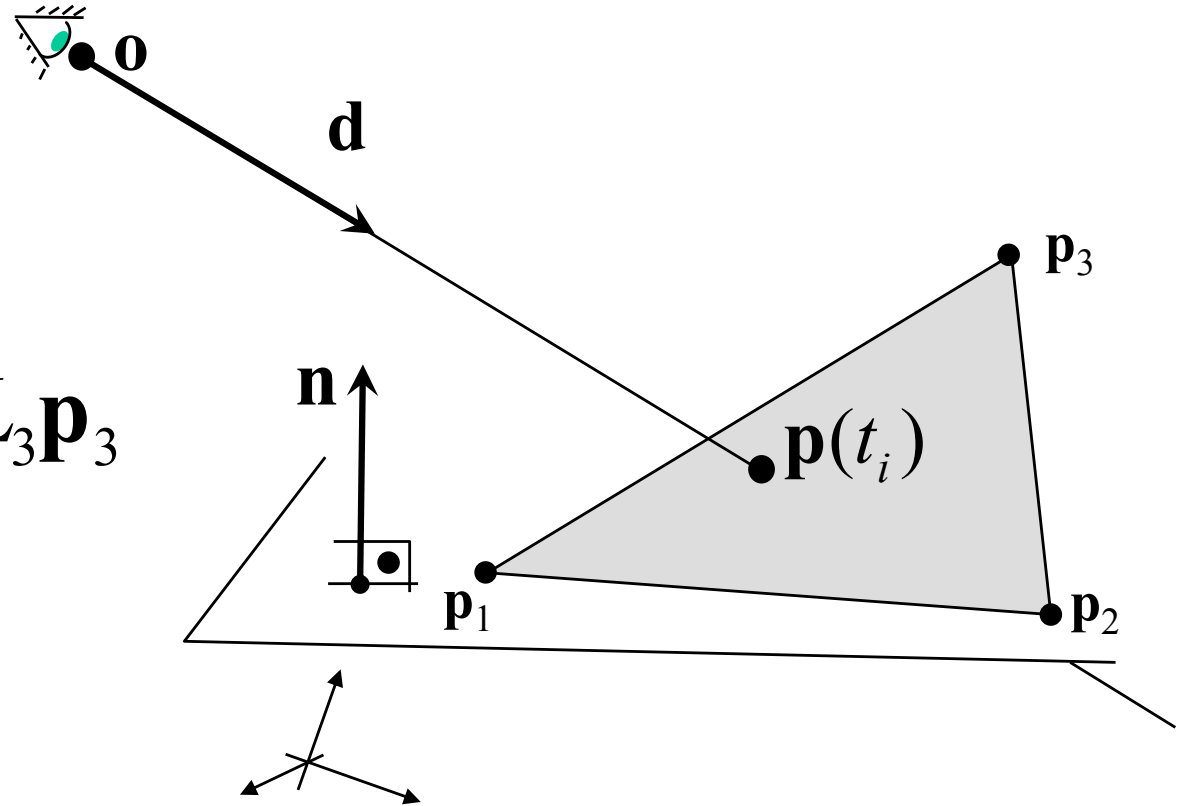
ou:

$$\begin{Bmatrix} u_i \\ v_i \end{Bmatrix} = L_1 \begin{Bmatrix} u_1 \\ v_1 \end{Bmatrix} + L_2 \begin{Bmatrix} u_2 \\ v_2 \end{Bmatrix} + L_3 \begin{Bmatrix} u_3 \\ v_3 \end{Bmatrix}$$

# Forma otimizada de calculo

$$\mathbf{p}_i = \mathbf{o} + t_i \mathbf{d}$$

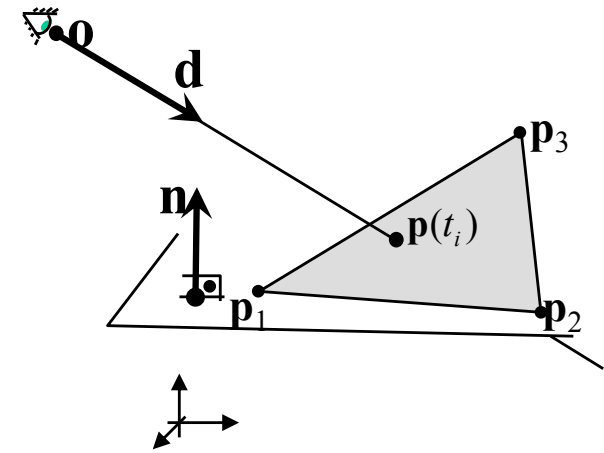
$$\mathbf{p}_i = L_1 \mathbf{p}_1 + L_2 \mathbf{p}_2 + L_3 \mathbf{p}_3$$



$$\mathbf{p}_i = \mathbf{o} + t_i \mathbf{d} = (1 - L_2 - L_3) \mathbf{p}_1 + L_2 \mathbf{p}_2 + L_3 \mathbf{p}_3$$



# Forma otimizada de cálculo



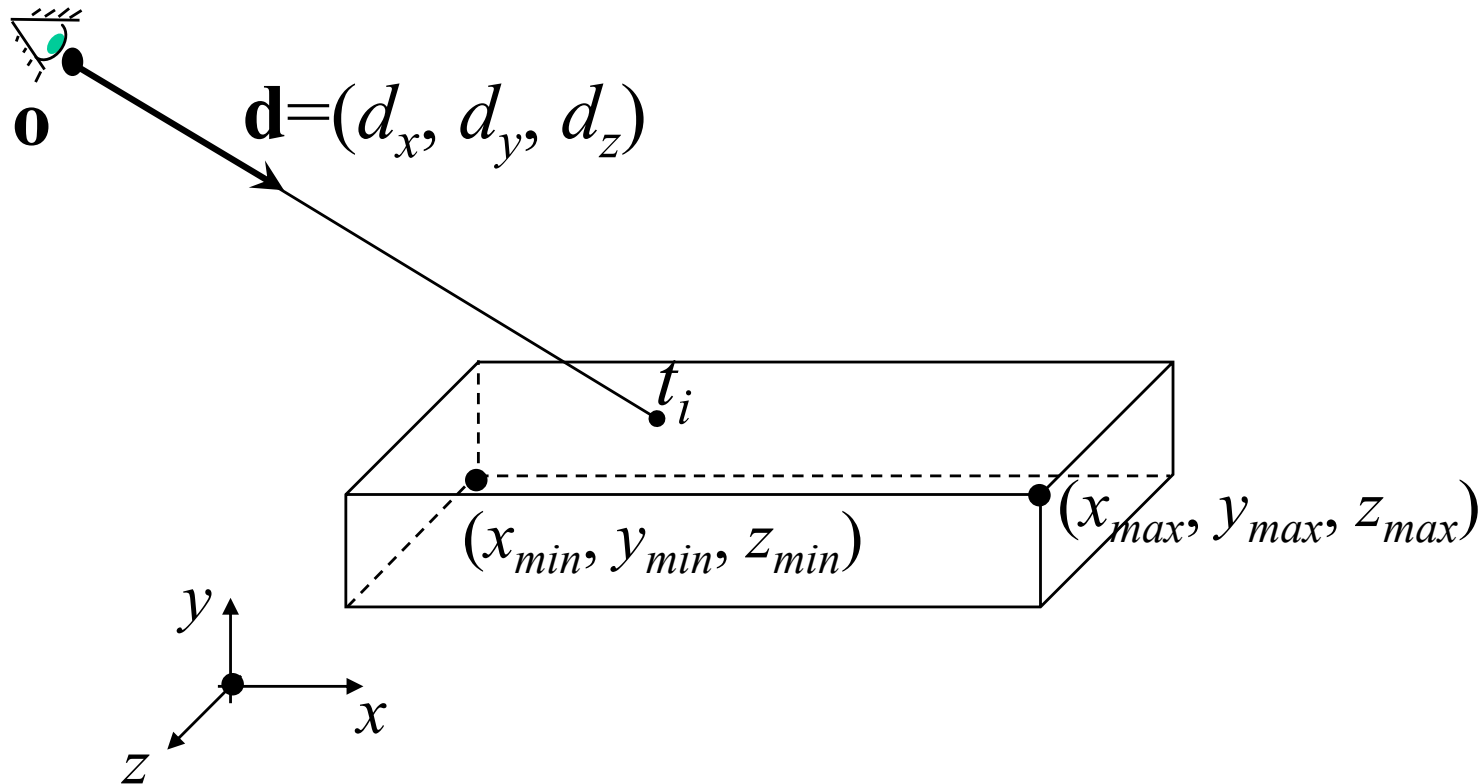
$$\mathbf{o} + t_i \mathbf{d} = (1 - L_2 - L_3) \mathbf{p}_1 + L_2 \mathbf{p}_2 + L_3 \mathbf{p}_3$$

$$-t_i \mathbf{d} + L_2 (\mathbf{p}_2 - \mathbf{p}_1) + L_3 (\mathbf{p}_3 - \mathbf{p}_1) = \mathbf{o} - \mathbf{p}_1$$

$$\begin{bmatrix} -\mathbf{d} & (\mathbf{p}_2 - \mathbf{p}_1) & (\mathbf{p}_3 - \mathbf{p}_1) \end{bmatrix} \begin{pmatrix} t_i \\ L_2 \\ L_3 \end{pmatrix} = (\mathbf{o} - \mathbf{p}_1)$$

$$\mathbf{Ax} = \mathbf{b}$$

# Caixa alinhada com os eixos

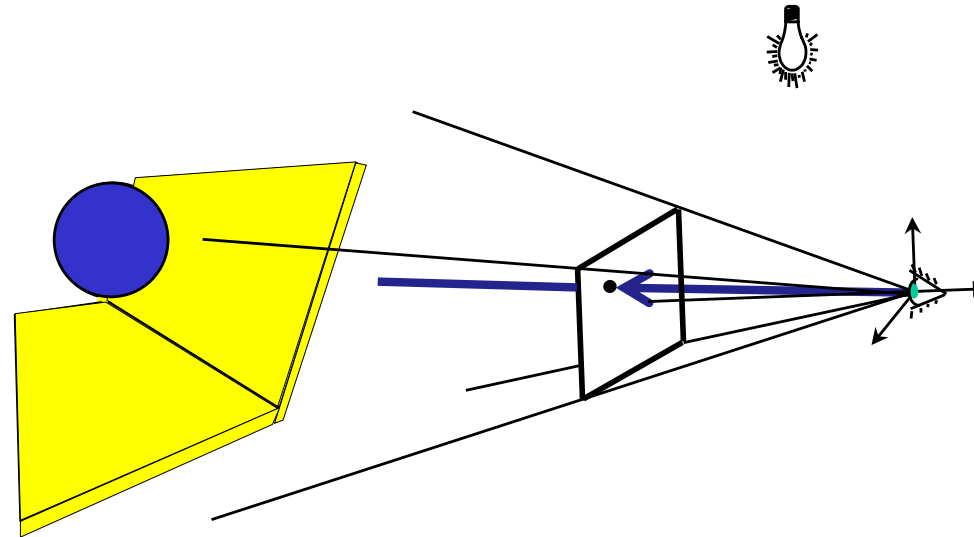


$$d_x > 0 \Rightarrow x = x_{min}$$

$$d_y < 0 \Rightarrow y = y_{max}$$

$$d_z < 0 \Rightarrow z = z_{max}$$

# Motivação: Uma cena simples



Camera:

$\mathbf{eye} = (100,40,40)$ ,  $\mathbf{center} = (0,0,0)$ ,  $\mathbf{up}=(0,1,0)$ ,  $\text{fov}=90^\circ$ ,  $\text{near} = 30$ ,  $\text{far}=230$ ,  
 $w=230$ ,  $h=230$ .

Esfera:

$\mathbf{c} = (0,20,0)$ ,  $r = 25$ , cor azul =  $(0,0,1)$

Caixas alinhadas com os eixos:

$\mathbf{p}_0 = (-80,-50,-50)$ ,  $\mathbf{p}_1 = (50,-45,50)$  e cor amarela =  $(0.7,0.7,0)$

$\mathbf{p}_0 = (-80,-50,-60)$ ,  $\mathbf{p}_1 = (50,50,-50)$  e cor amarela =  $(0.7,0.7,0)$

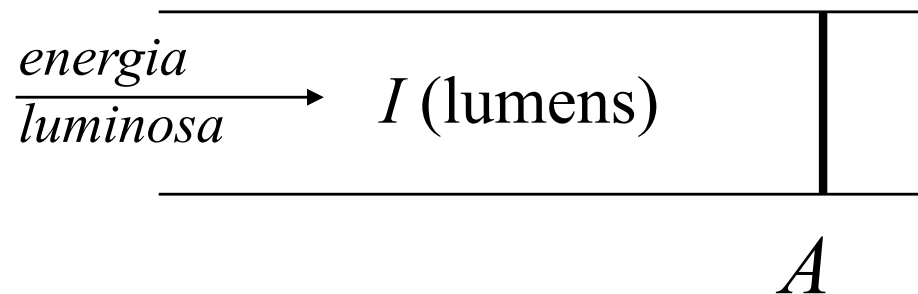
Luz Pontual:

Posição= $(60,120,40)$  e intensidade RGB  $l=(0.8,0.8,0.8)$

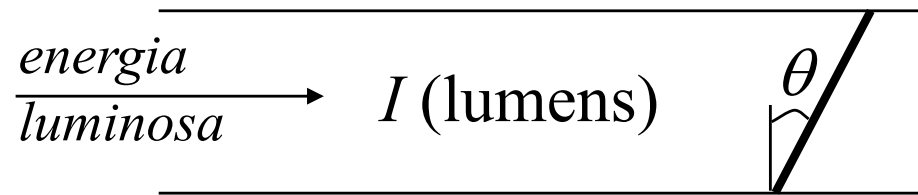
O que conseguiríamos se simplesmente atribuíssemos aos *pixels* a cor dos objetos?



# Área aparente



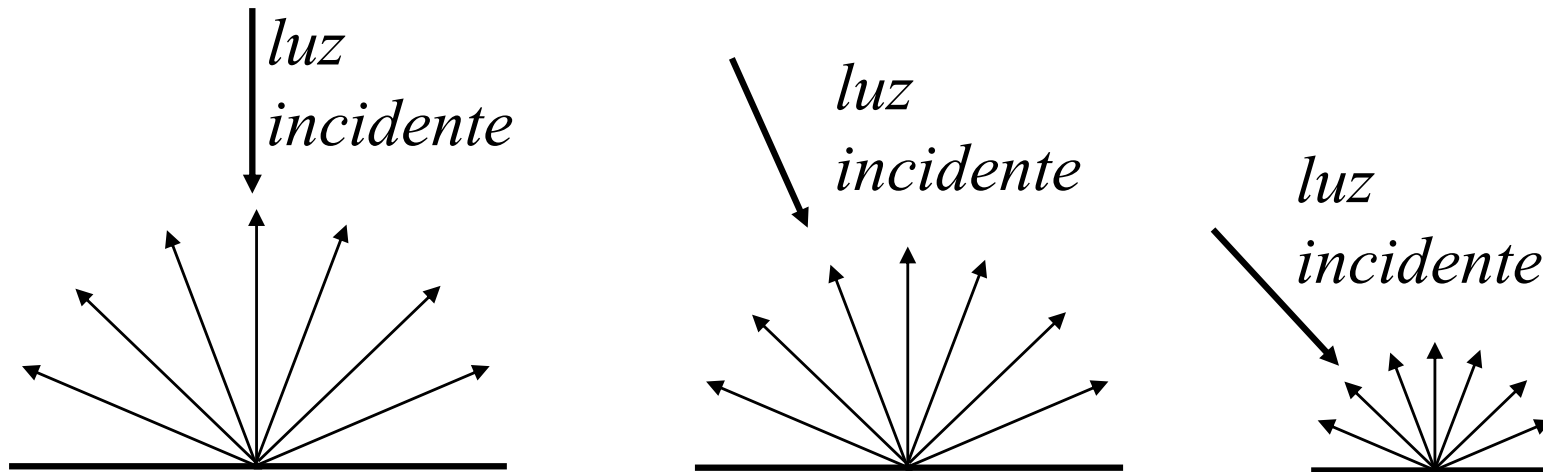
$$i = \frac{I}{A} \text{ lumens / m}^2$$



$$i' = \frac{I}{A} \cos \theta \text{ lumens / m}^2$$

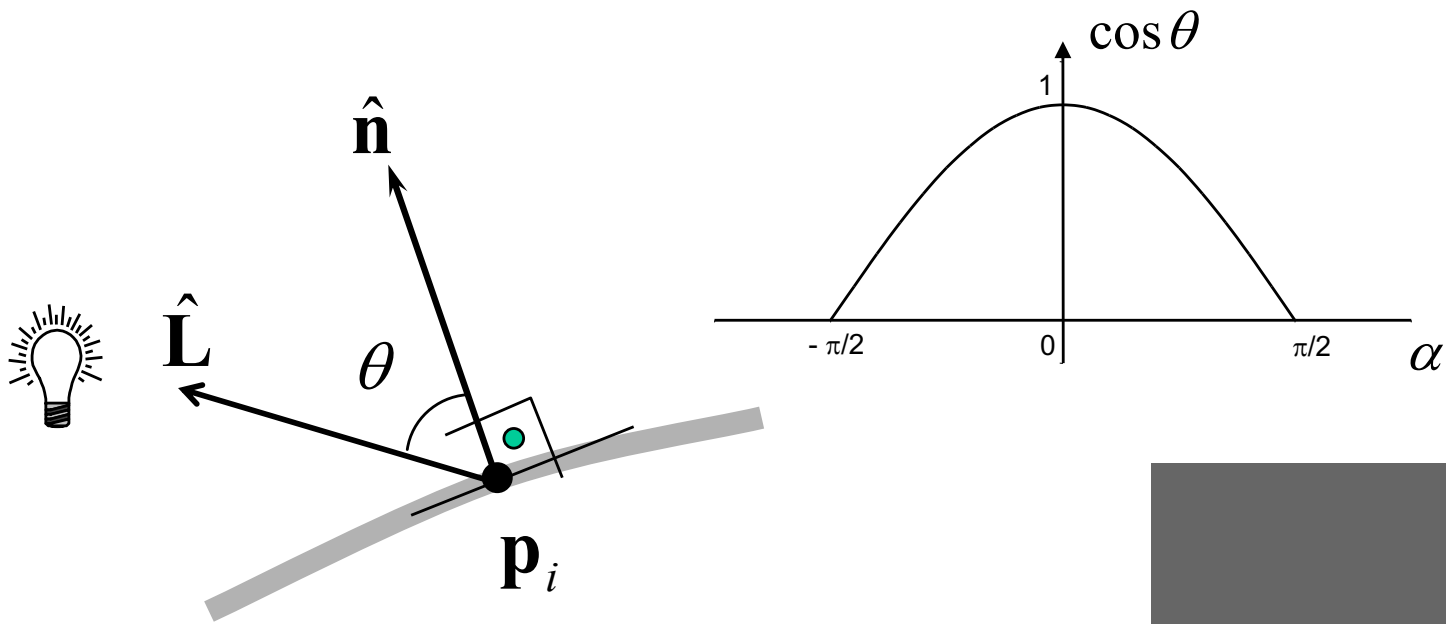
$$A' = \frac{A}{\cos \theta}$$

# Modelo de reflexão de superfícies Lambertianas

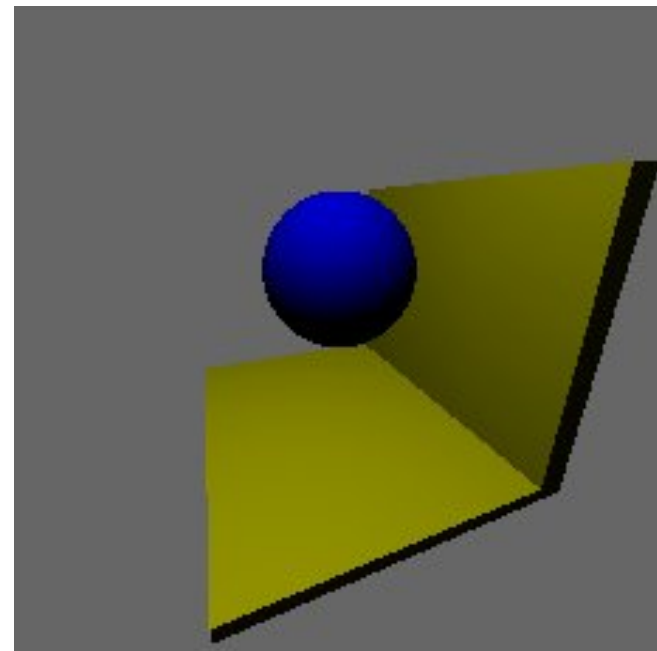


1. *Reflete igualmente em todas as direções*
2. *A intensidade é proporcional ao co-seno*

# Componente de reflexão difusa



$$\begin{pmatrix} I_r \\ I_g \\ I_b \end{pmatrix} = \begin{pmatrix} l_r k_{dr} \cos \theta \\ l_g k_{dg} \cos \theta \\ l_b k_{db} \cos \theta \end{pmatrix}$$



# Outras maneiras de se escrever:

$$\begin{pmatrix} I_r \\ I_g \\ I_b \end{pmatrix} = \begin{pmatrix} l_r k_{dr} \cos \theta \\ l_g k_{dg} \cos \theta \\ l_b k_{db} \cos \theta \end{pmatrix}$$

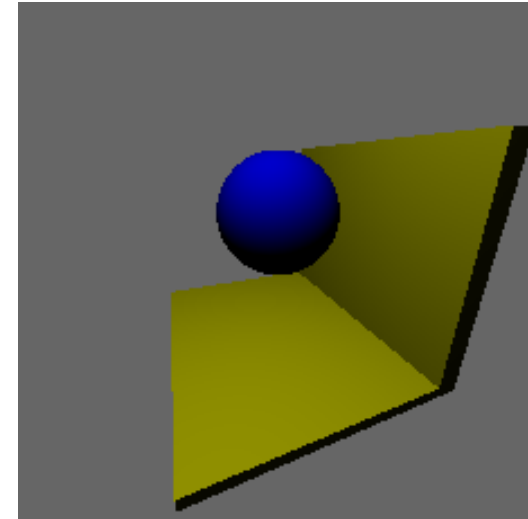
$$\begin{pmatrix} I_r \\ I_g \\ I_b \end{pmatrix} = \begin{pmatrix} l_r k_{dr} (\hat{\mathbf{n}} \cdot \hat{\mathbf{L}}) \\ l_g k_{dg} (\hat{\mathbf{n}} \cdot \hat{\mathbf{L}}) \\ l_b k_{db} (\hat{\mathbf{n}} \cdot \hat{\mathbf{L}}) \end{pmatrix} = \begin{pmatrix} l_r k_{dr} \\ l_g k_{dg} \\ l_b k_{db} \end{pmatrix} (\hat{\mathbf{n}} \cdot \hat{\mathbf{L}}) = \begin{pmatrix} l_r \\ l_g \\ l_b \end{pmatrix} \otimes \begin{pmatrix} k_{dr} \\ k_{dg} \\ k_{db} \end{pmatrix} (\hat{\mathbf{n}} \cdot \hat{\mathbf{L}}) \quad \text{Eq. 1}$$

$$I, l, k \in [0, 1]$$

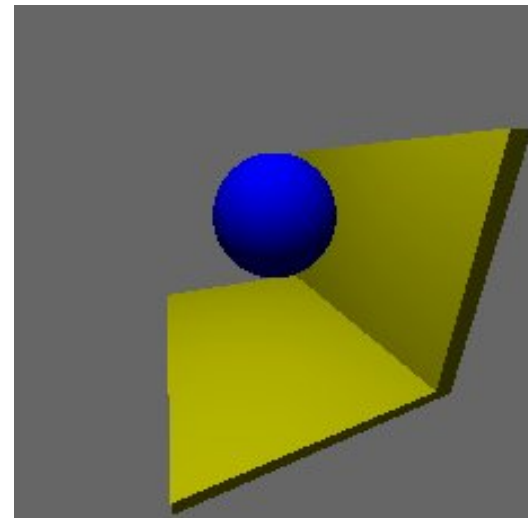


# Luz difusa mais ambiente:

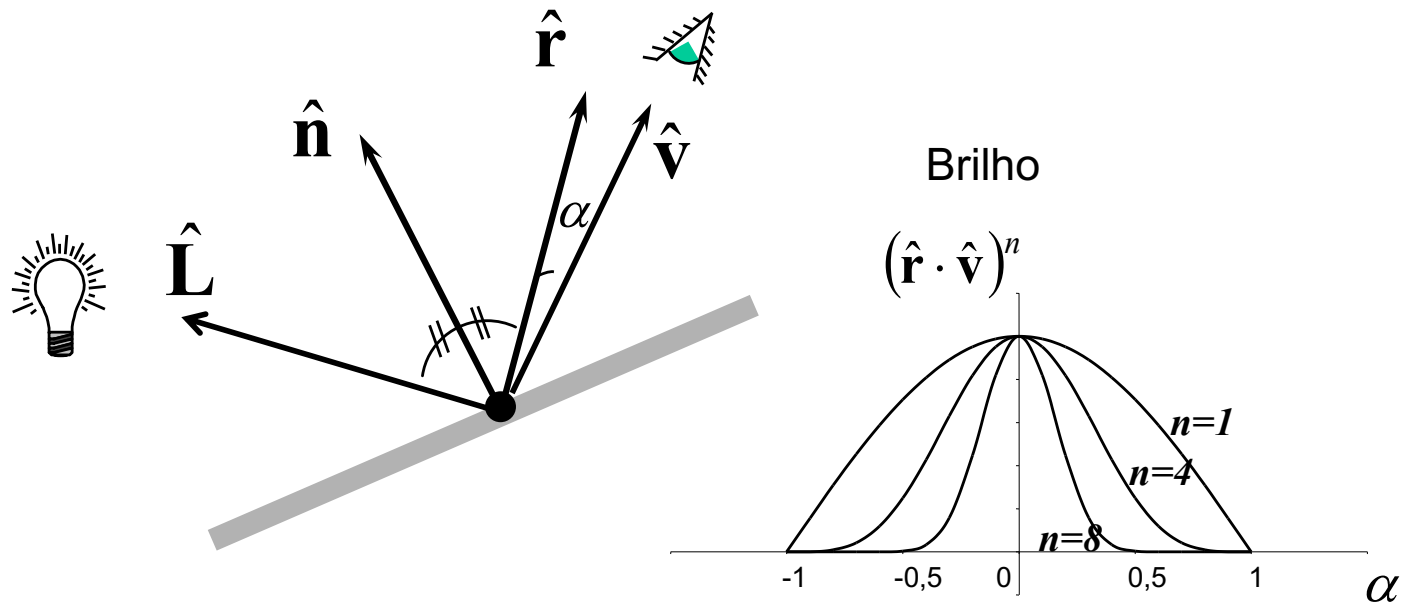
$$\begin{pmatrix} I_r \\ I_g \\ I_b \end{pmatrix} = \begin{pmatrix} l_r \\ l_g \\ l_b \end{pmatrix} \otimes \begin{pmatrix} k_{dr} \\ k_{dg} \\ k_{db} \end{pmatrix} (\hat{\mathbf{n}} \cdot \hat{\mathbf{L}})$$



$$\begin{pmatrix} I_r \\ I_g \\ I_b \end{pmatrix} = \begin{pmatrix} I_{ar} \\ I_{ag} \\ I_{ab} \end{pmatrix} \otimes \begin{pmatrix} k_{dr} \\ k_{dg} \\ k_{db} \end{pmatrix} + \begin{pmatrix} l_r \\ l_g \\ l_b \end{pmatrix} \otimes \begin{pmatrix} k_{dr} \\ k_{dg} \\ k_{db} \end{pmatrix} (\hat{\mathbf{n}} \cdot \hat{\mathbf{L}})$$



# Componente de reflexão especular

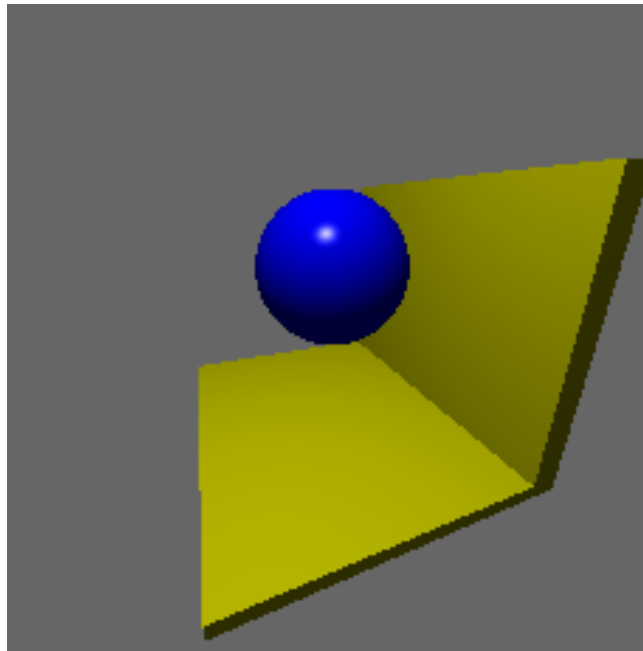


$$\begin{pmatrix} I_r \\ I_g \\ I_b \end{pmatrix}_{\text{especular}} = \begin{pmatrix} l_r k_{sr} (\cos \alpha)^n \\ l_g k_{sg} (\cos \alpha)^n \\ l_b k_{sb} (\cos \alpha)^n \end{pmatrix}$$

**Eq.2**

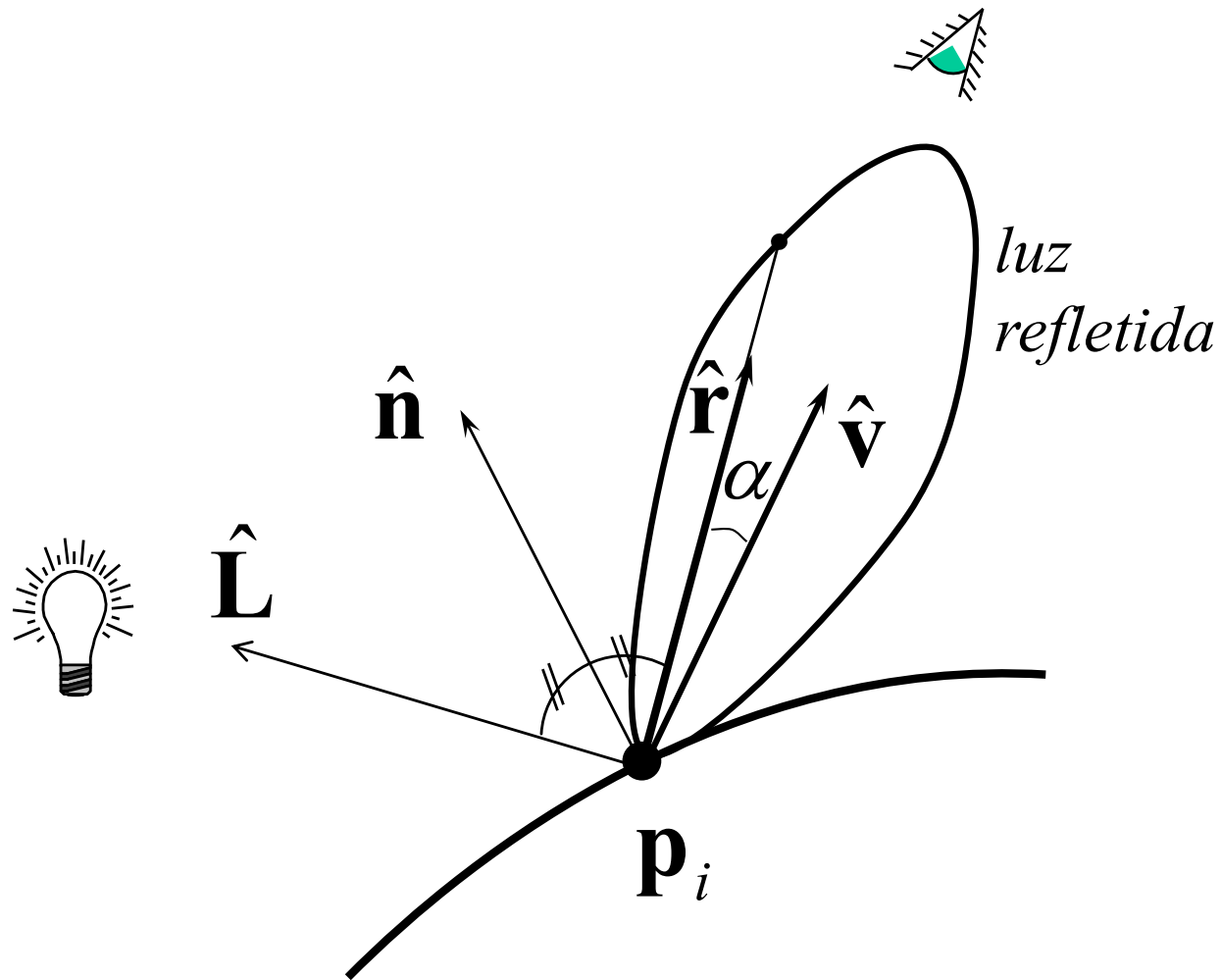
$$I, l, k \in [0, 1]$$

# Reflexão especular

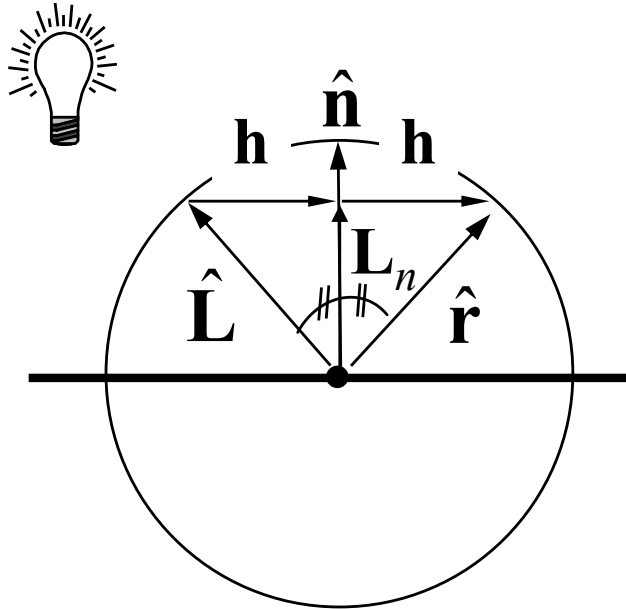


$$\begin{pmatrix} I_r \\ I_g \\ I_b \end{pmatrix} = \begin{pmatrix} I_{ar} \\ I_{ag} \\ I_{ab} \end{pmatrix} \otimes \begin{pmatrix} k_{dr} \\ k_{dg} \\ k_{db} \end{pmatrix} + \begin{pmatrix} l_r \\ l_g \\ l_b \end{pmatrix} \otimes \begin{pmatrix} k_{dr} \\ k_{dg} \\ k_{db} \end{pmatrix} (\hat{\mathbf{n}} \cdot \hat{\mathbf{L}}) + \begin{pmatrix} l_r \\ l_g \\ l_b \end{pmatrix} \otimes \begin{pmatrix} k_{sr} \\ k_{sg} \\ k_{sb} \end{pmatrix} (\hat{\mathbf{r}} \cdot \hat{\mathbf{v}})^n$$

# Reflexão especular



# Cálculo da reflexão de um vetor sobre outros



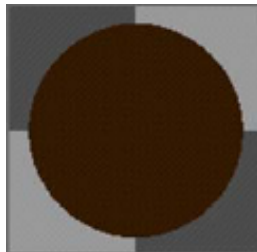
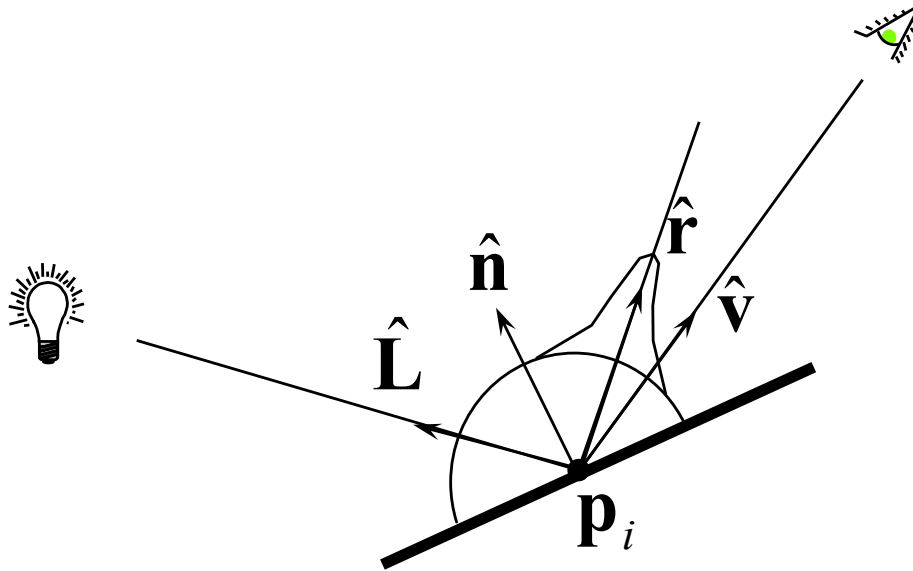
$$\mathbf{L}_n = (\hat{\mathbf{L}} \cdot \hat{\mathbf{n}})\hat{\mathbf{n}}$$

$$\mathbf{h} = \mathbf{L}_n - \mathbf{L}$$

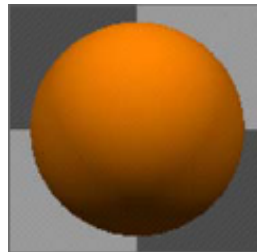
$$\hat{\mathbf{r}} = \mathbf{L}_n + \mathbf{h}$$

$$\hat{\mathbf{r}} = 2(\hat{\mathbf{L}} \cdot \hat{\mathbf{n}})\hat{\mathbf{n}} - \hat{\mathbf{L}}$$

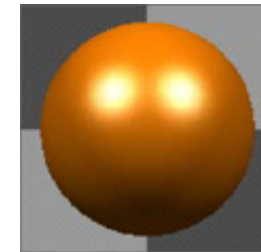
# Distribuição da luz direta sobre um ponto



Ambient



Diffuse



Specular

$$C_{\lambda} = C_{amb_{\lambda}} + C_{luz_{\lambda}} k_{dif_{\lambda}} (\hat{\mathbf{n}} \cdot \hat{\mathbf{L}}) + C_{luz_{\lambda}} k_{s\lambda} (\hat{\mathbf{r}} \cdot \hat{\mathbf{v}})^n$$

# Modelo de várias luzes

$$\begin{pmatrix} I_r \\ I_g \\ I_b \end{pmatrix} = \begin{pmatrix} I_{ar} \\ I_{ag} \\ I_{ab} \end{pmatrix} \otimes \begin{pmatrix} k_{dr} \\ k_{dg} \\ k_{db} \end{pmatrix} + \sum_{\text{luzes}} \left( \begin{pmatrix} l_r \\ l_g \\ l_b \end{pmatrix} \otimes \begin{pmatrix} k_{dr} \\ k_{dg} \\ k_{db} \end{pmatrix} (\hat{\mathbf{n}} \cdot \hat{\mathbf{L}}) + \begin{pmatrix} l_r \\ l_g \\ l_b \end{pmatrix} \otimes \begin{pmatrix} k_{sr} \\ k_{sg} \\ k_{sb} \end{pmatrix} (\hat{\mathbf{r}} \cdot \hat{\mathbf{v}})^n \right)$$

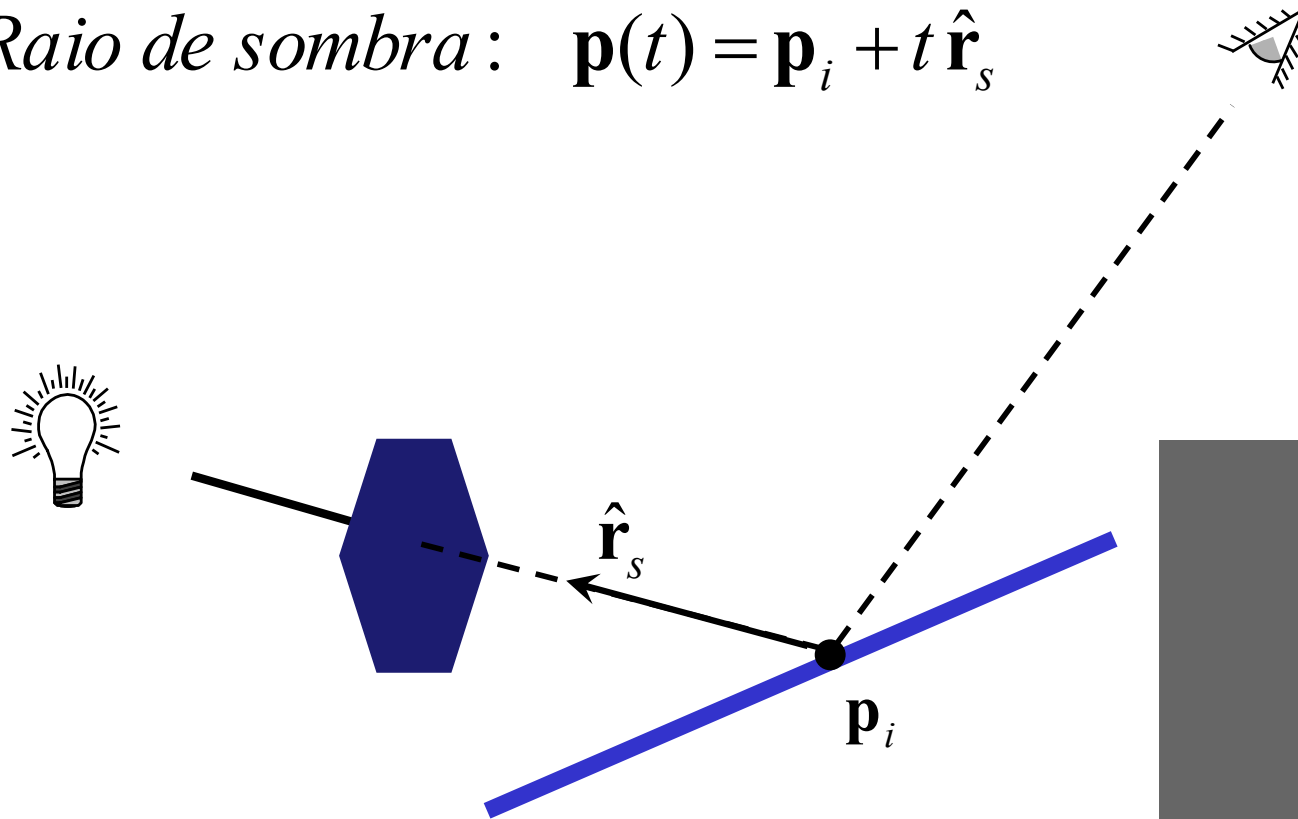
$$\hat{\mathbf{r}} = 2(\hat{\mathbf{L}} \cdot \hat{\mathbf{n}})\hat{\mathbf{n}} - \hat{\mathbf{L}} \quad \text{para cada fonte de luz}$$

$$\hat{\mathbf{r}}_r = 2(\hat{\mathbf{v}} \cdot \hat{\mathbf{n}})\hat{\mathbf{n}} - \hat{\mathbf{v}} \quad \text{uma reflexão apenas}$$

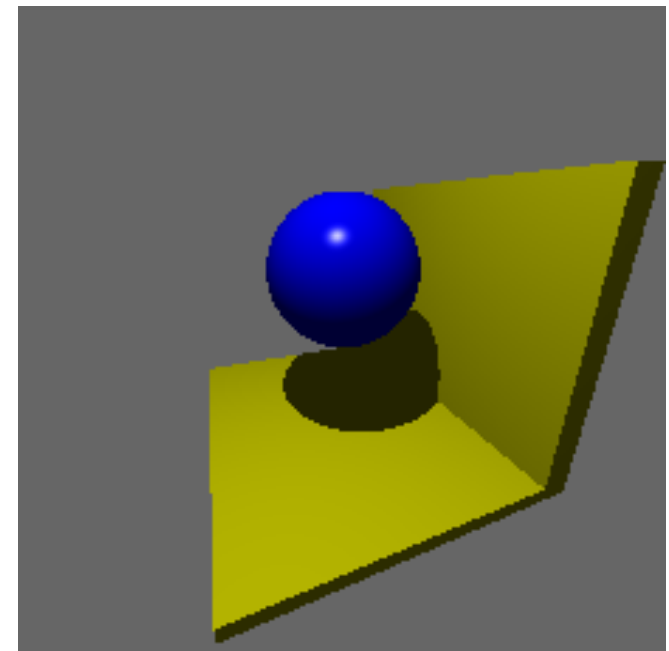
$$\begin{pmatrix} I_r \\ I_g \\ I_b \end{pmatrix} = \begin{pmatrix} I_{ar} \\ I_{ag} \\ I_{ab} \end{pmatrix} \otimes \begin{pmatrix} k_{dr} \\ k_{dg} \\ k_{db} \end{pmatrix} + \sum_{\text{luzes}} \left( \begin{pmatrix} l_r \\ l_g \\ l_b \end{pmatrix} \otimes \begin{pmatrix} k_{dr} \\ k_{dg} \\ k_{db} \end{pmatrix} (\hat{\mathbf{n}} \cdot \hat{\mathbf{L}}) + \begin{pmatrix} l_r \\ l_g \\ l_b \end{pmatrix} \otimes \begin{pmatrix} k_{sr} \\ k_{sg} \\ k_{sb} \end{pmatrix} (\hat{\mathbf{r}}_r \cdot \hat{\mathbf{L}})^n \right)$$

# Sombra

*Raio de sombra:*  $\mathbf{p}(t) = \mathbf{p}_i + t \hat{\mathbf{r}}_s$



A luz não chega a superfície



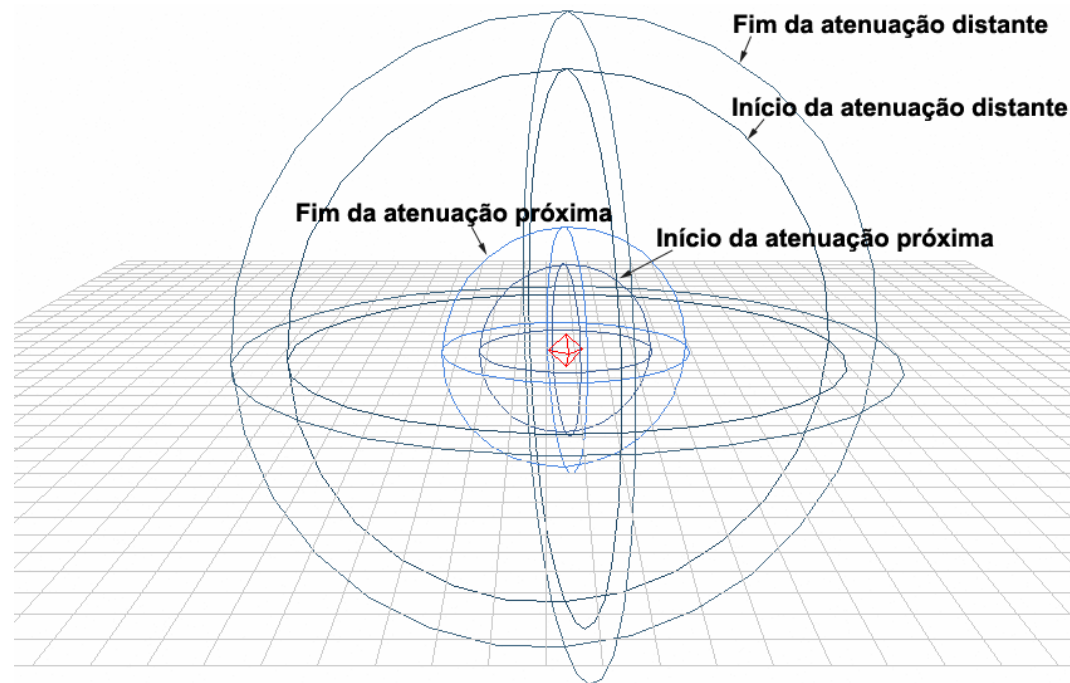


# Modelo de várias luzes e sombra

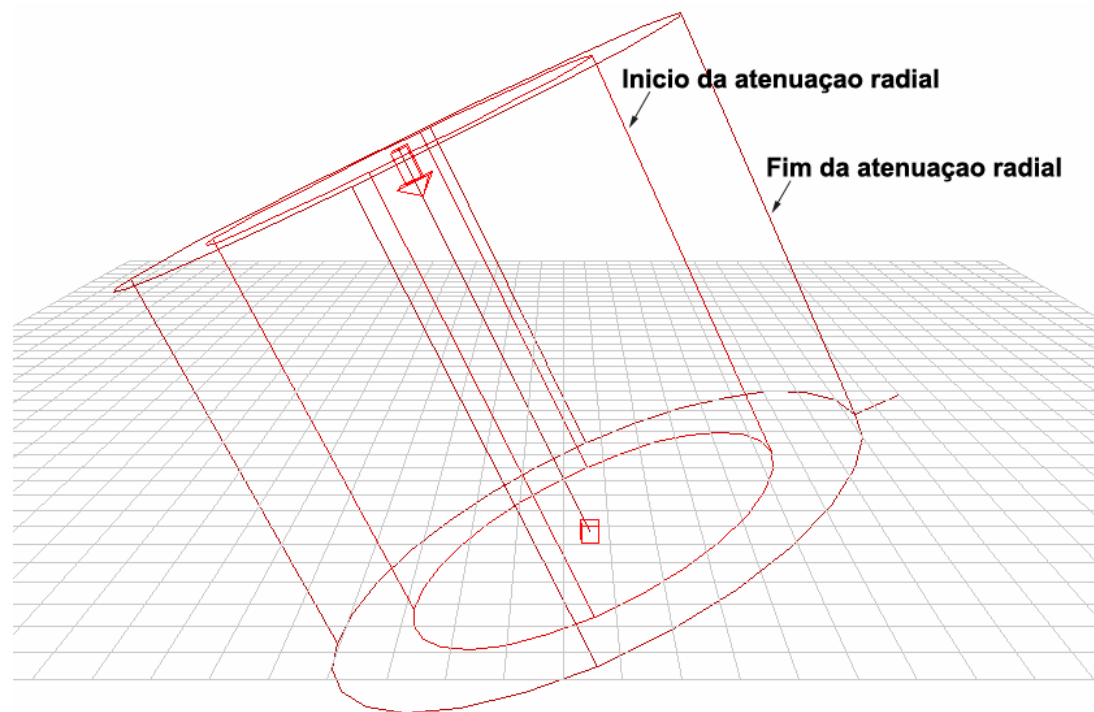
$$\begin{pmatrix} I_r \\ I_g \\ I_b \end{pmatrix} = \begin{pmatrix} I_{ar} \\ I_{ag} \\ I_{ab} \end{pmatrix} \otimes \begin{pmatrix} k_{dr} \\ k_{dg} \\ k_{db} \end{pmatrix} + \sum_{\text{luzes}} f_s \left( \begin{pmatrix} l_r \\ l_g \\ l_b \end{pmatrix} \otimes \begin{pmatrix} k_{dr} \\ k_{dg} \\ k_{db} \end{pmatrix} (\hat{\mathbf{n}} \cdot \hat{\mathbf{L}}) + \begin{pmatrix} l_r \\ l_g \\ l_b \end{pmatrix} \otimes \begin{pmatrix} k_{sr} \\ k_{sg} \\ k_{sb} \end{pmatrix} (\hat{\mathbf{r}} \cdot \hat{\mathbf{L}})^n \right)$$

$$f_s = \begin{cases} 0 & \text{se sombra} \\ 1 & \text{caso contrário} \end{cases}$$

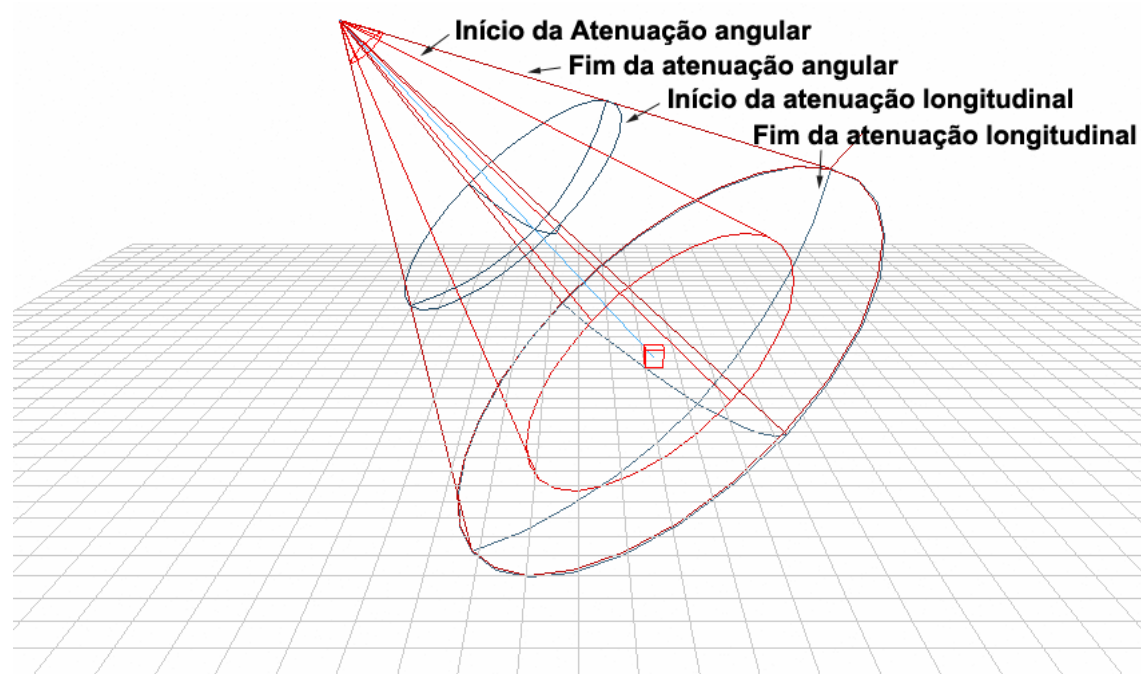
# Fontes de luz especiais: Onidirecional



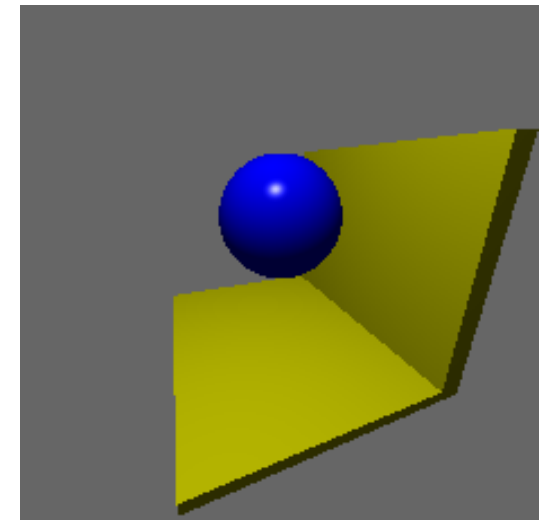
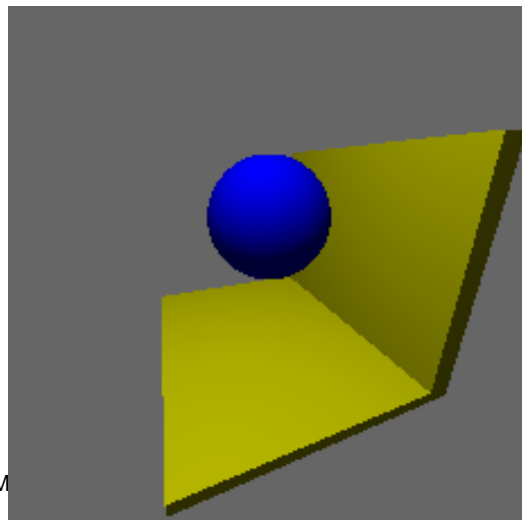
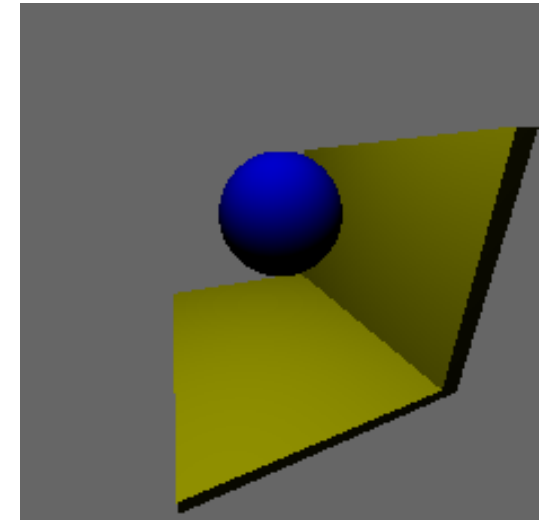
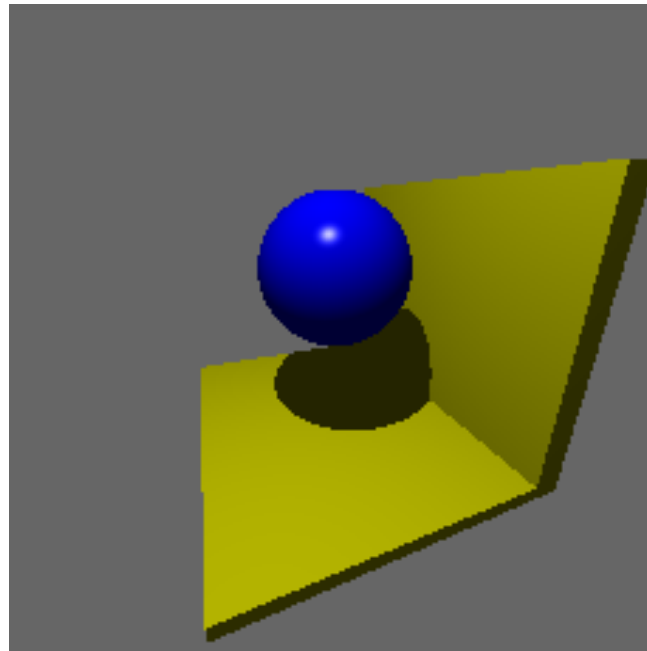
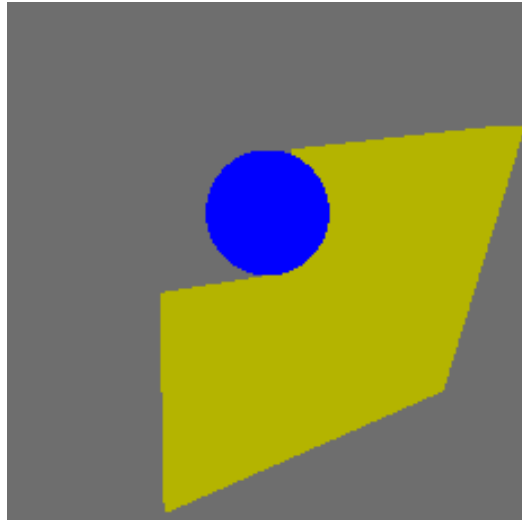
# Fontes de luz especiais: Direcional



# Fontes de luz especiais: Farolete

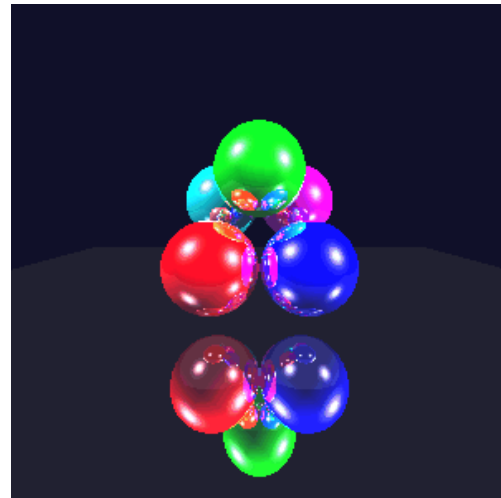
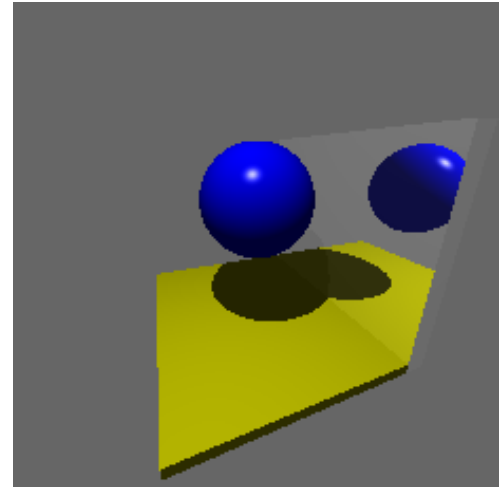
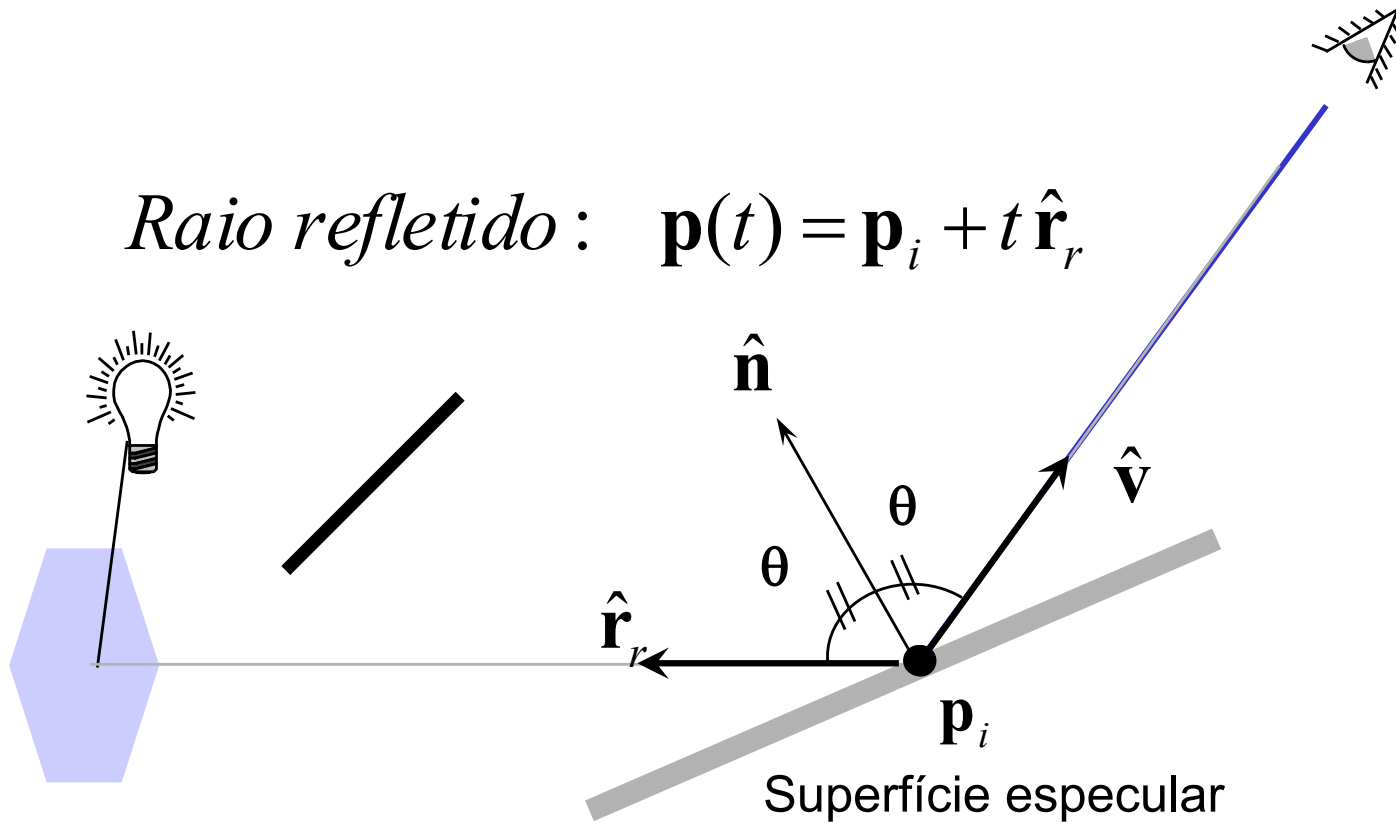


# Uma revisão



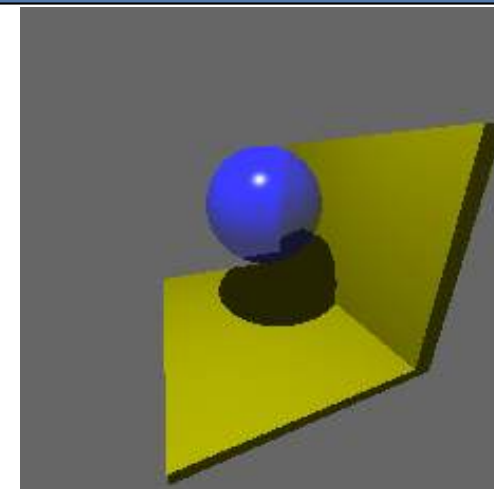
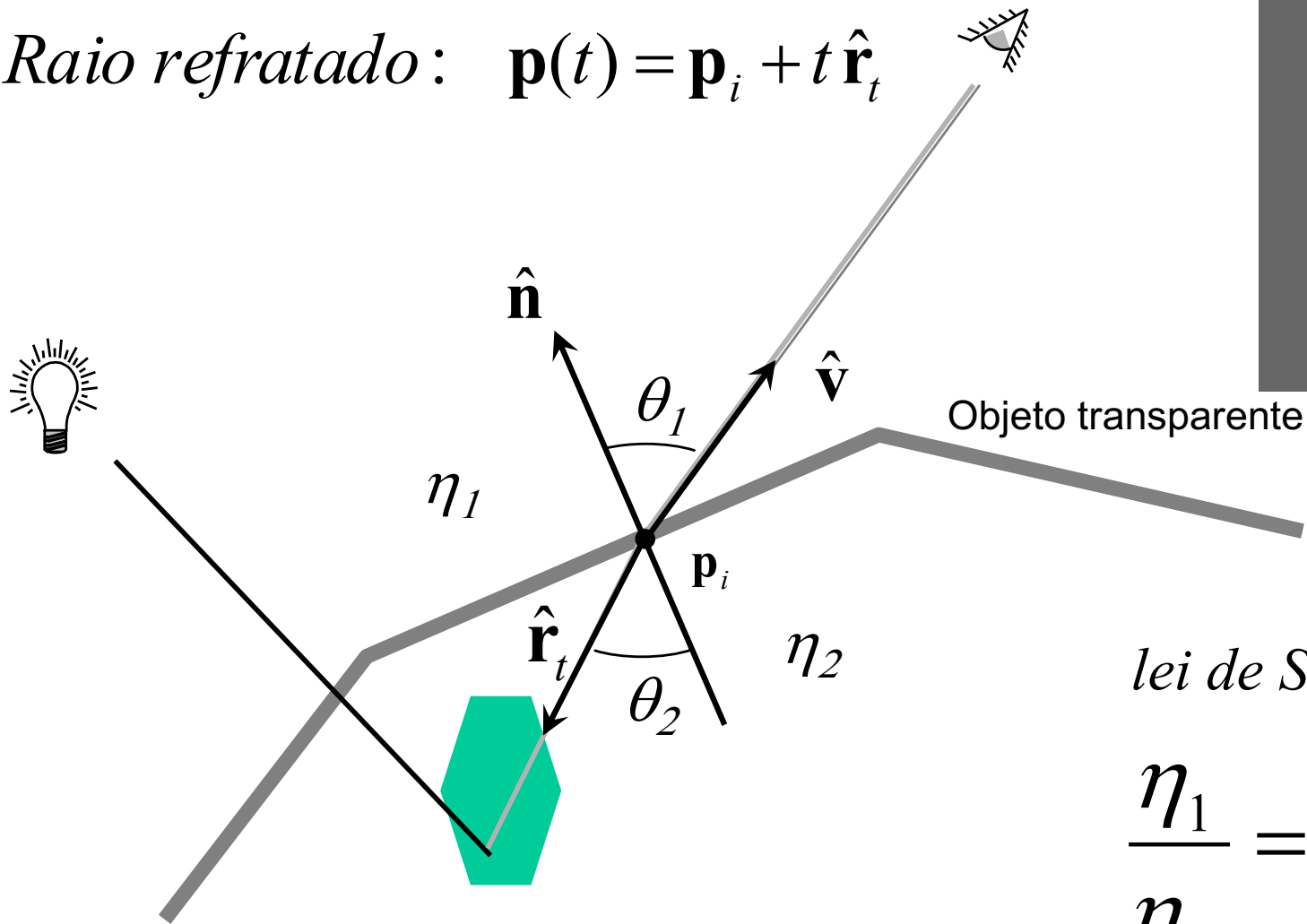
# Reflexão de outros objetos

*Raio refletido:*  $\mathbf{p}(t) = \mathbf{p}_i + t \hat{\mathbf{r}}_r$



# Transparência

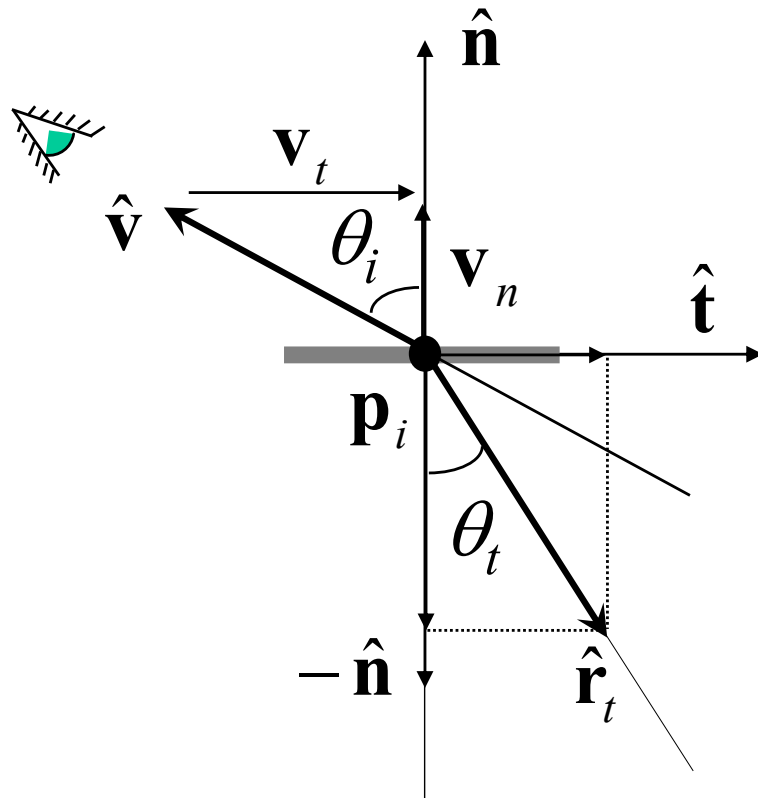
Raio refratado:  $\mathbf{p}(t) = \mathbf{p}_i + t \hat{\mathbf{r}}_t$



lei de Snell

$$\frac{\eta_1}{\eta_2} = \frac{\sin \theta_2}{\sin \theta_1}$$

# Cálculo do Raio Refratado



$$\mathbf{v}_t = (\hat{\mathbf{v}} \cdot \hat{\mathbf{n}})\hat{\mathbf{n}} - \hat{\mathbf{v}}$$

$$\sin \theta_i = \|\mathbf{v}_t\|$$

$$\sin \theta_t = \frac{\eta_i}{\eta_t} \sin \theta_i$$

$$\cos \theta_t = \sqrt{1 - \sin^2 \theta_t}$$

$$\hat{\mathbf{t}} = \frac{1}{\|\mathbf{v}_t\|} \mathbf{v}_t$$

$$\mathbf{r}_t = \sin \theta_t \hat{\mathbf{t}} + \cos \theta_t (-\hat{\mathbf{n}})$$

$$\text{Raio refratado: } \mathbf{p}(t) = \mathbf{p}_i + t \hat{\mathbf{r}}_t$$



# Advertência: Refração não é simples!



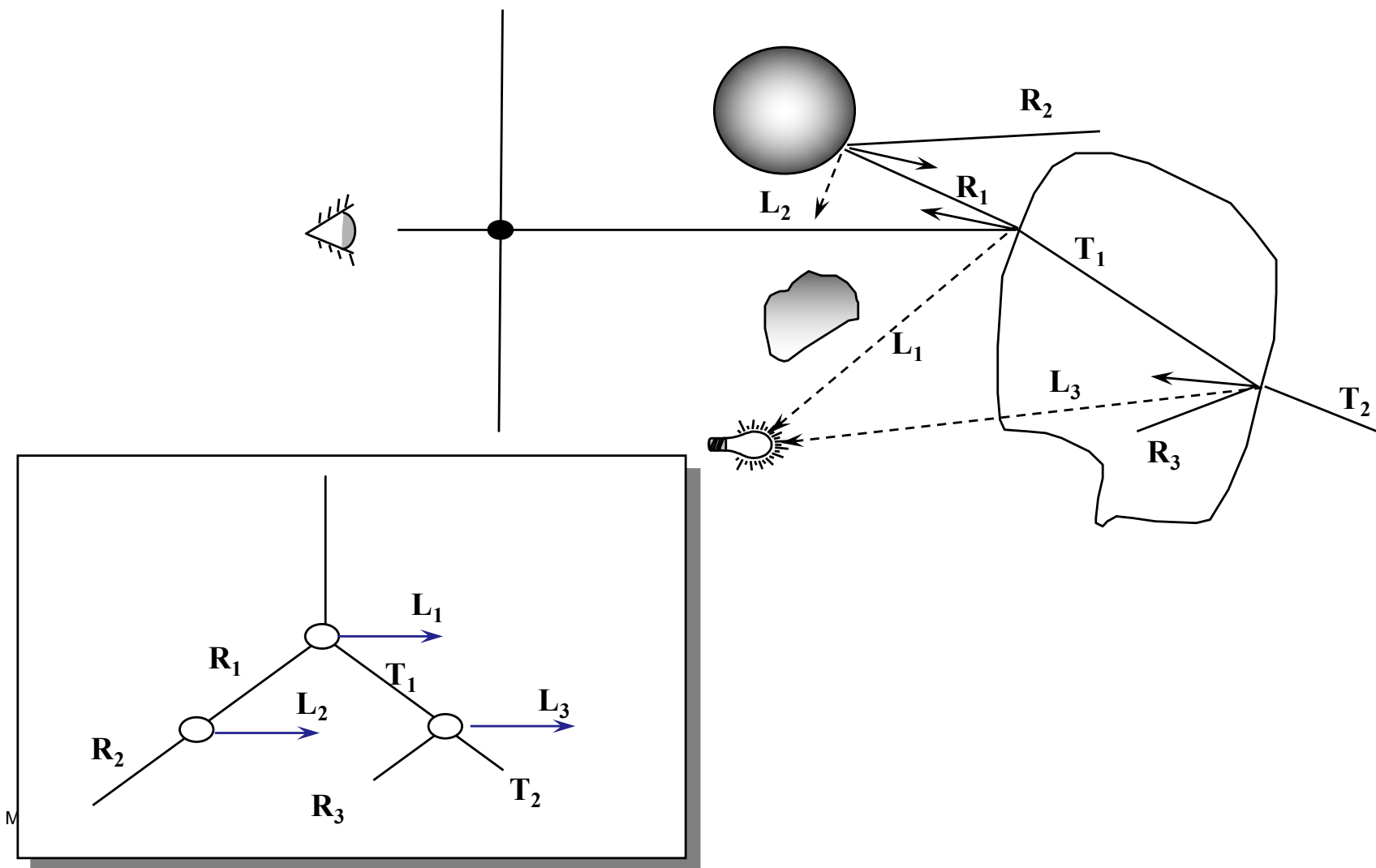
# Iluminação considerando superfícies refletoras e objetos transparentes

$$\begin{pmatrix} I_r \\ I_g \\ I_b \end{pmatrix} = \begin{pmatrix} I_{ar} \\ I_{ag} \\ I_{ab} \end{pmatrix} \otimes \begin{pmatrix} k_{dr} \\ k_{dg} \\ k_{db} \end{pmatrix} + \sum_{\text{luzes}} f_s \left( \begin{pmatrix} l_r \\ l_g \\ l_b \end{pmatrix} \otimes \begin{pmatrix} k_{dr} \\ k_{dg} \\ k_{db} \end{pmatrix} (\hat{\mathbf{n}} \cdot \hat{\mathbf{L}}) + \begin{pmatrix} l_r \\ l_g \\ l_b \end{pmatrix} \otimes \begin{pmatrix} k_{sr} \\ k_{sg} \\ k_{sb} \end{pmatrix} (\hat{\mathbf{r}}_r \cdot \hat{\mathbf{L}})^n \right) + k \begin{pmatrix} I_r(\mathbf{r}_r) \\ I_g(\mathbf{r}_r) \\ I_b(\mathbf{r}_r) \end{pmatrix} + (1-o) \begin{pmatrix} I_r(\mathbf{r}_t) \\ I_g(\mathbf{r}_t) \\ I_b(\mathbf{r}_t) \end{pmatrix}$$

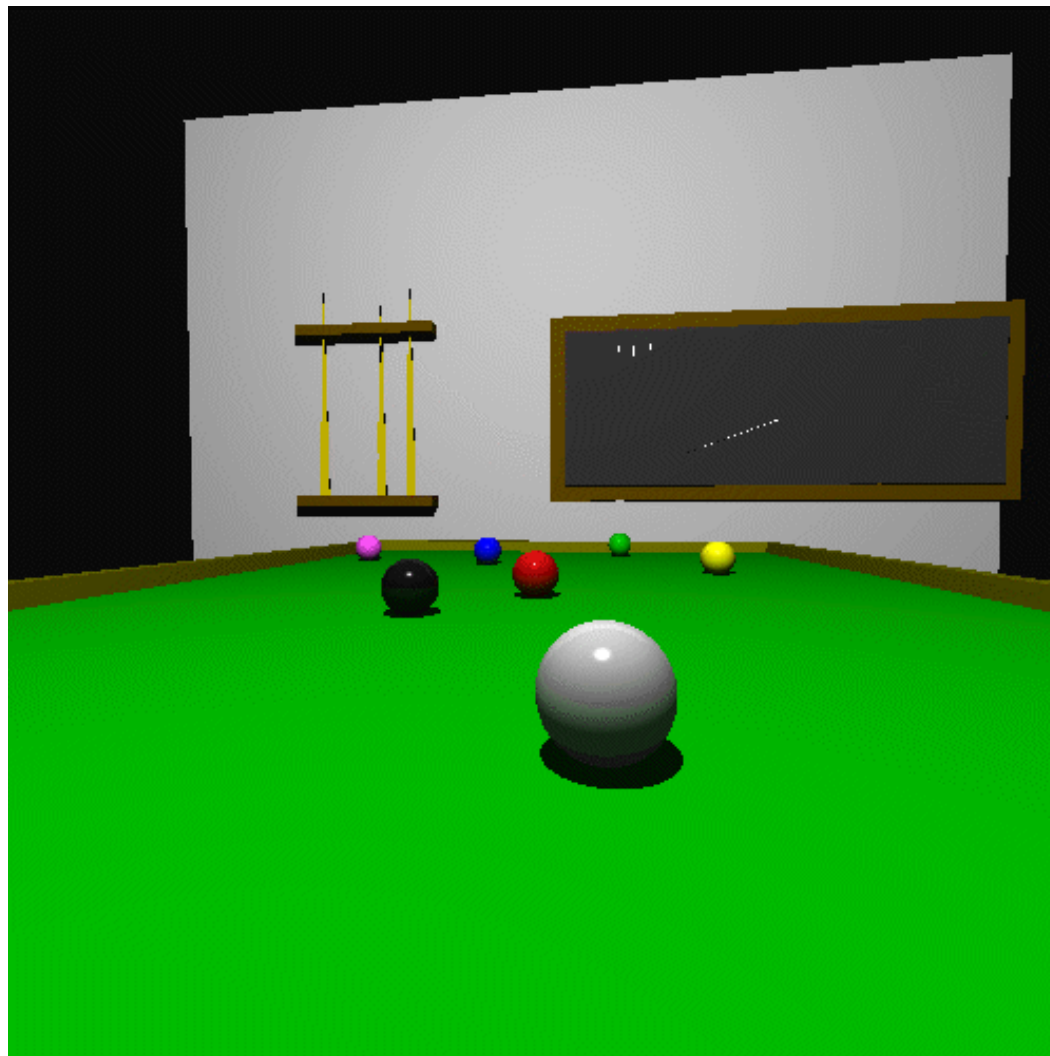
redução da  
reflexão

redução da  
transparência

# Natureza recursiva do algoritmo de Rastreamento de Raios



# Resultado de curso



# Algoritmo de traçado de raios

```
selecione o centro de projeção(eye) e uma janela no plano de projeção  
for (cada pixel da tela)  
{  
  determine o raio ray que vai do centro de projeção ao pixel;  
  pixel = trace ( ray, 1);  
}
```

```
Color trace (Scene scene, Vector3d eye, Vector3d ray, int depth)  
{  
  determine a interseção mais próxima com um objeto  
  if (intercepta objeto)  
  {  
    calcule a normal no ponto de interseção  
    return ( shade ( scene, object, ray, point, normal, depth));  
  }  
  return BACKGROUND;  
}
```

```

Color shade (Scene scene, Object object, Vector3D ray,
              Vector3D point, Vector3D normal, int depth)
{
    color = termo ambiente do material do objeto ;

    for (cada luz) {
        L = vetor unitário na direção de point para a posição da luz;
        if (L • normal > 0) {
            if (a luz não for bloqueada no ponto) {
                color += componente difusa (Eq.1) + componente especular (Eq.2)
            } }

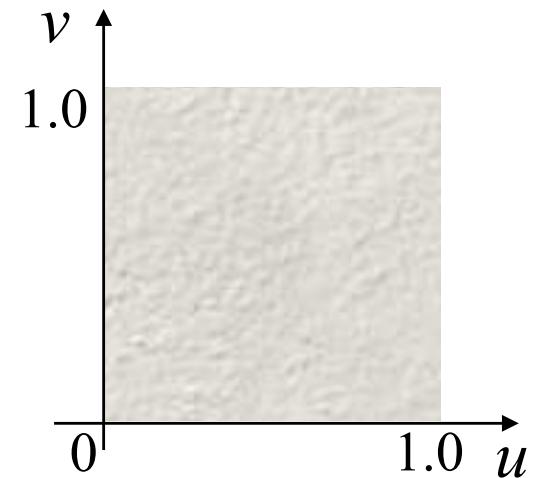
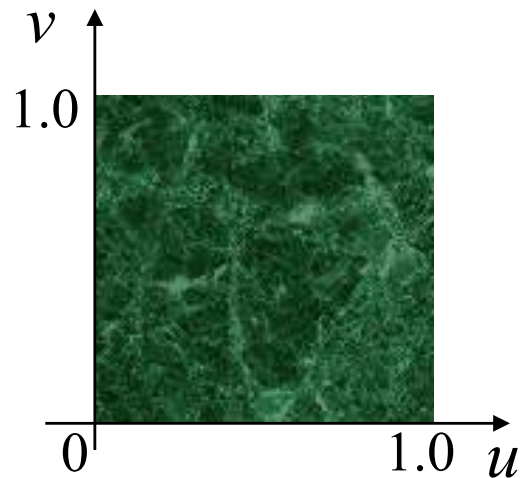
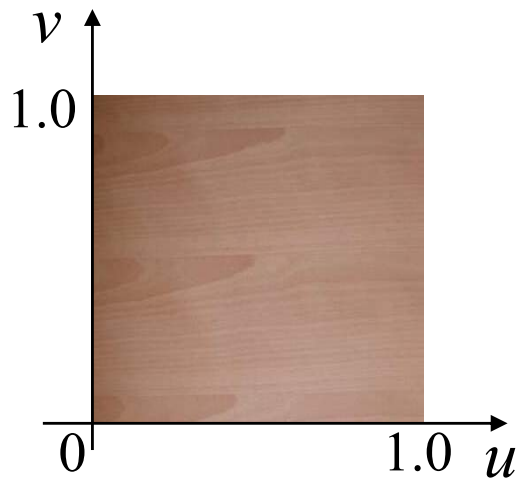
        if (depth >= maxDepth) return color;

        if (objeto é refletor) {
            rRay = raio na direção de reflexão;
            rColor = trace(scene, point, rRay, depth+1);
            reduza rColor pelo coeficiente de reflexão especular e some a color; }

    return color;
}

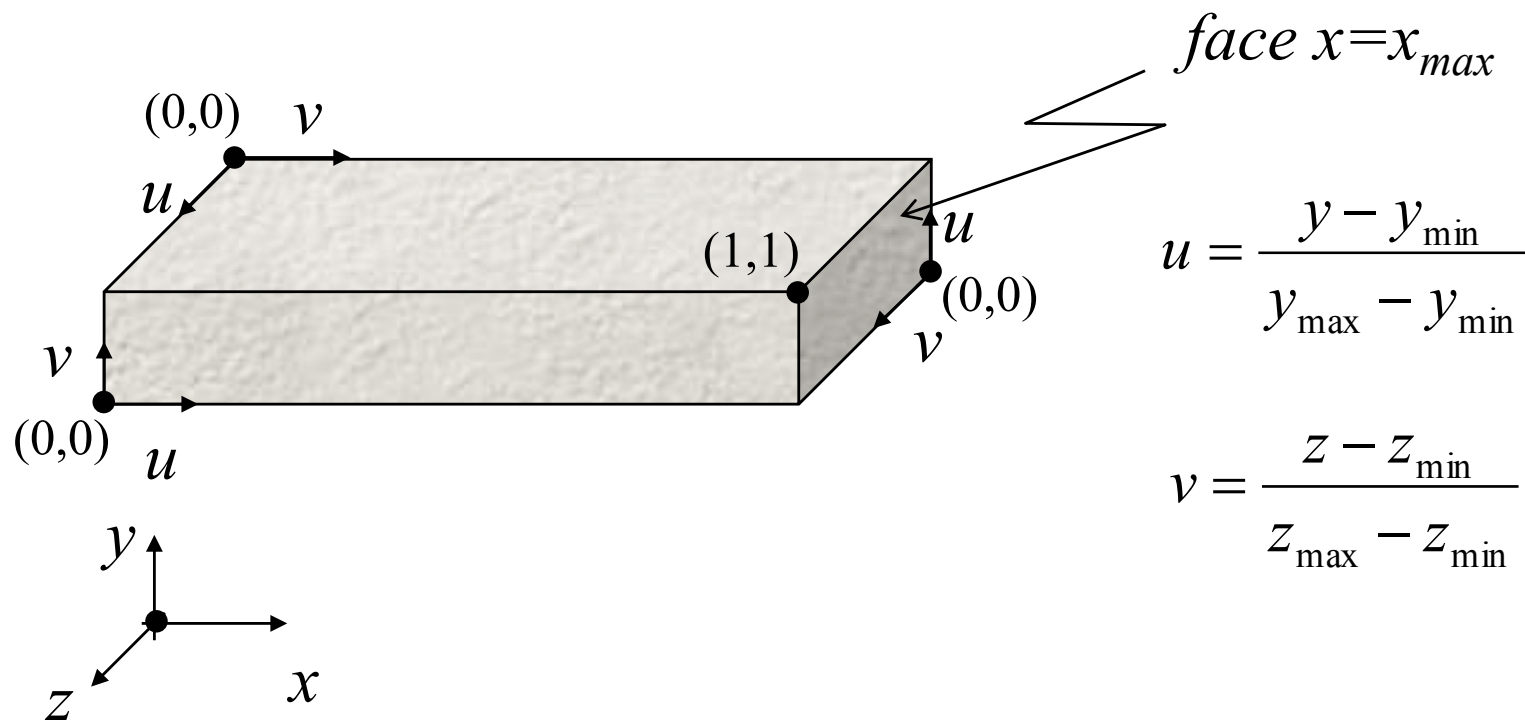
```

# Texturas



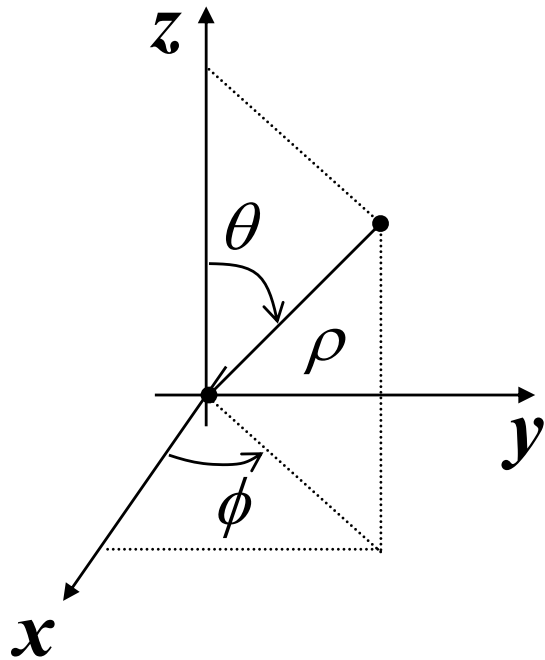
*Texturas 2D = Imagens onde o domínio é  $u, v \in [0,1] \times [0,1] \subset \mathbb{R}^2$*

# Sistemas de coordenada de textura na caixa





# Sistema de coordenada de textura na esfera



$$z = \rho \cos \theta$$
$$x = \rho \sin \theta \cos \phi$$
$$y = \rho \sin \theta \sin \phi$$

$$\tan \phi = y / x$$

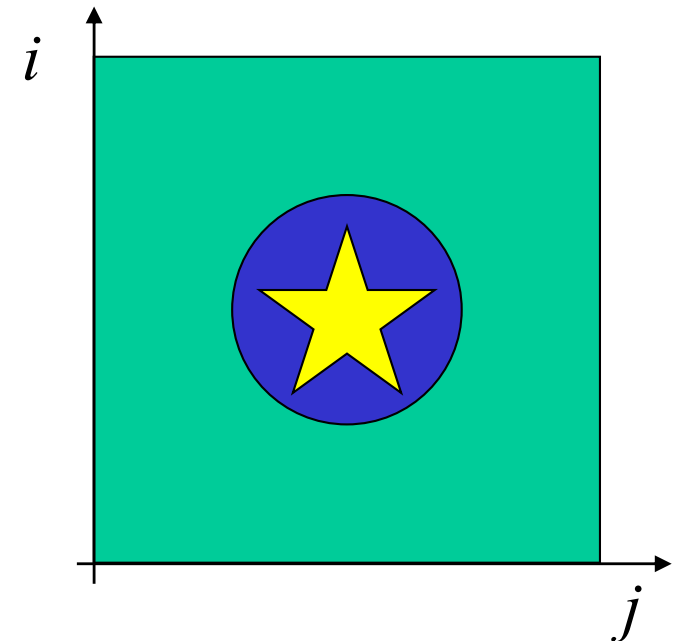
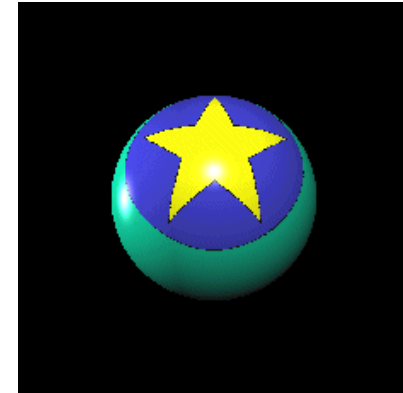
$$\tan \theta = \frac{\sqrt{x^2 + y^2}}{z}$$

$$u = 1 + \phi / \pi$$

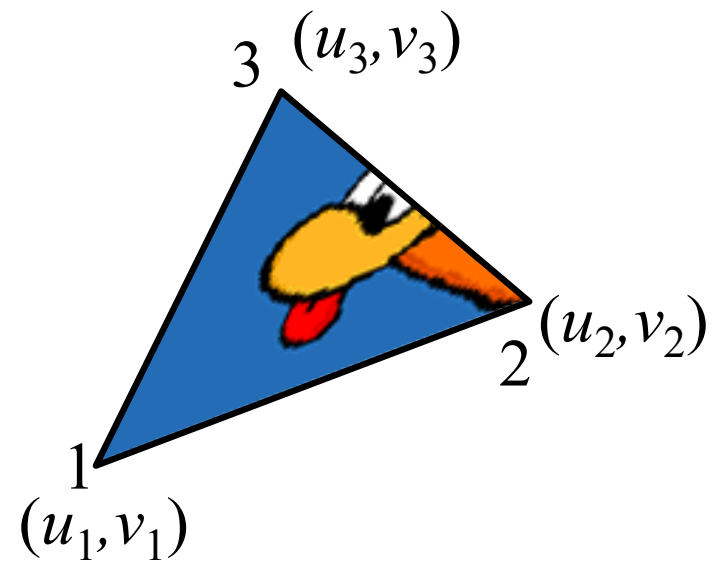
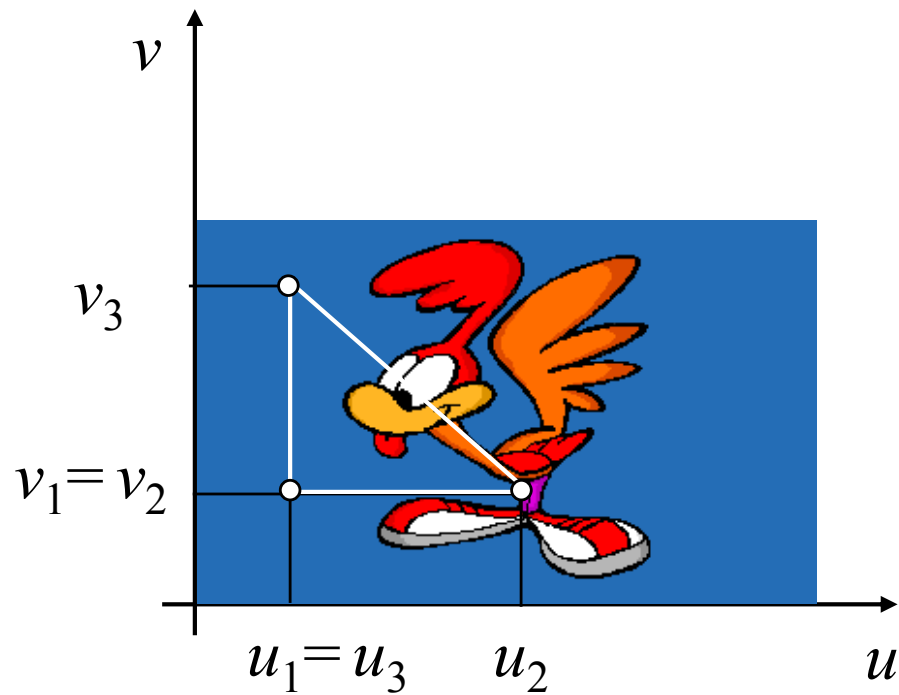
$$v = 1 - \theta / \pi$$

$$i = v(h - 1)$$

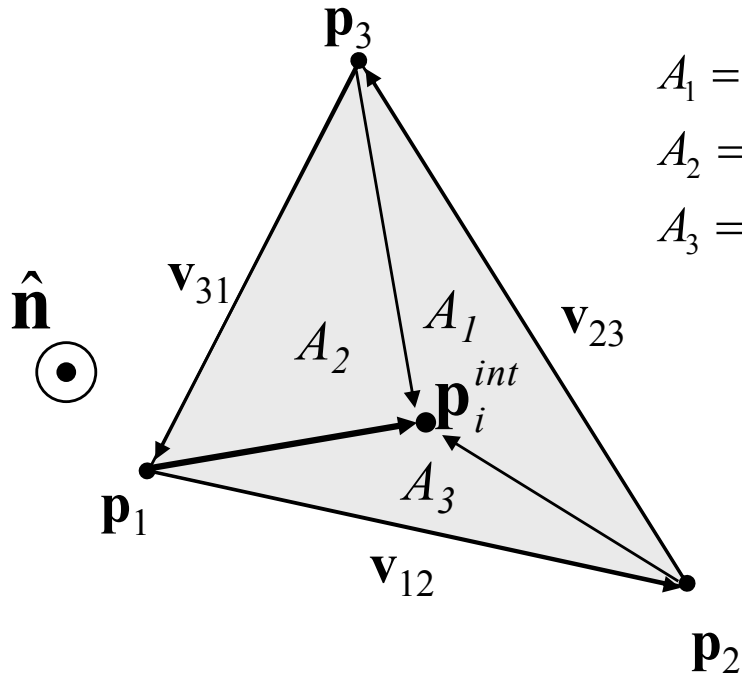
$$j = u(w - 1)$$



# Sistema de coordenada de textura no triângulo



# Textura no triângulo e coordenadas baricêntricas



$$A_1 = \hat{\mathbf{n}} \cdot (\mathbf{v}_{23} \times (\mathbf{p}_i - \mathbf{p}_2)) / 2$$

$$A_2 = \hat{\mathbf{n}} \cdot (\mathbf{v}_{31} \times (\mathbf{p}_i - \mathbf{p}_3)) / 2$$

$$A_3 = \hat{\mathbf{n}} \cdot (\mathbf{v}_{12} \times (\mathbf{p}_i - \mathbf{p}_1)) / 2$$

$$A_T = A_1 + A_2 + A_3$$

$$L_1 = A_1 / A_T$$

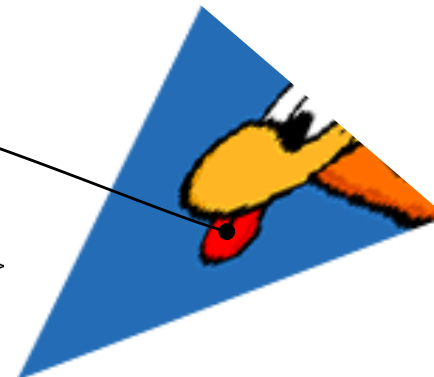
$$L_2 = A_2 / A_T$$

$$L_3 = A_3 / A_T$$

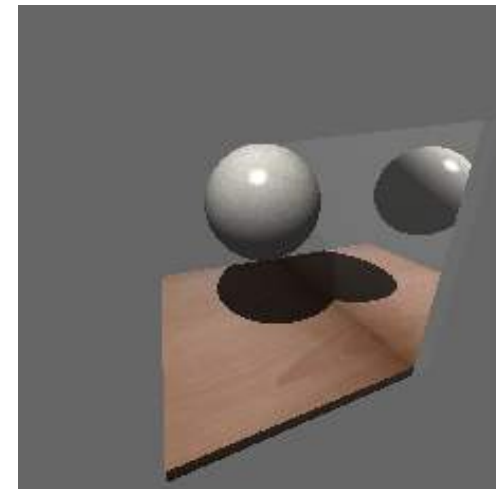
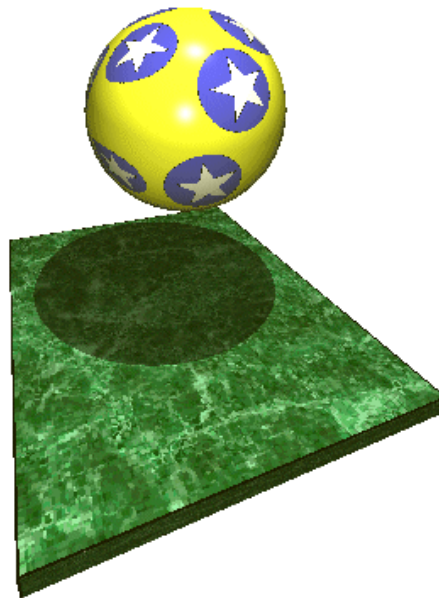
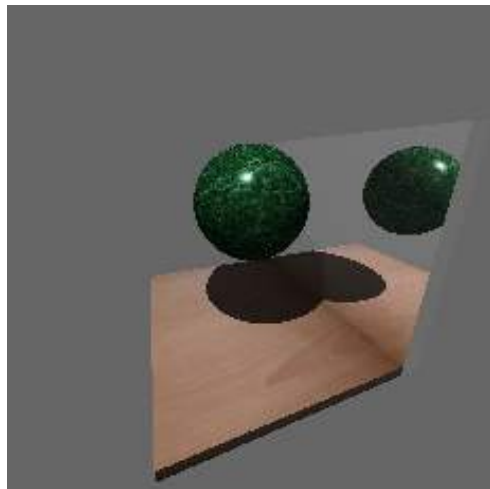
$$L_3 = 1 - (L_1 + L_2)$$



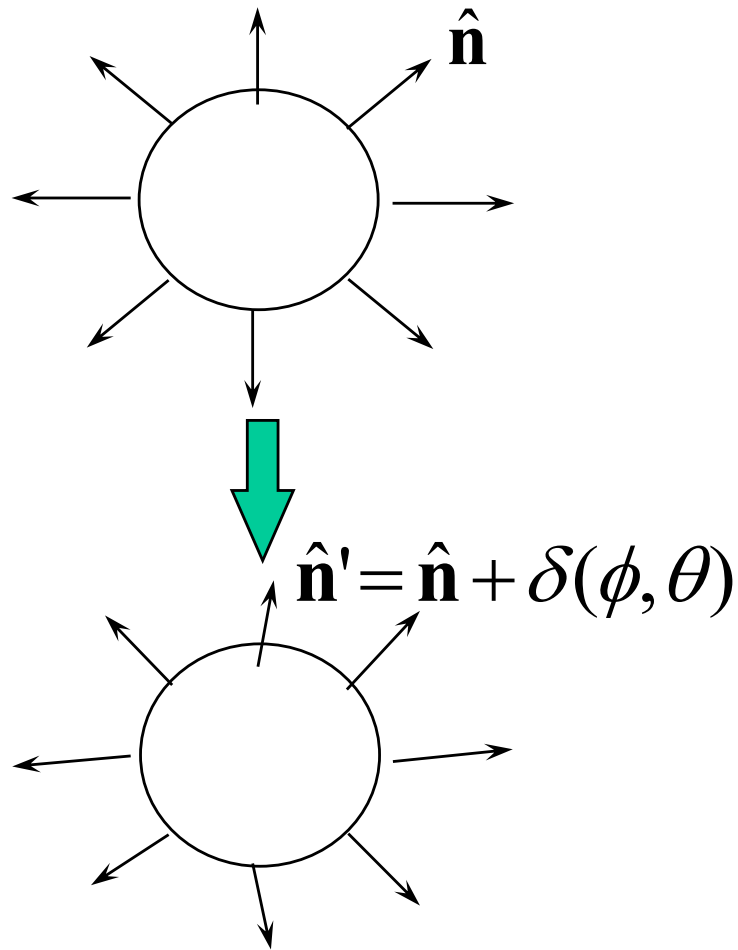
$$\begin{Bmatrix} u_i \\ v_i \end{Bmatrix} = L_1 \begin{Bmatrix} u_1 \\ v_1 \end{Bmatrix} + L_2 \begin{Bmatrix} u_2 \\ v_2 \end{Bmatrix} + L_3 \begin{Bmatrix} u_3 \\ v_3 \end{Bmatrix}$$



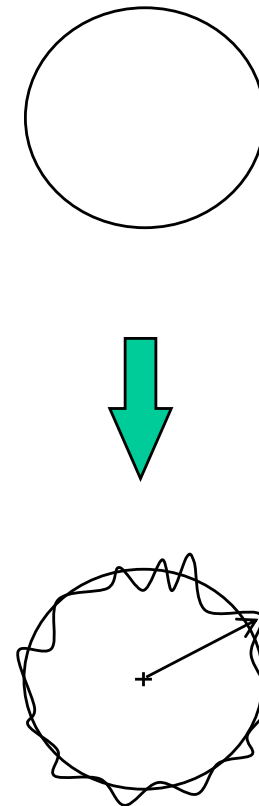
# Textura



# Texturas de rugosidade (*bump textures*) e Texturas de deslocamentos (*displacement mapping*)

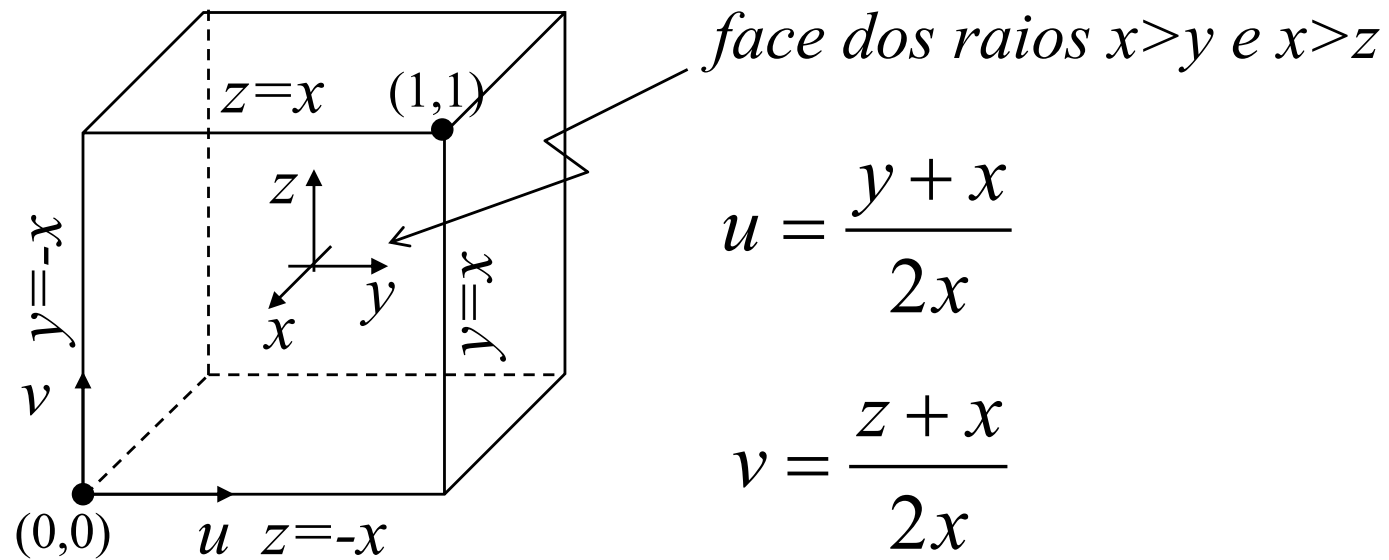


Pertubar aleatoriamente  
as normais dos objetos

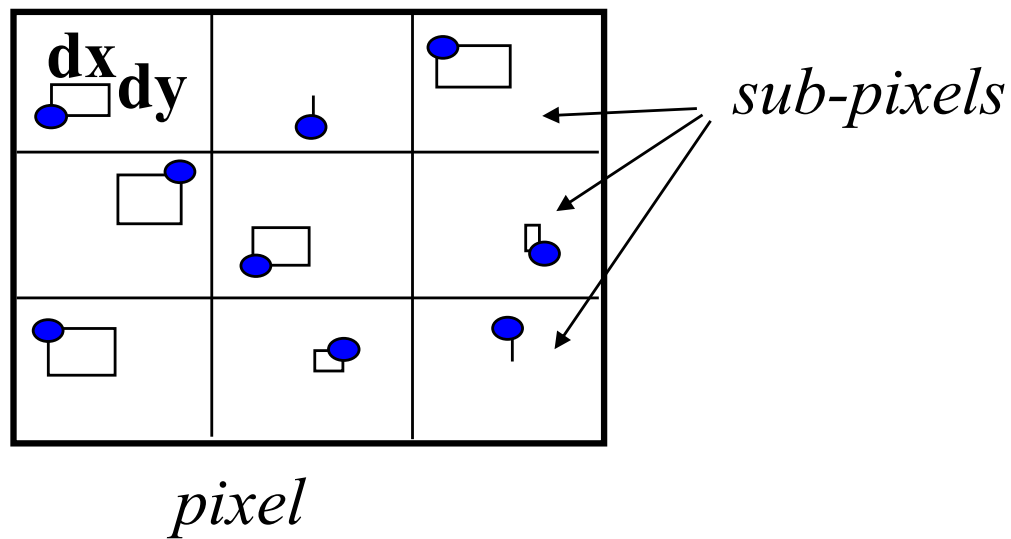


Pertubar aleatoriamente  
as posições dos pontos

# Textura ambiente (*environment maps*)



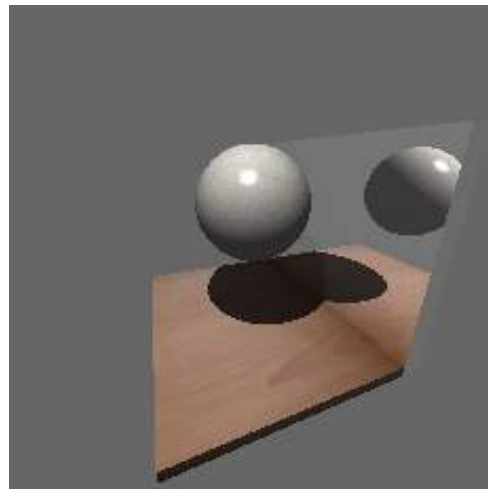
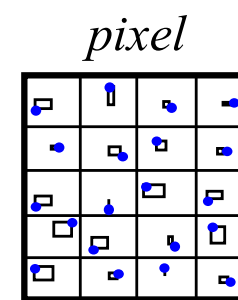
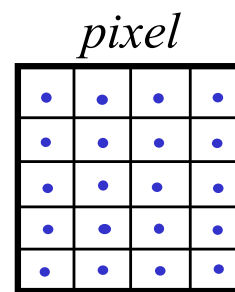
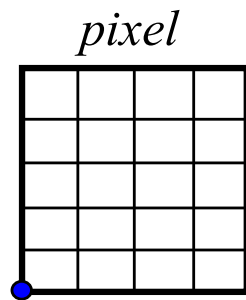
# Tratamento anti-alias



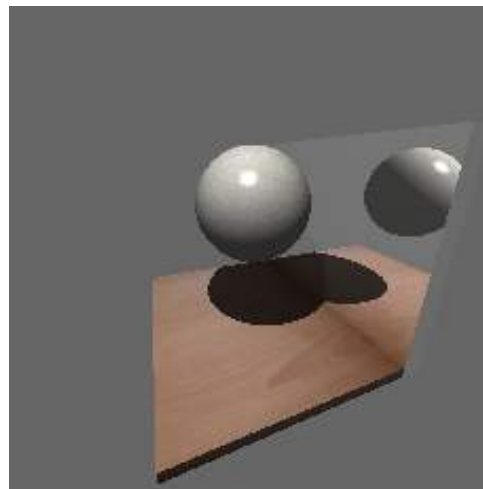
$dx, dy =$  variáveis randômicas

- Lance um raio para cada *sub-pixel*
- Faça uma média dos valores obtidos

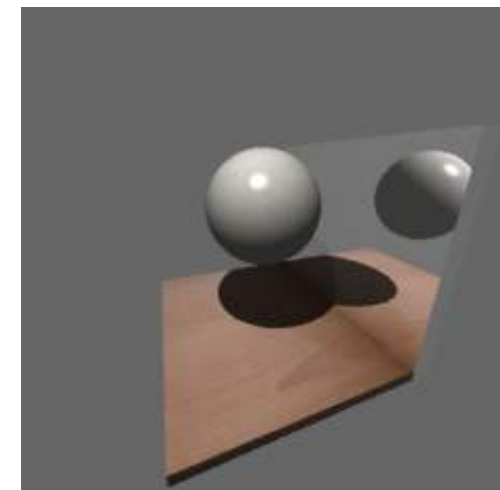
# Anti-alias



*(a) original*



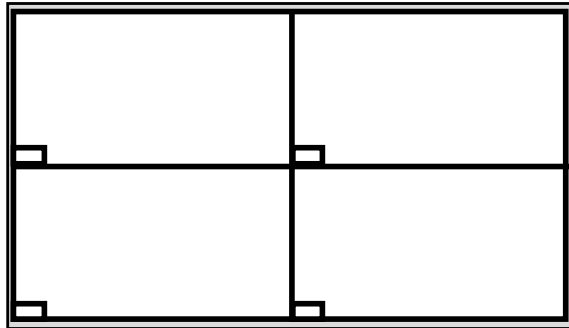
*(b) uniforme*



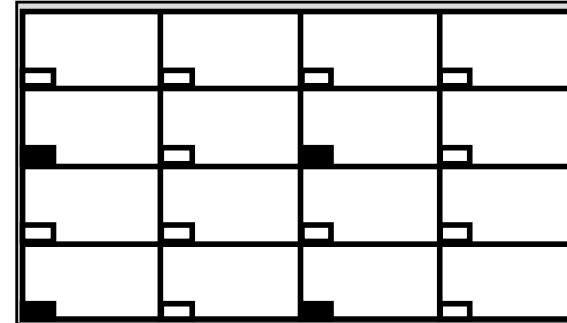
*(c) "jittered"*



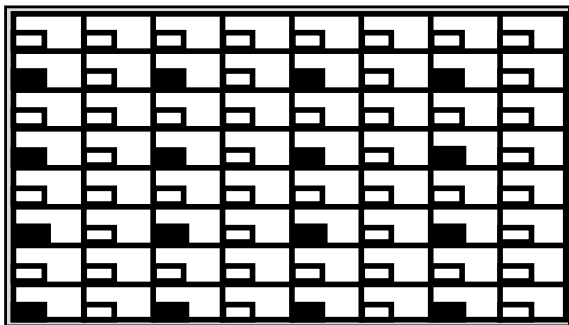
# Refinamento Progressivo



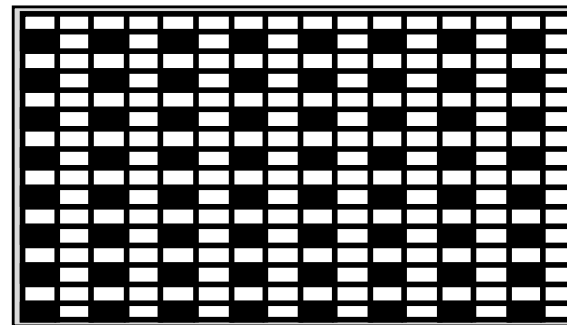
amostragem inicial



primeira subdivisão



segunda subdivisão

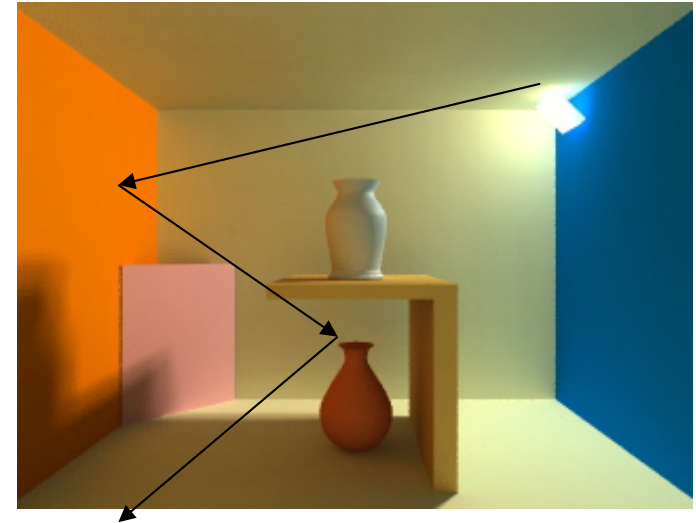
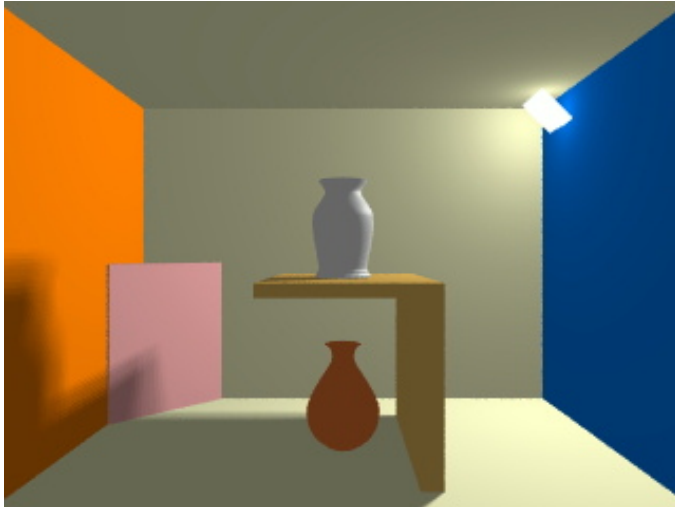


subdivisão final

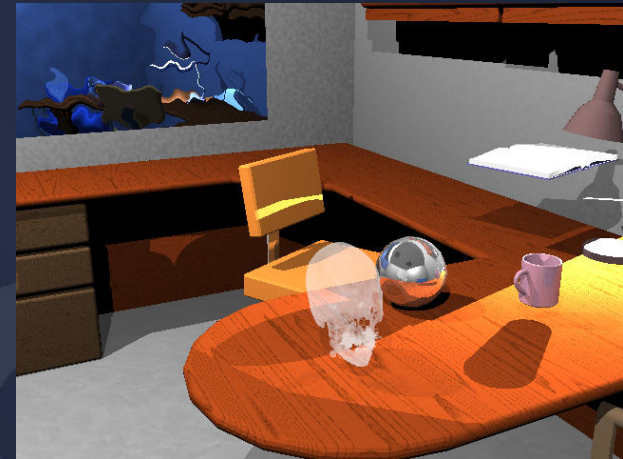
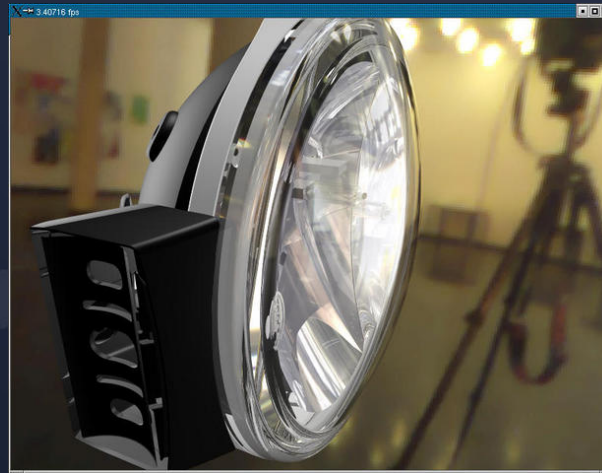
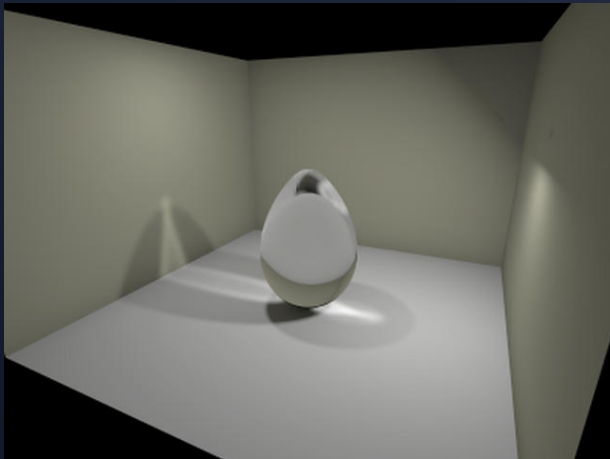
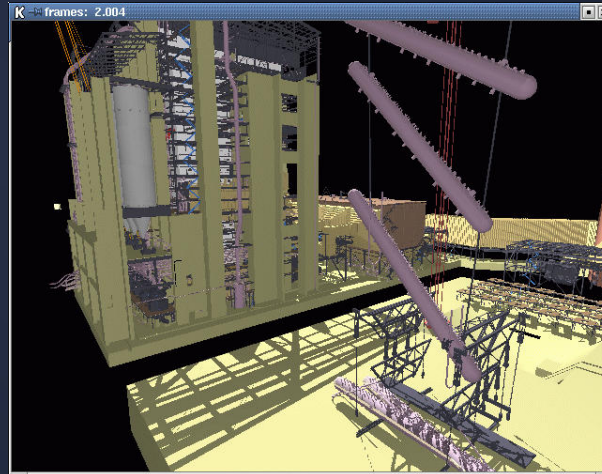
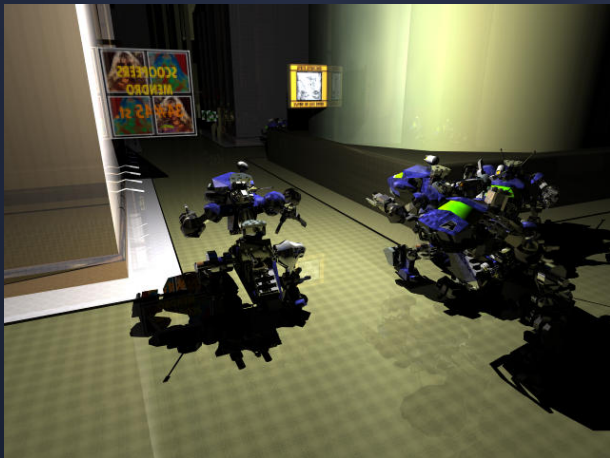
□ *pixels* sendo visitados

■ *pixels* já visitados

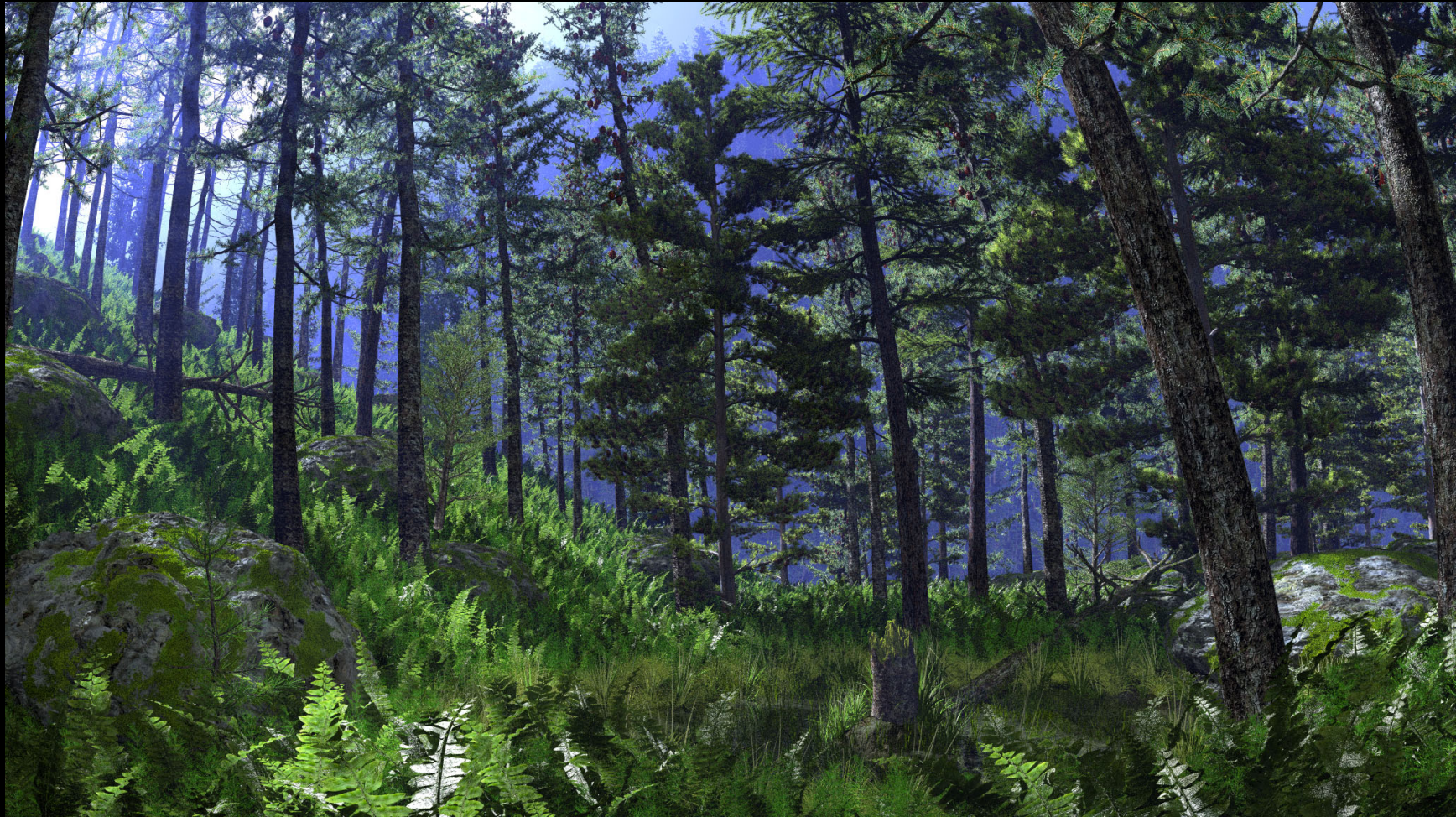
# Radiosidade e *Ray Tracing*



# Today's State of the Art - Some Snapshots













Gilles Tran (c) 2000 [www.oyonale.com](http://www.oyonale.com)



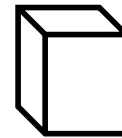
# Aceleracao do RT

- Cálculos mais eficientes
- Uso de uma Kd Tree

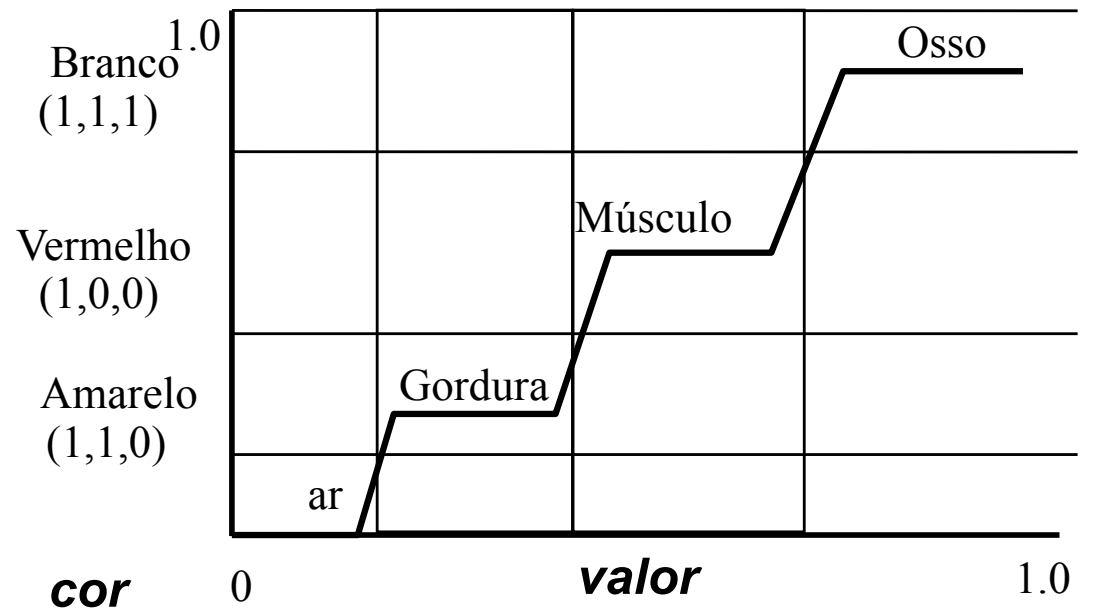
# Classificação do Voxel



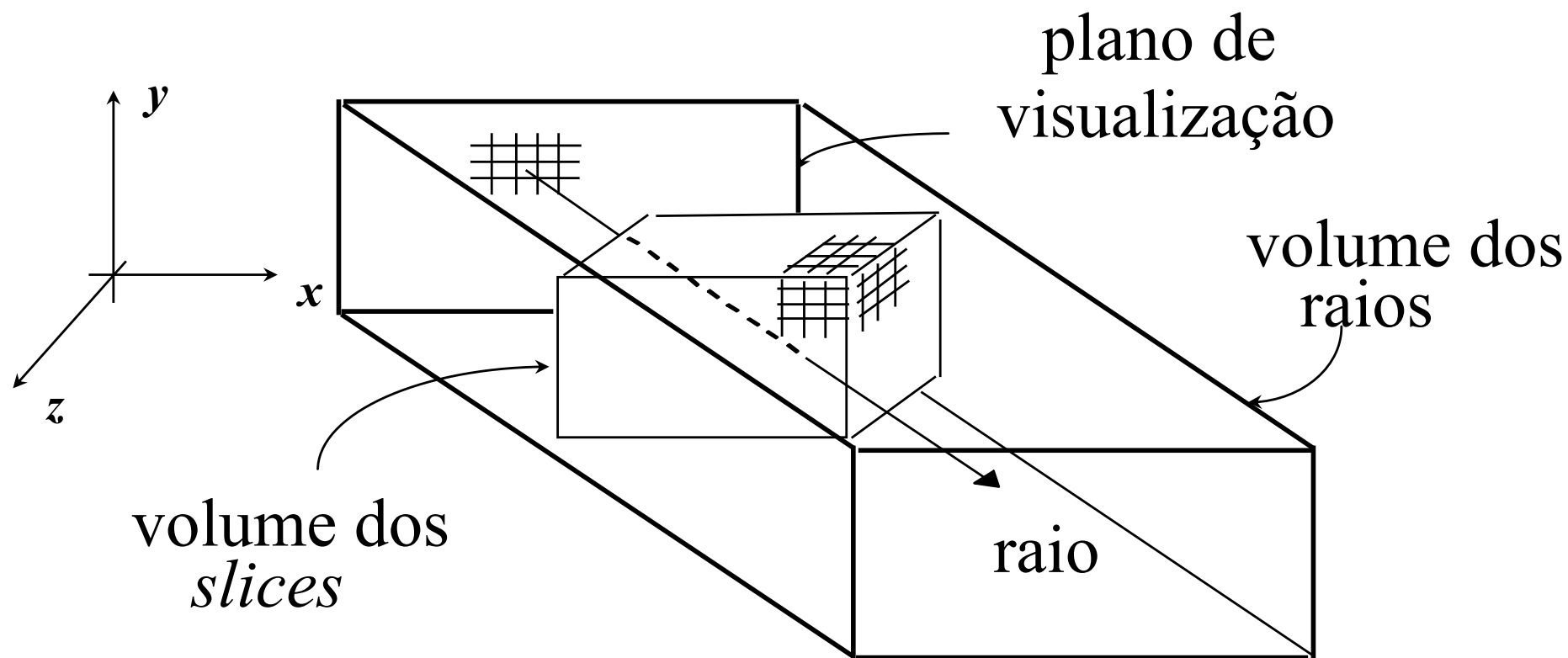
**Voxel**



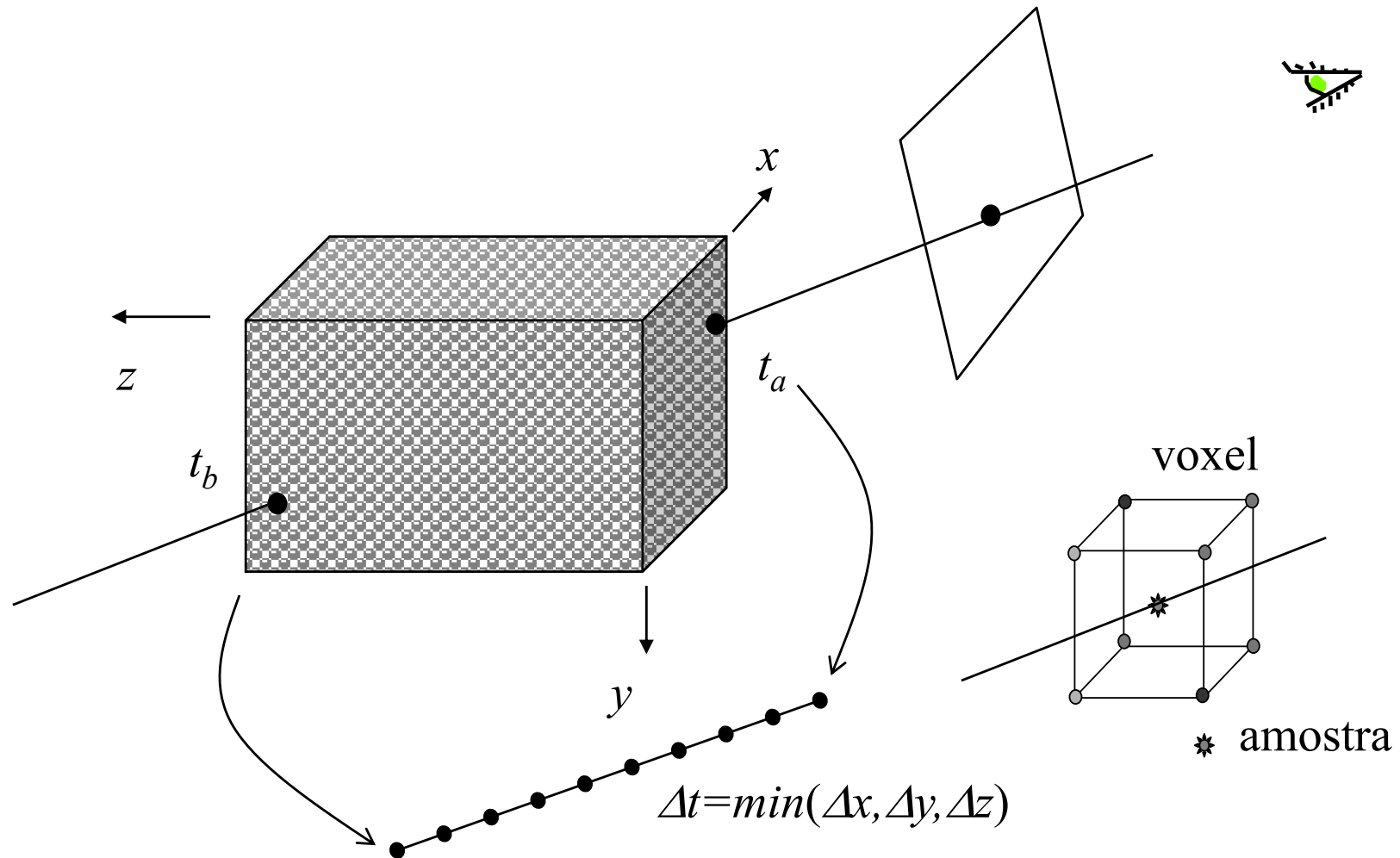
**opacidade**



# Lançamento dos Raios

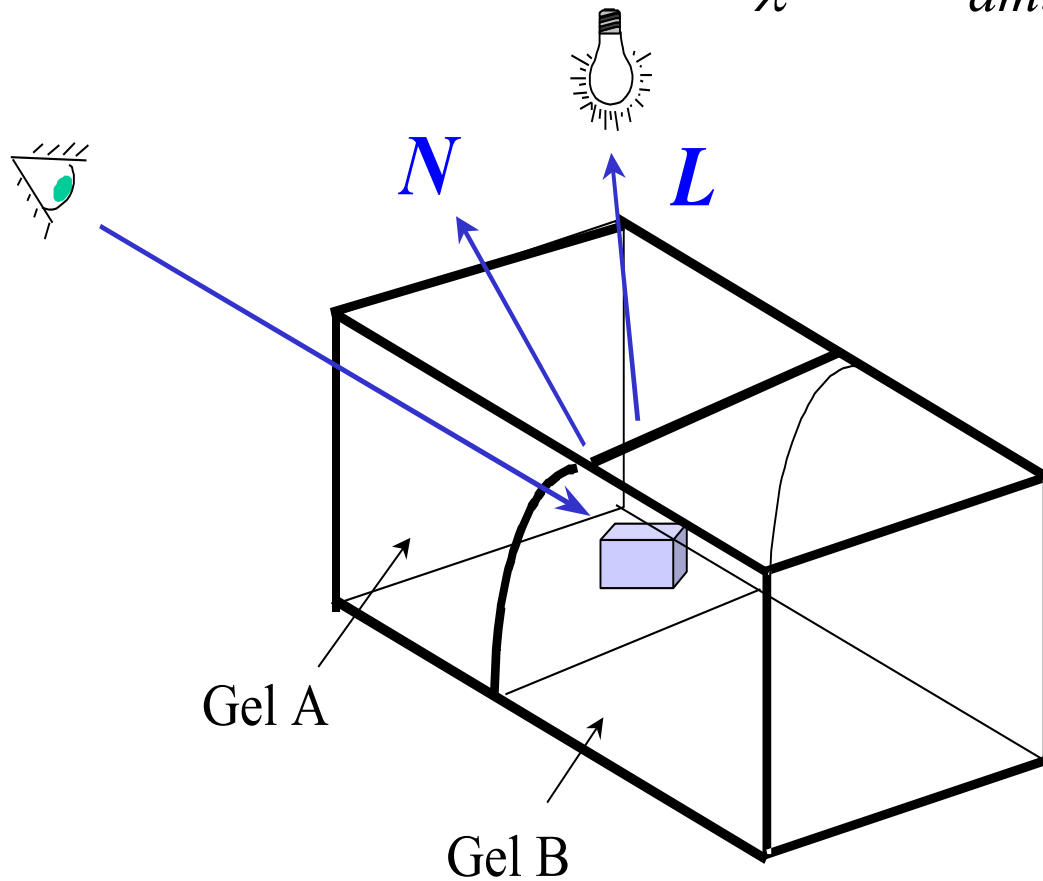


# Partição dos Raios



# Iluminação de um voxel

$$C_{\lambda} = C_{amb_{\lambda}} + C_{luz_{\lambda}} k_{dif_{\lambda}} (\hat{\mathbf{n}} \cdot \hat{\mathbf{L}})$$

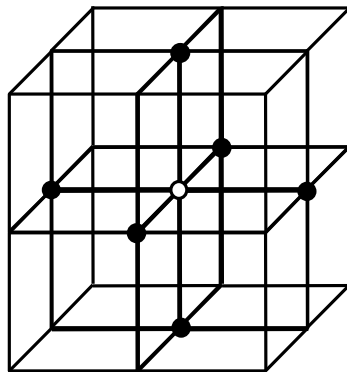


$$N = \nabla V(X)$$

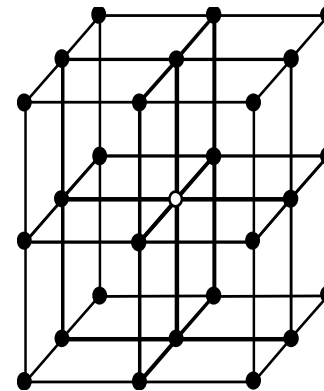
# Estimativa do vetor normal

$$N = \frac{\nabla f(x, y, z)}{|\nabla f(x, y, z)|}$$

$$\nabla f(x_i, y_j, z_k) = \left\{ \begin{array}{l} [f(x_{i+1}, y_j, z_k) - f(x_{i-1}, y_j, z_k)] / (2\Delta x), \\ [f(x_i, y_{j+1}, z_k) - f(x_i, y_{j-1}, z_k)] / (2\Delta y), \\ [f(x_i, y_j, z_{k+1}) - f(x_i, y_j, z_{k-1})] / (2\Delta z), \end{array} \right\}$$

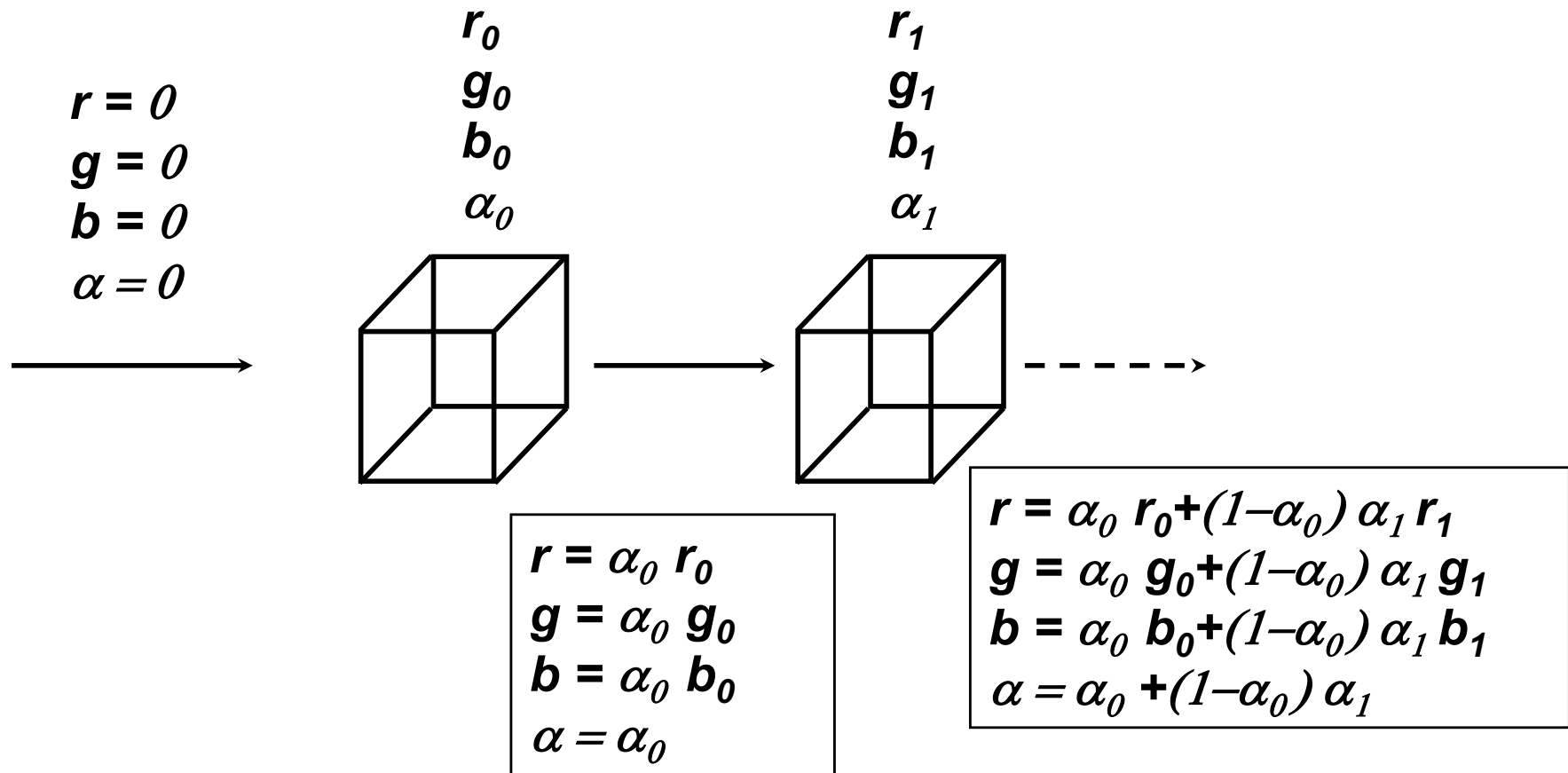


**1ª ordem**



**2ª ordem**

# Influência de um Voxel

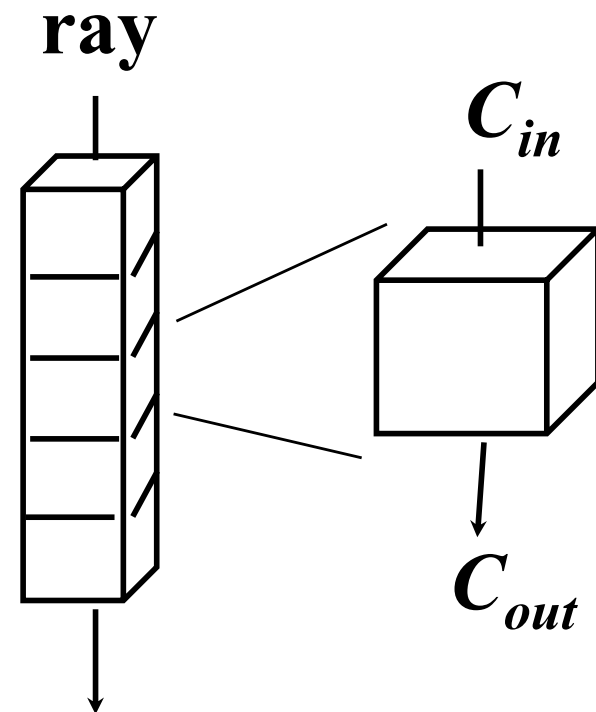


# Composição no raio

$$\alpha_{out} = \alpha_{in} + (1 - \alpha_{in})\alpha_v$$

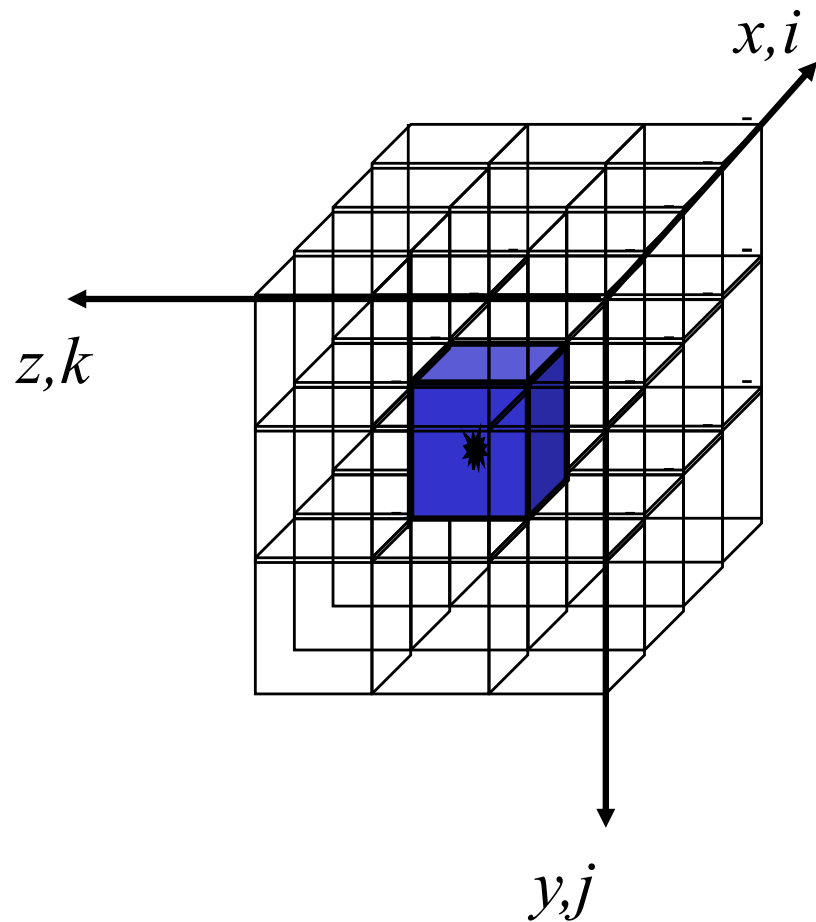
$$C_{out} = C_{in} + (1 - \alpha_{in})\alpha_v C_v$$

$$C = C_{out} \alpha_{out}$$





# Interpolação



$*$   $(x_a, y_a, z_a)$

$$i = \left[ \frac{x_a}{Dx} \right]$$

$$j = \left[ \frac{y_a}{Dy} \right]$$

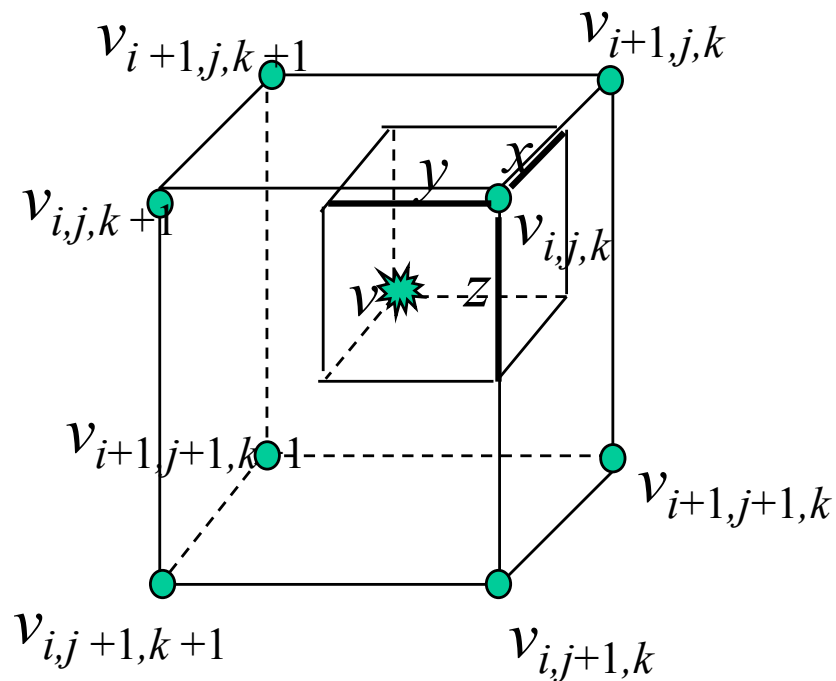
$$k = \left[ \frac{z_a}{Dz} \right]$$

$$x = \frac{x_a \% Dx}{Dx}$$

$$y = \frac{y_a \% Dy}{Dy}$$

$$z = \frac{z_a \% Dz}{Dz}$$

# Interpolação no voxel



$$\begin{aligned}
 v(x, y, z) = & (1-x)(1-y)(1-z)v_{i,j,k} + \\
 & (x)(1-y)(1-z)v_{i+1,j,k} + \\
 & (1-x)(y)(1-z)v_{i,j+1,k} + \\
 & (x)(y)(1-z)v_{i+1,j+1,k} + \\
 & (1-x)(1-y)(z)v_{i,j,k+1} + \\
 & (x)(1-y)(z)v_{i+1,j,k+1} + \\
 & (1-x)(y)(z)v_{i,j+1,k+1} + \\
 & (x)(y)(z)v_{i+1,j+1,k+1}
 \end{aligned}$$

## Etapa de Composição

- Para cada raio:
  - gera amostras de cor  $C_\lambda(p_i)$  e opacidades  $\alpha(p_i)$ 
    - reamostragem dos dados dos *voxels*, em k amostras igualmente espaçadas

- Processo de acumulação

$$I = t I_b + (1-t)I_0$$

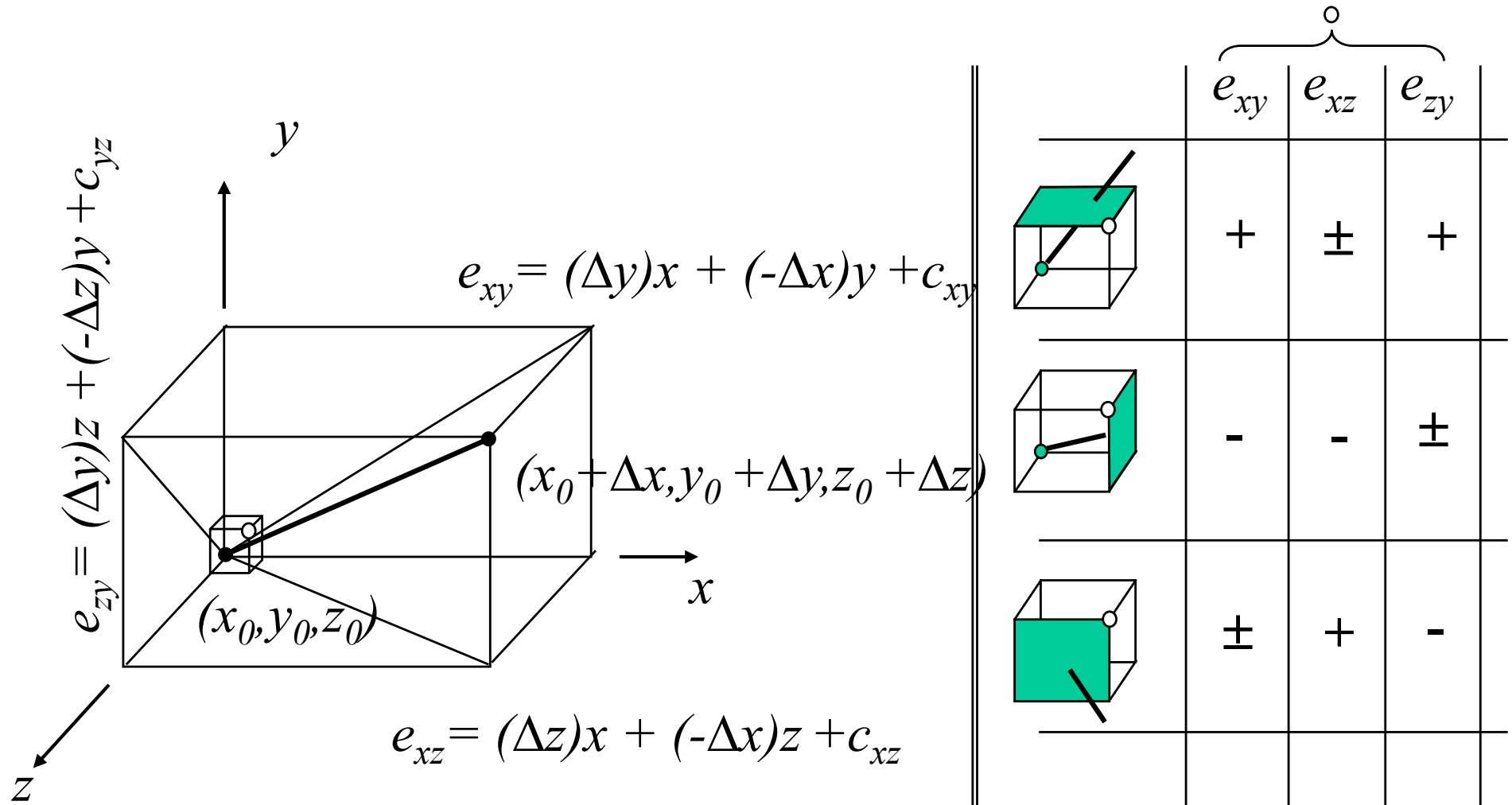
$I_0$  = cor do objeto

$I_b$  = cor do fundo

$I$  = cor resultante

$t$  = coeficiente de transparência

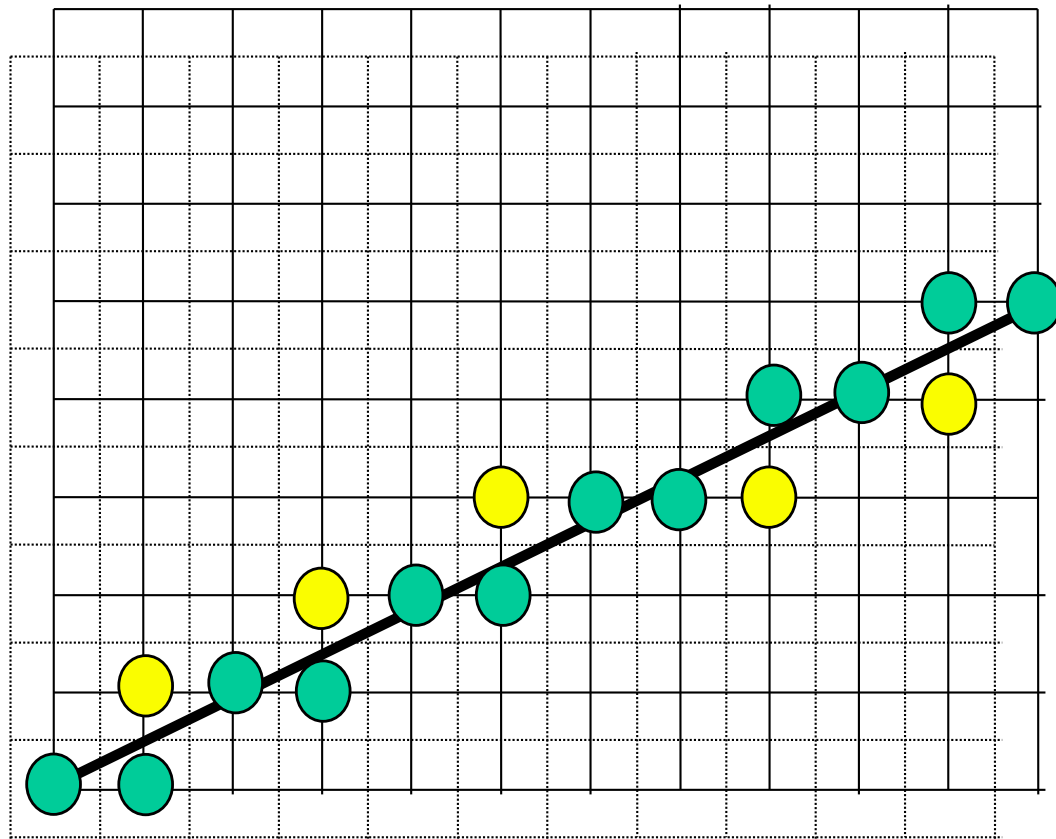
# Tripod



# Valor inicial e incremento

	$(1/2, 1/2, 1/2)$	$x^{++}$	$y^{++}$	$z^{++}$
$e_{xy} = (\Delta y)x + (-\Delta x)y + c_{xy}$	$(\Delta y - \Delta x)/2$	$\Delta y$	$-\Delta x$	
$e_{xz} = (\Delta z)x + (-\Delta x)z + c_{xz}$	$(\Delta z - \Delta x)/2$	$\Delta z$		$-\Delta x$
$e_{zy} = (\Delta y)z + (-\Delta z)y + c_{yz}$	$(\Delta y - \Delta z)/2$		$-\Delta z$	$\Delta y$

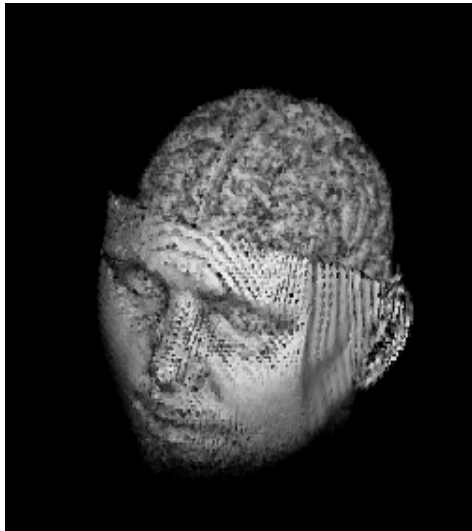
# Caminhamento discreto



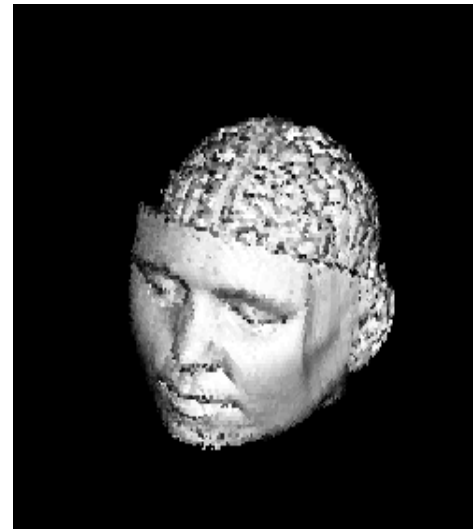
● Bresenham

● Cohen

# Efeito da amostragem



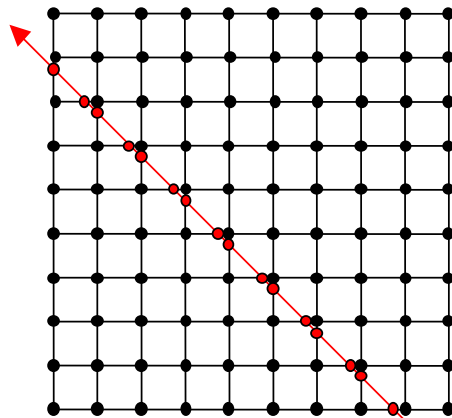
**Bresenham**



**Tripod**

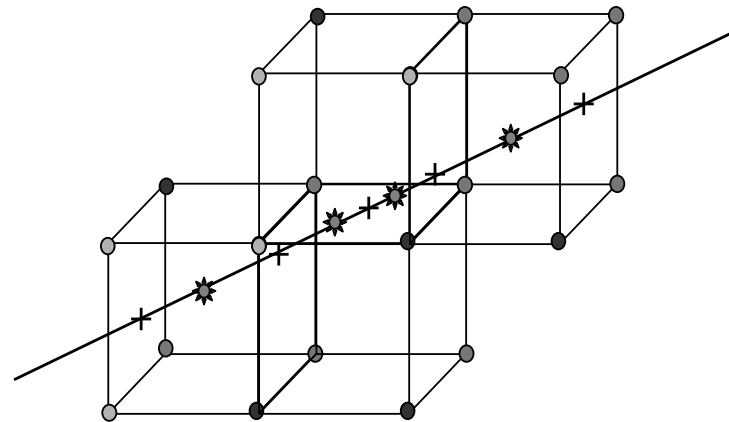
# Partição celular

## Volume de dados



- *Voxel*
- *Partição*

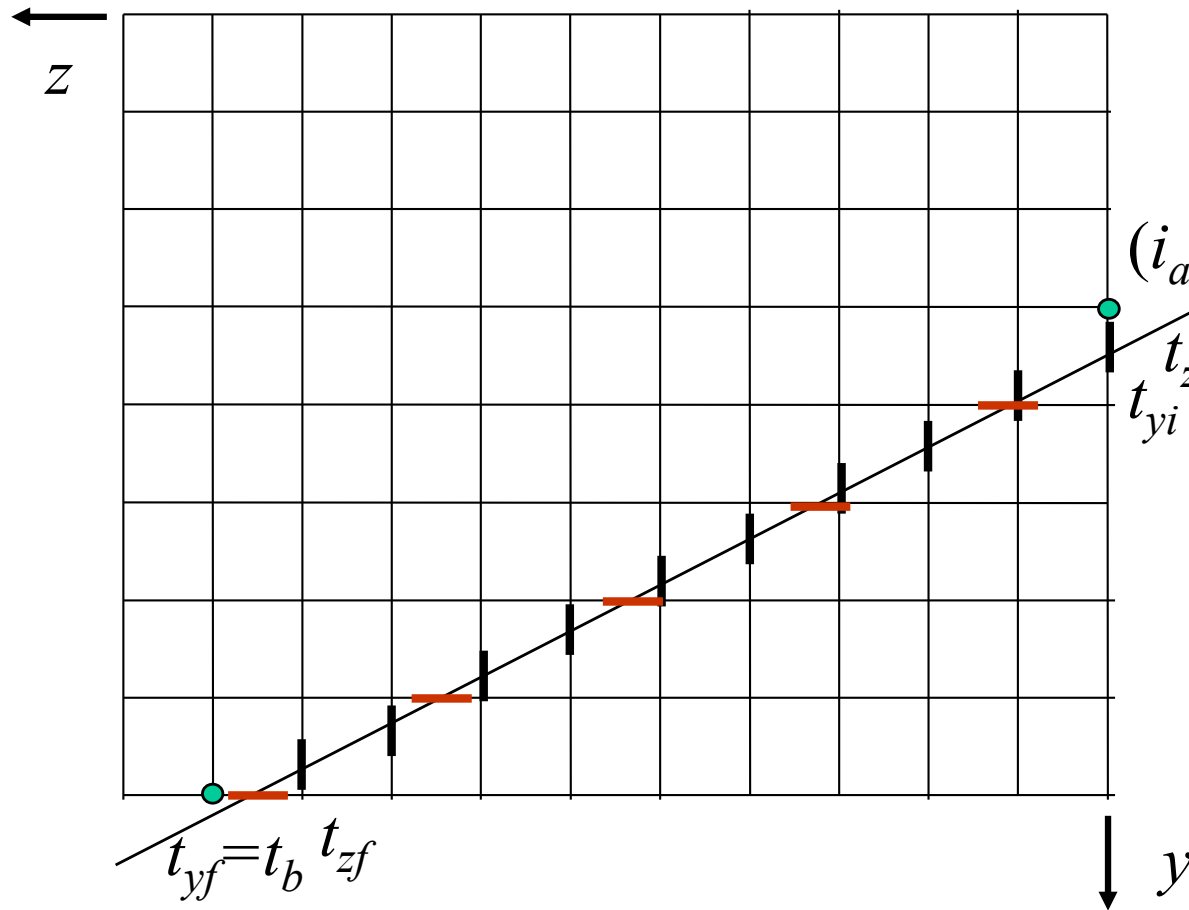
**Plano da  
imagem**



- \* uma amostra no meio da partição
- + marcador da partição



# Partição na grade



$(i_b, N_y, k_b)$

$(i_a, j_a, 0)$   
 $t_{zi} = t_a$   
 $t_{yi}$

$$n_x = (i_b - i_a) - 1$$

$$n_y = (j_b - j_a) - 1$$

$$n_z = (k_b - k_a) - 1$$

$$\Delta t_x = (t_{xf} - t_{xi}) / n_x$$

$$\Delta t_y = (t_{yf} - t_{yi}) / n_y$$

$$\Delta t_z = (t_{zf} - t_{zi}) / n_z$$

# Partição celular: algoritmo

Dados:  $tx_i, ty_i, tz_i, tx_f, ty_f, tz_f, nx, ny, nz$

$dtx = tx_f/nx; dty = ty_f/ny; dtz = tz_f/nz;$

$tx=tx_i; ty=ty_i; tz=tz_i;$

$t1 = \min(tx, ty, tz)$  e  $w$  é o eixo do mínimo

$n=nx+ny+nz;$

while (  $n > 0$  )

$tw += dtw;$

$n--;$

$t2 = \min(tx, ty, tz)$  e  $w$  é o eixo do mínimo

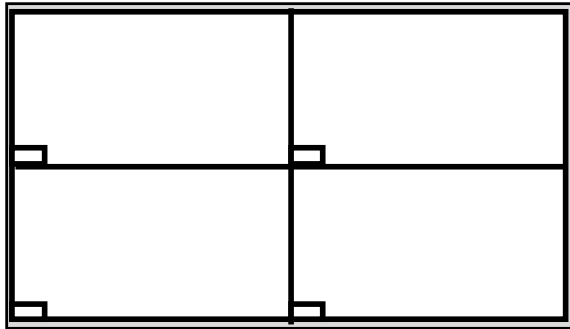
**Sample**  $((t1+t2)/2);$

$t1=t2;$

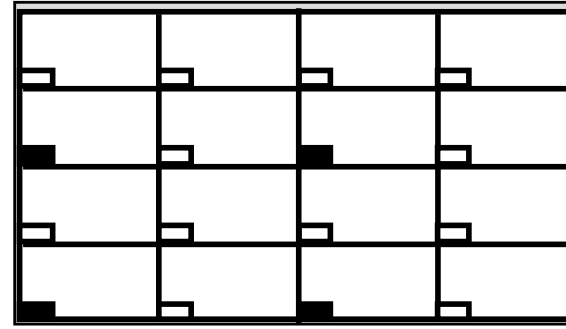
# Otimizações

- Velocidade
  - Refinamento progressivo
  - Terminação adaptativa do raio
  - Estruturas Hierárquicas
- Qualidade da imagem
  - aumento do número de amostra no raio
  - lançamento de mais raios
  - melhora esquema de interpolação

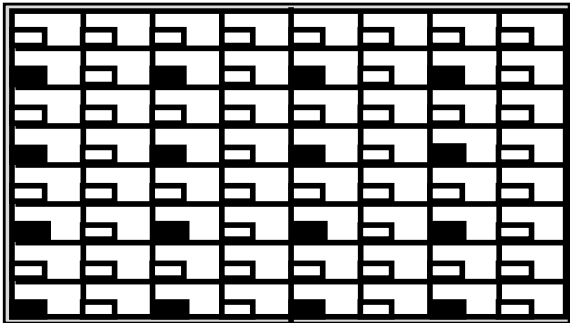
# Refinamento Progressivo



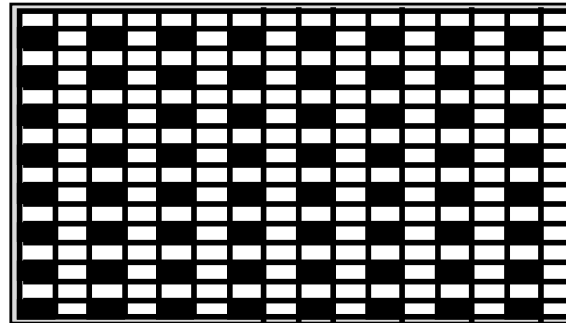
amostragem inicial



primeira subdivisão



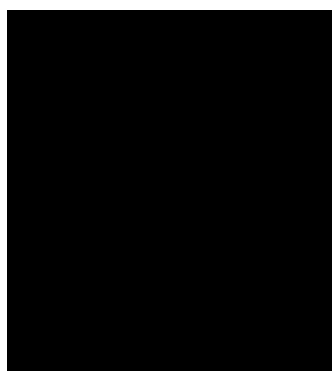
segunda subdivisão



subdivisão final

□ pixels sendo visitados      ■ pixels já visitados

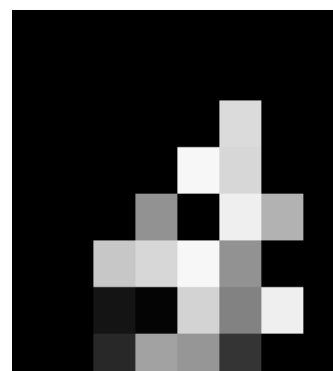
# Refinamento Progressivo: Exemplo



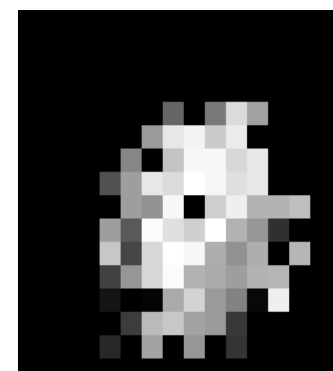
2x2



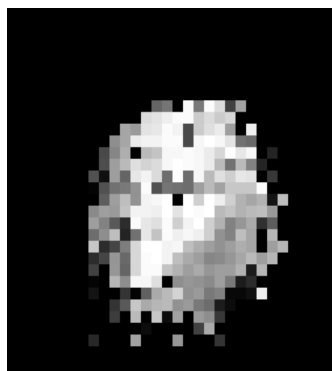
4x4



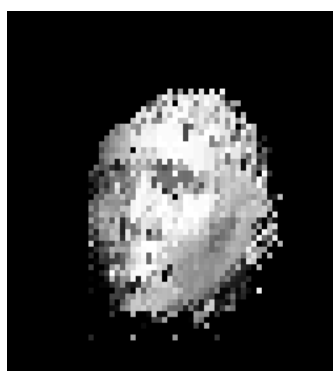
8x8



16x16



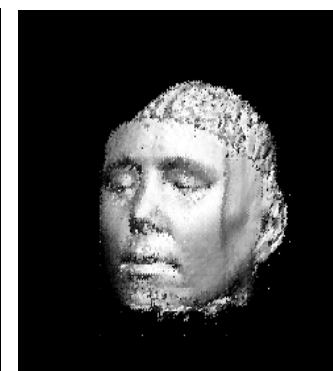
32x32



64x64



128x128



256x256